

31. Herbstschule für Hocheenergiephysik 1999

e^+e^- -Physik oberhalb der W-Produktionsschwelle

16., 17. 9. 99

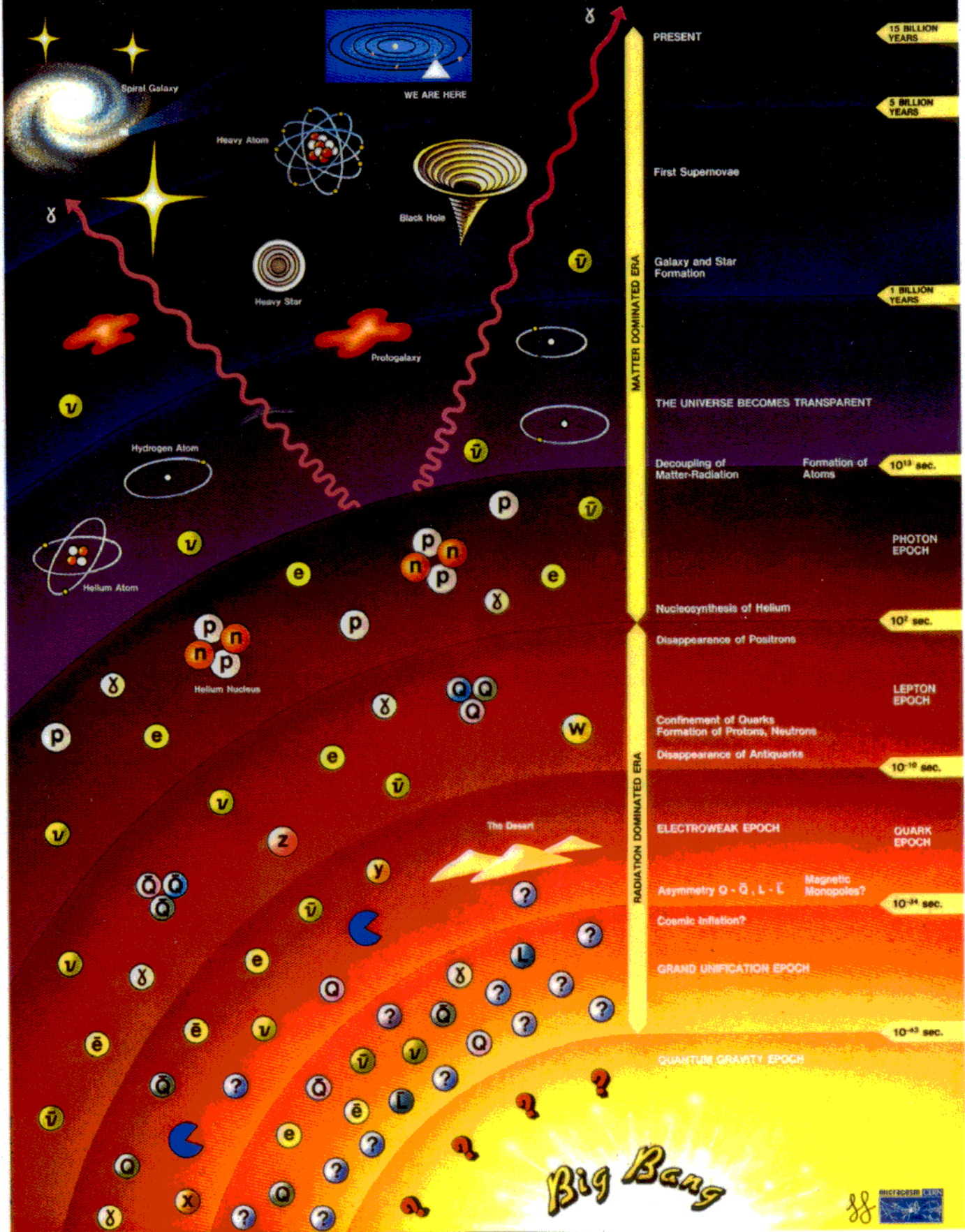
Otmar Biebel
(RWTH Aachen / MPI München)

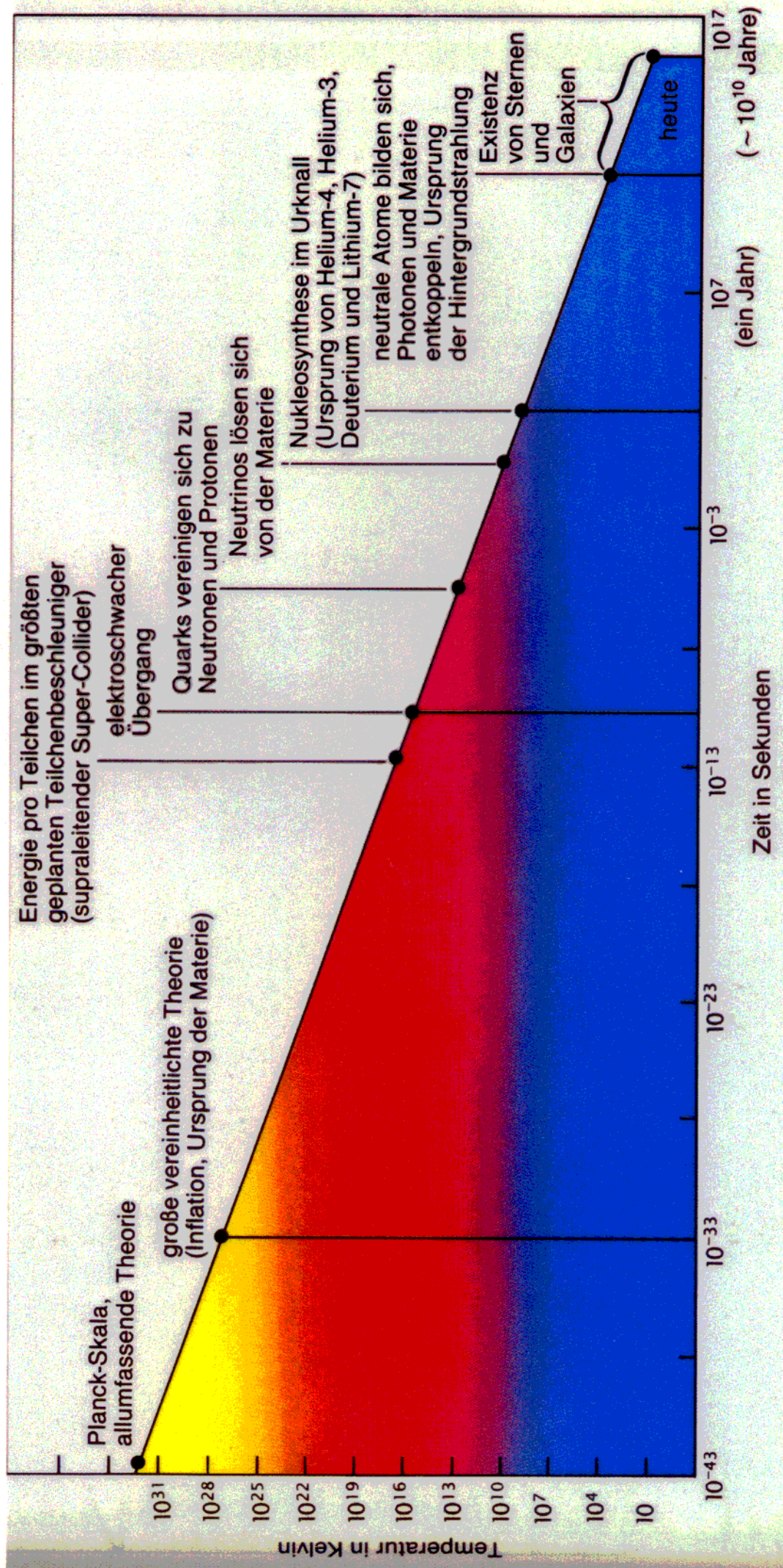
Inhalt:

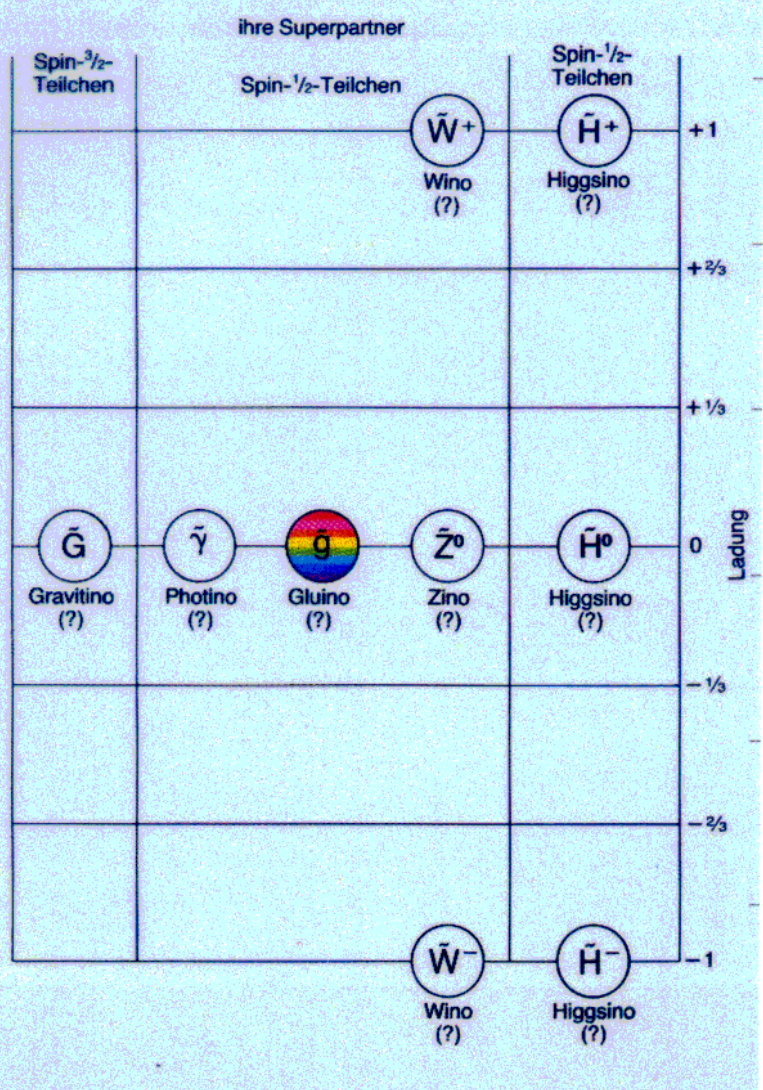
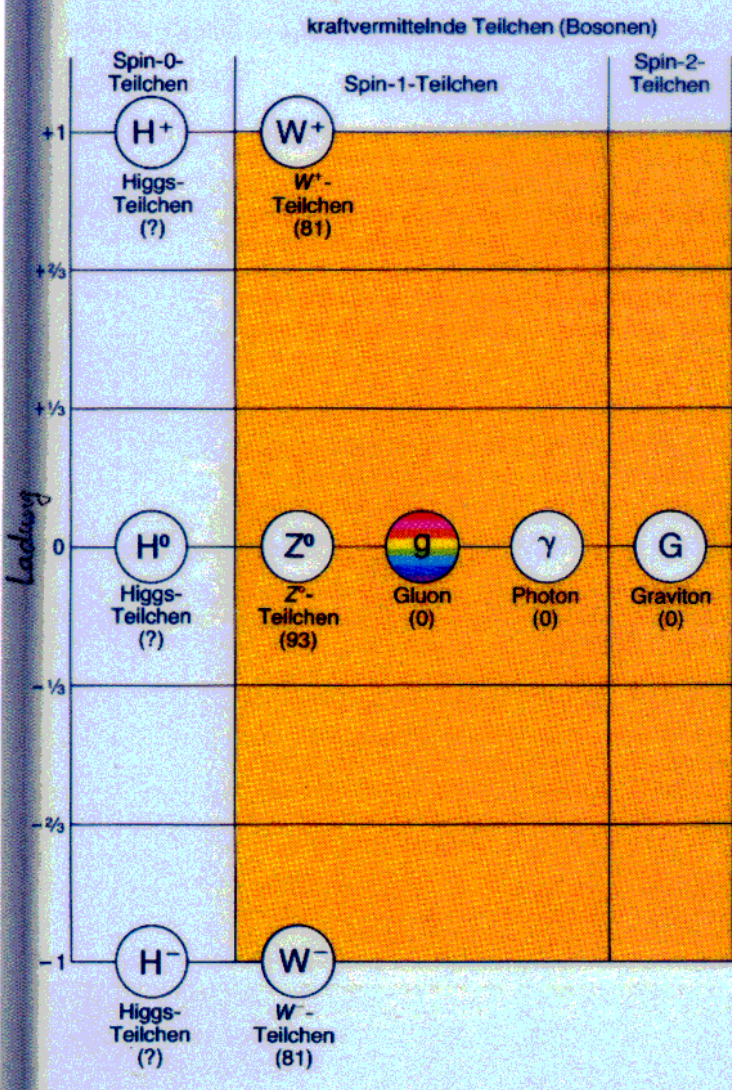
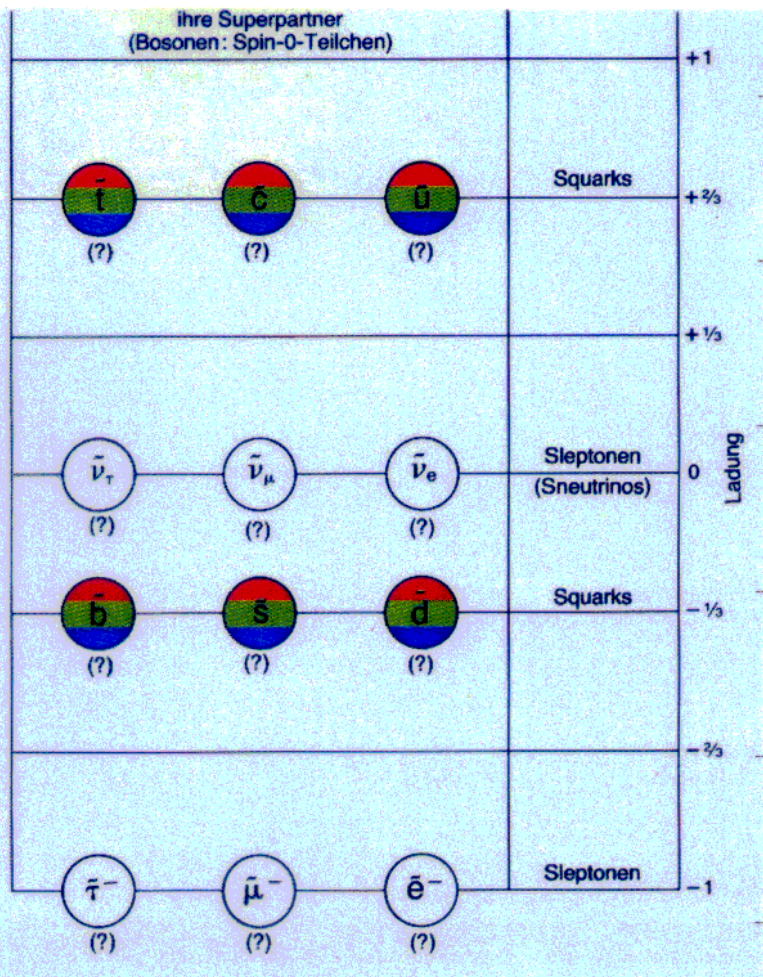
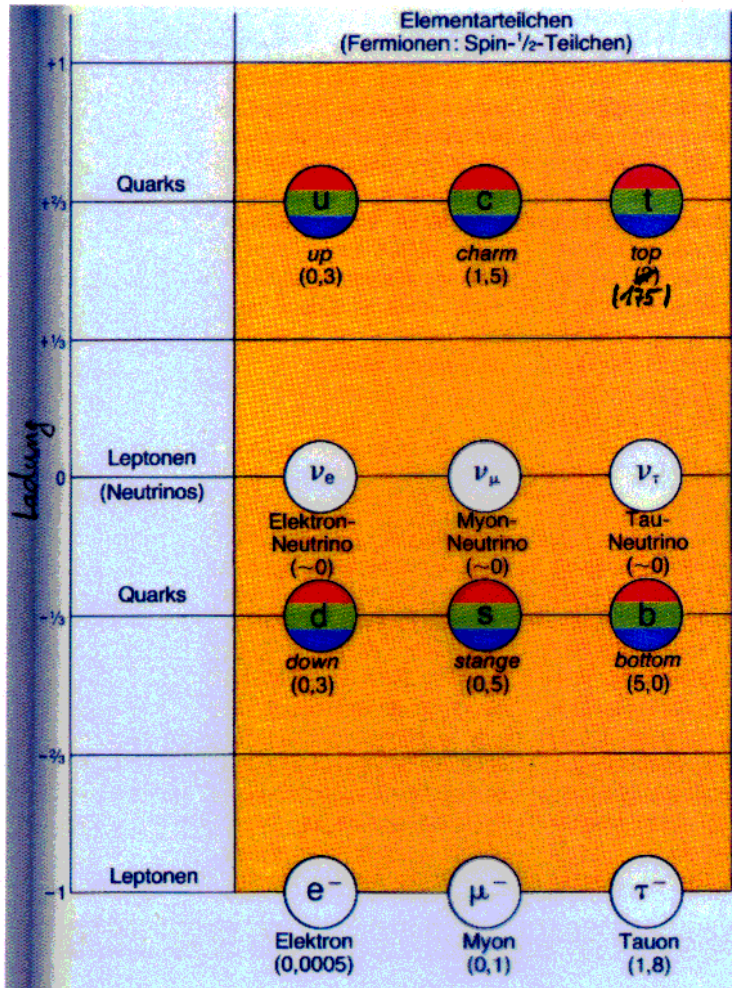
- Einführung und Motivation
- Physik des W-Bosons
- Suche nach dem Higgs-Boson
- Prozesse außerhalb des Standard Modells
- Starke Wechselwirkung und QCD
- Zusammenfassung und Ausblick

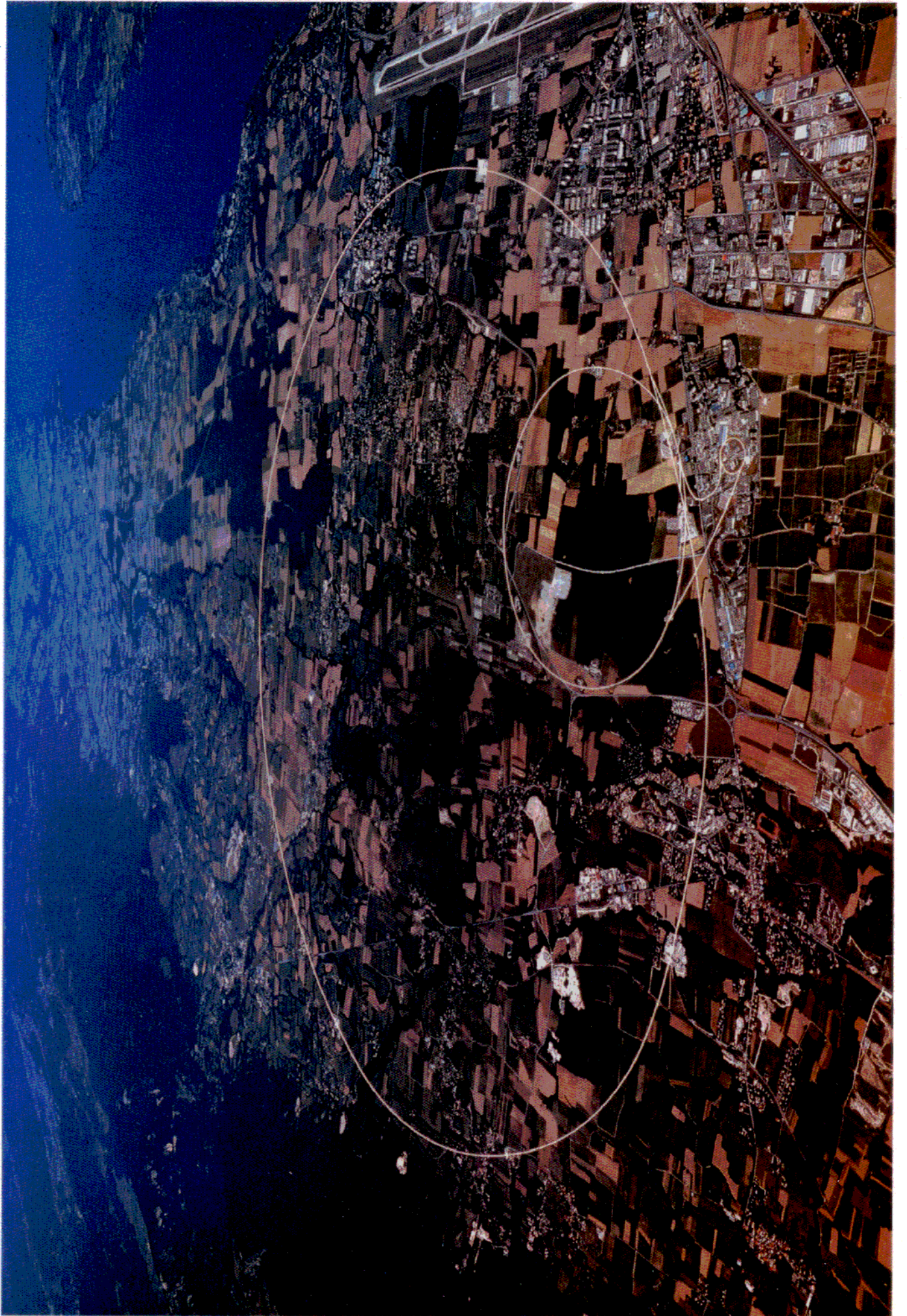
(Folien als Kopie : home.cern.ch/b/biebel)

History of the Universe











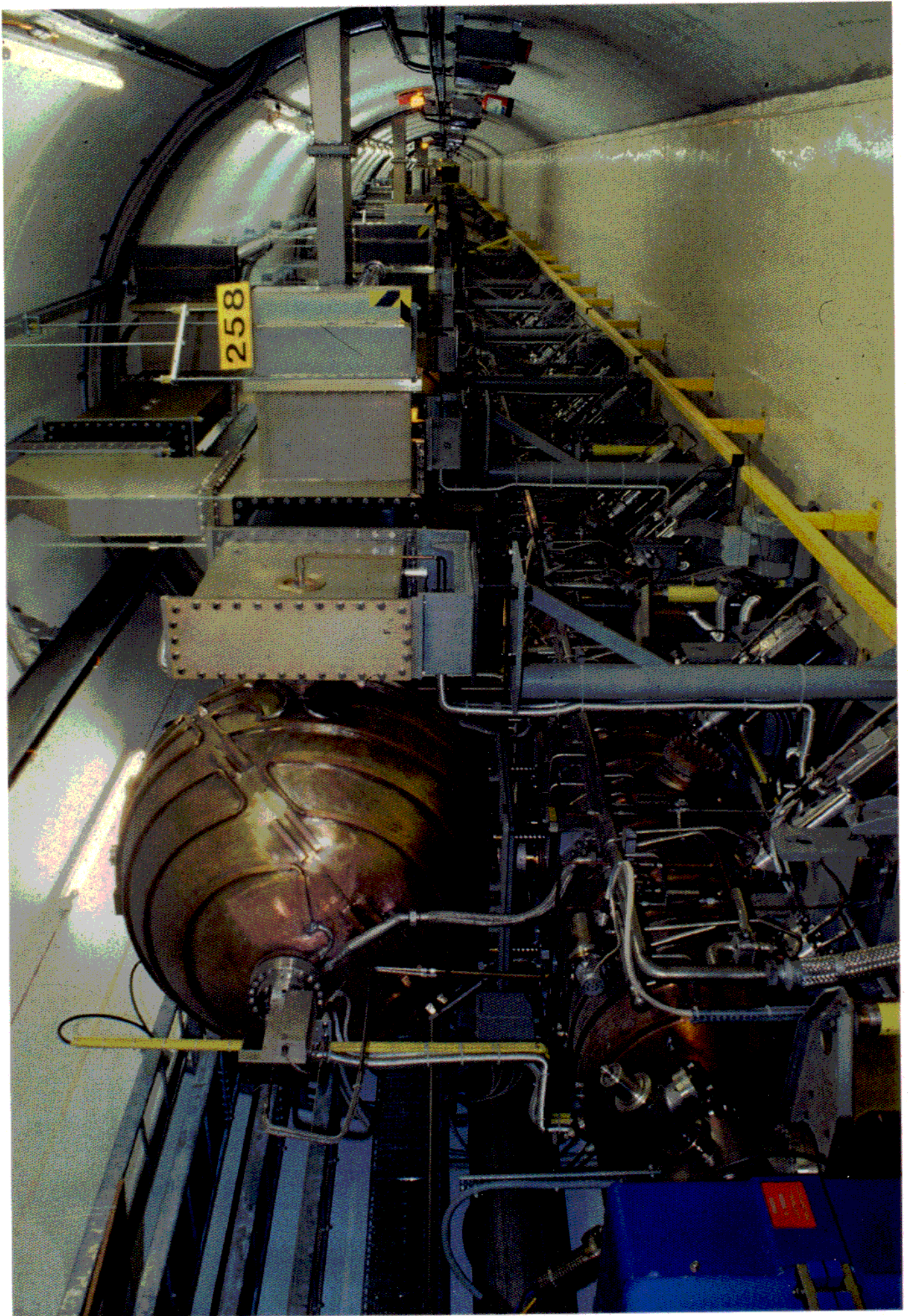
einige Daten zu LEP

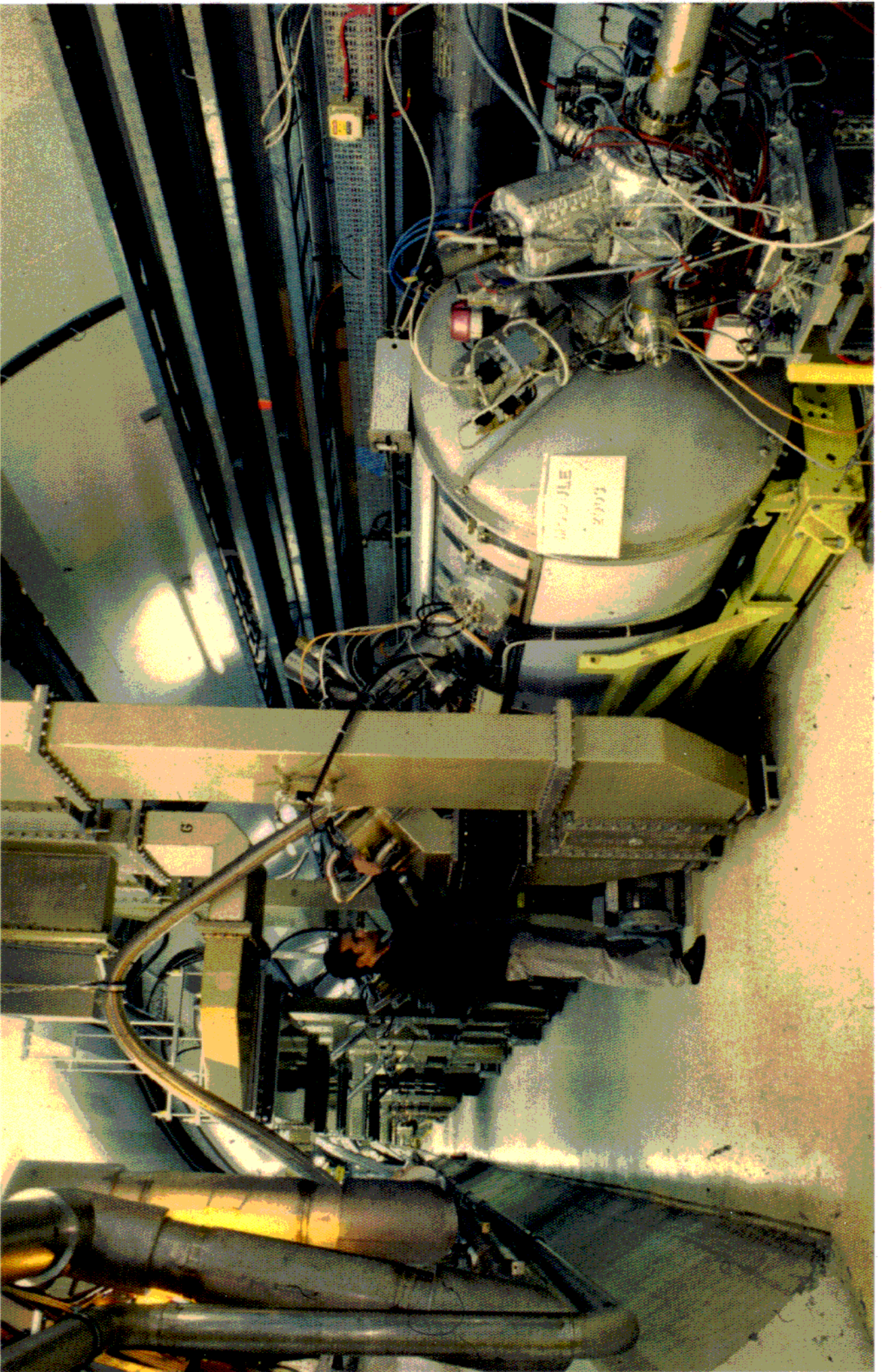
- Umfang 26 658,90 m
- Ablenkradius 3 026,42 m
- max. Strahlenergie (z.Zt.) 100 GeV
⇒ Ablenkkfeld der Dipole 0,11 T
- Beschleunigungsresonatoren: ≈ 350 MHz
 - # normalleitende Cu-Cavities 48
 - # supraleitende Nb- und CuNb-Cav 16 + 272 = 288
- ⇒ max. Beschleunigung (@100 GeV) 3420 MV/m (3270 MV/m)
- max. Strahlstrom 5...6 mA
- Zahl der e^+e^- -Teilchenpakete 4×4 à 2 "Bunchlets"
- max. Luminosität $\approx 5 \cdot 10^{31} \text{ cm}^{-2} \text{ s}^{-1}$
- Energiestreuung im Strahl ca. 280 MeV
- syst. Unsicherheit der Strahlenergie ca. 20-30 MeV
- Strahl-Lebensdauer ca. 4-5 Stunden

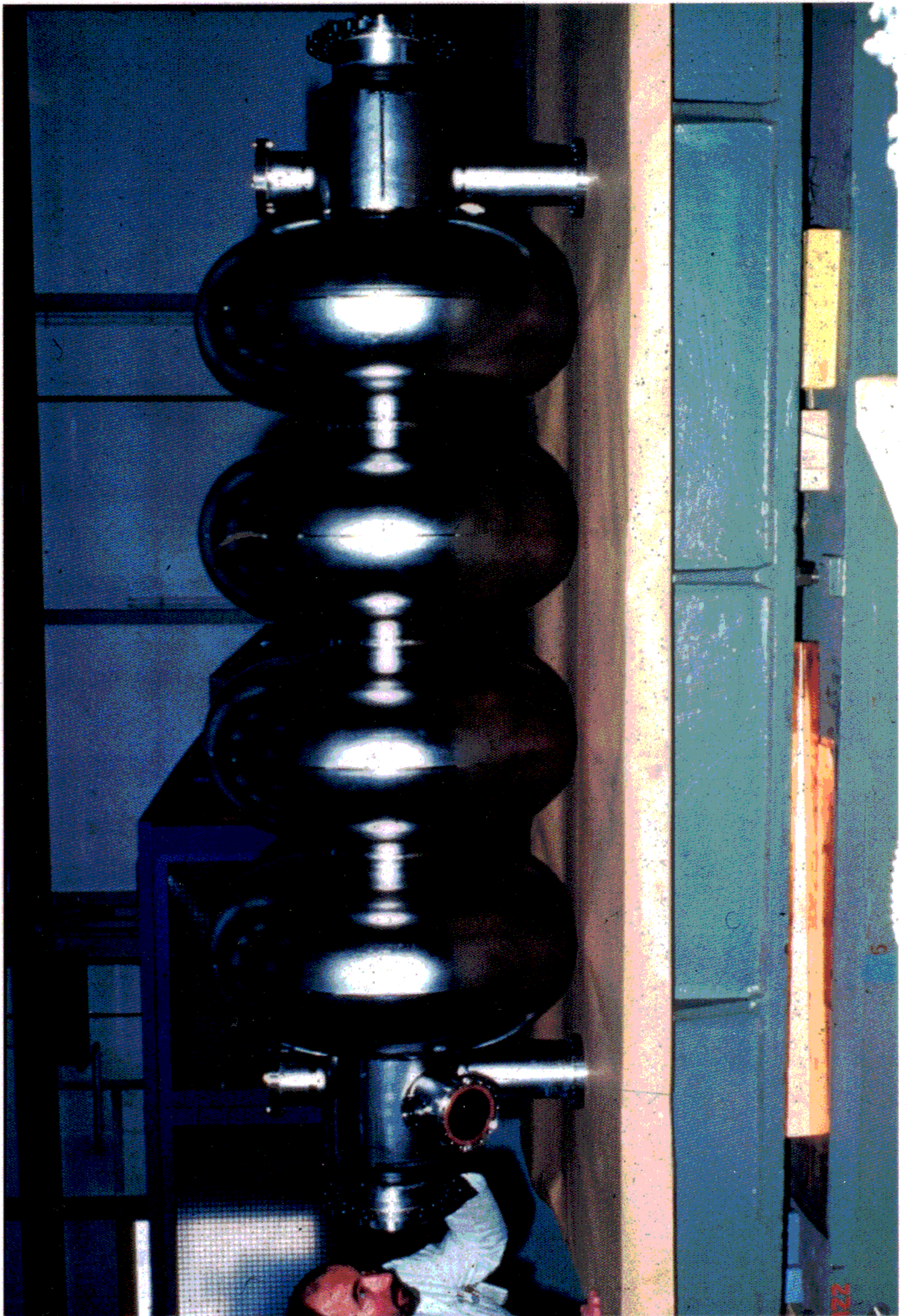
Verlust durch Synchrotronstrahlung ca. 16 MW @ 100 GeV

$$P_{\text{sync}} \sim \frac{1}{R} \left(\frac{E}{m_e} \right)^4$$

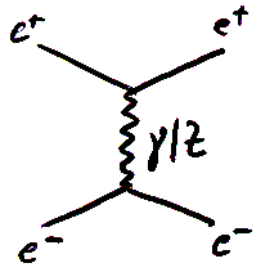
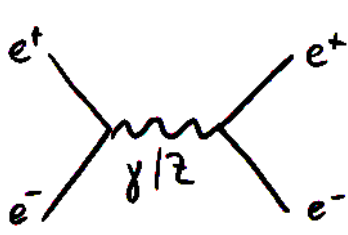
⇒ kleine Energiesteigerung → große Steigerung der Beschleunigung



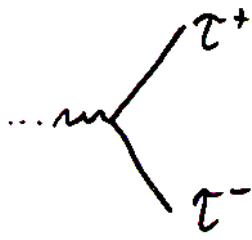
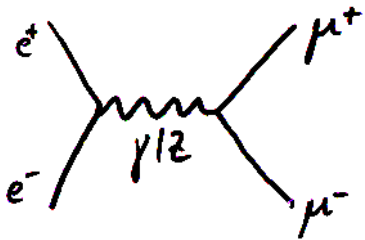




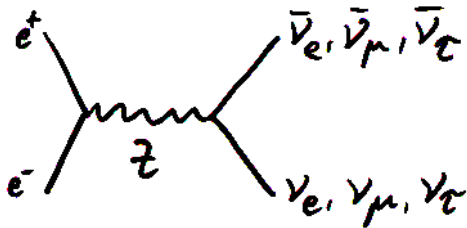
Detektoren an LEP — was ist zu messen?



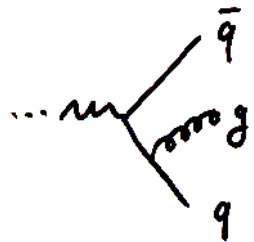
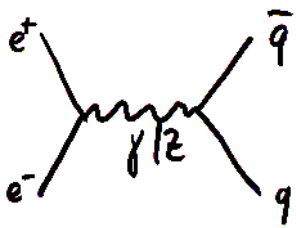
Bhabha-Streuung



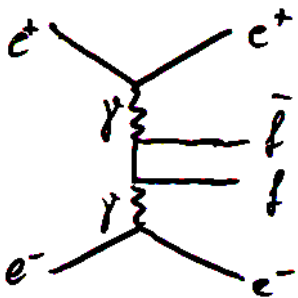
μ -, τ -Paarproduktion



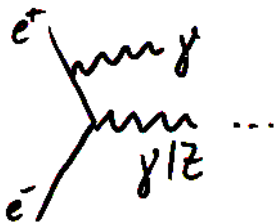
ν -Paarproduktion
(unmeßbar)



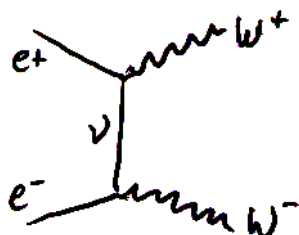
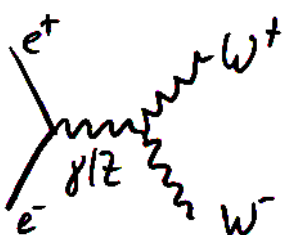
Quark-Antiquark-Paare
+ Gluonen
→ hadronische Reaktionen



2-Photonprozesse



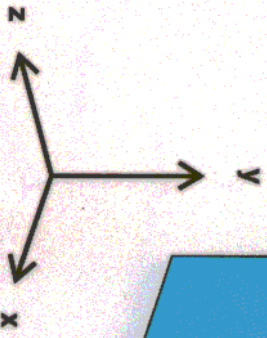
Photon-Bremsstrahlung (ISR)



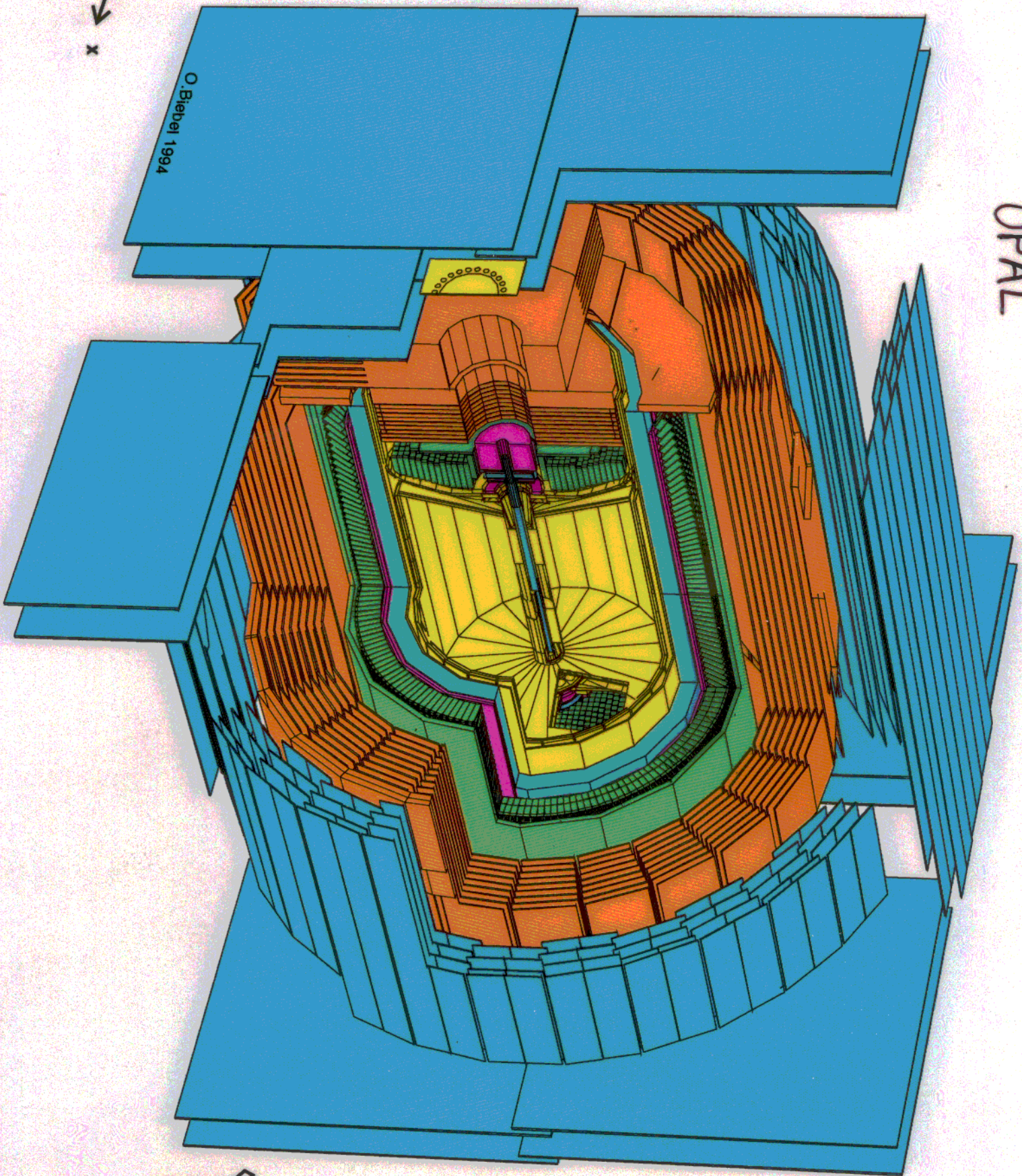
W-Paarproduktion
oberhalb der W-Schwelle

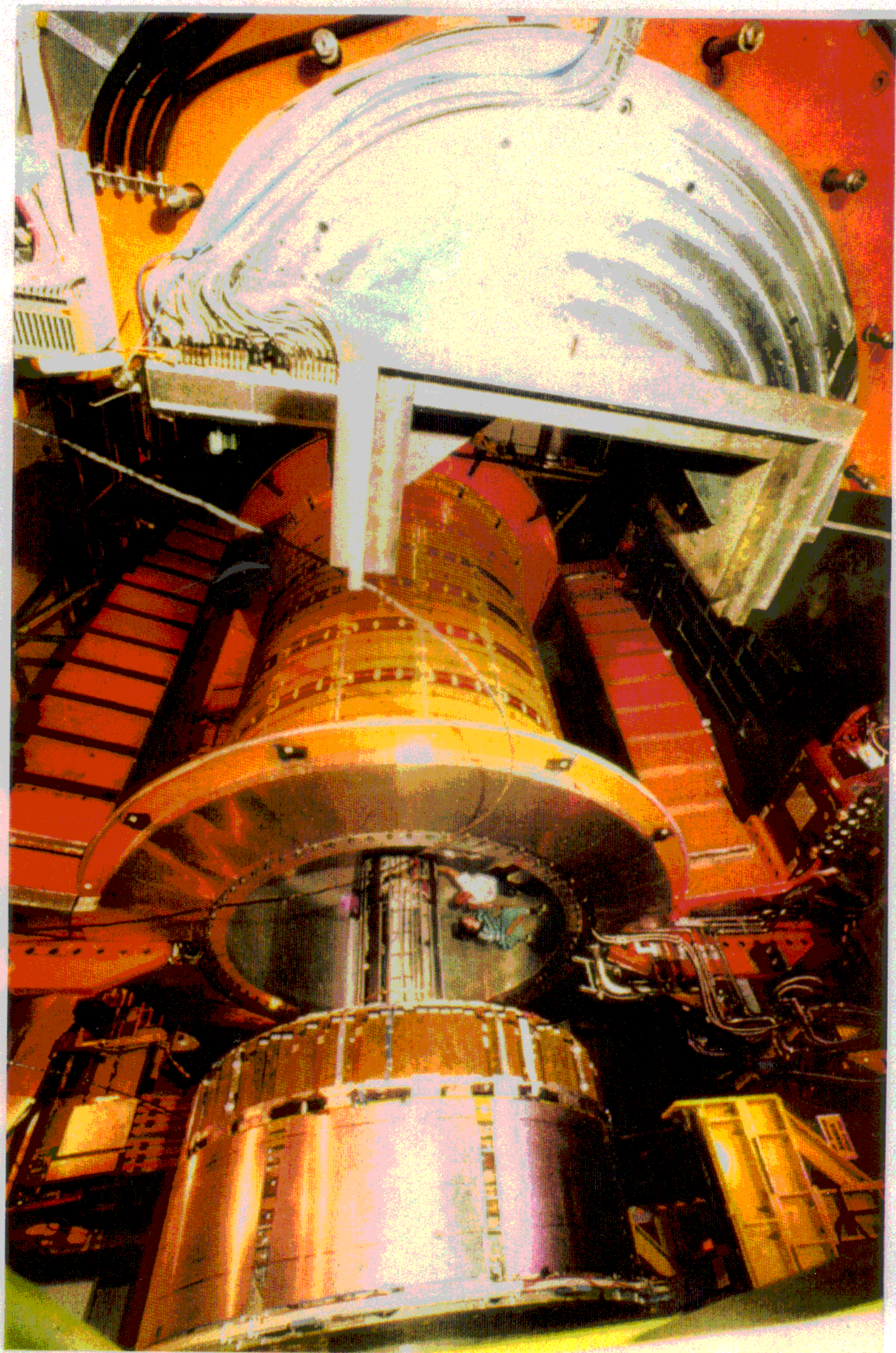
...

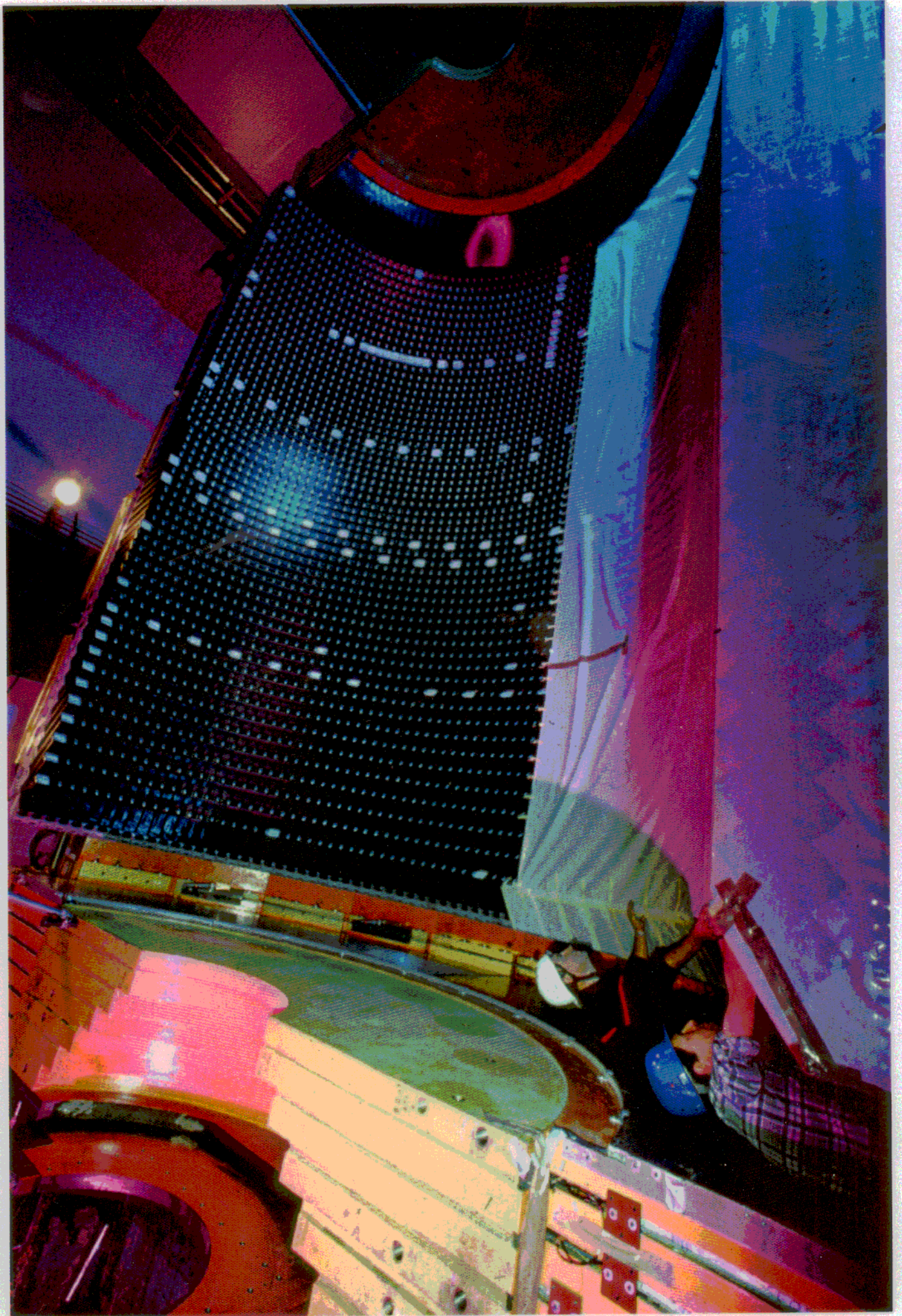
OPAL

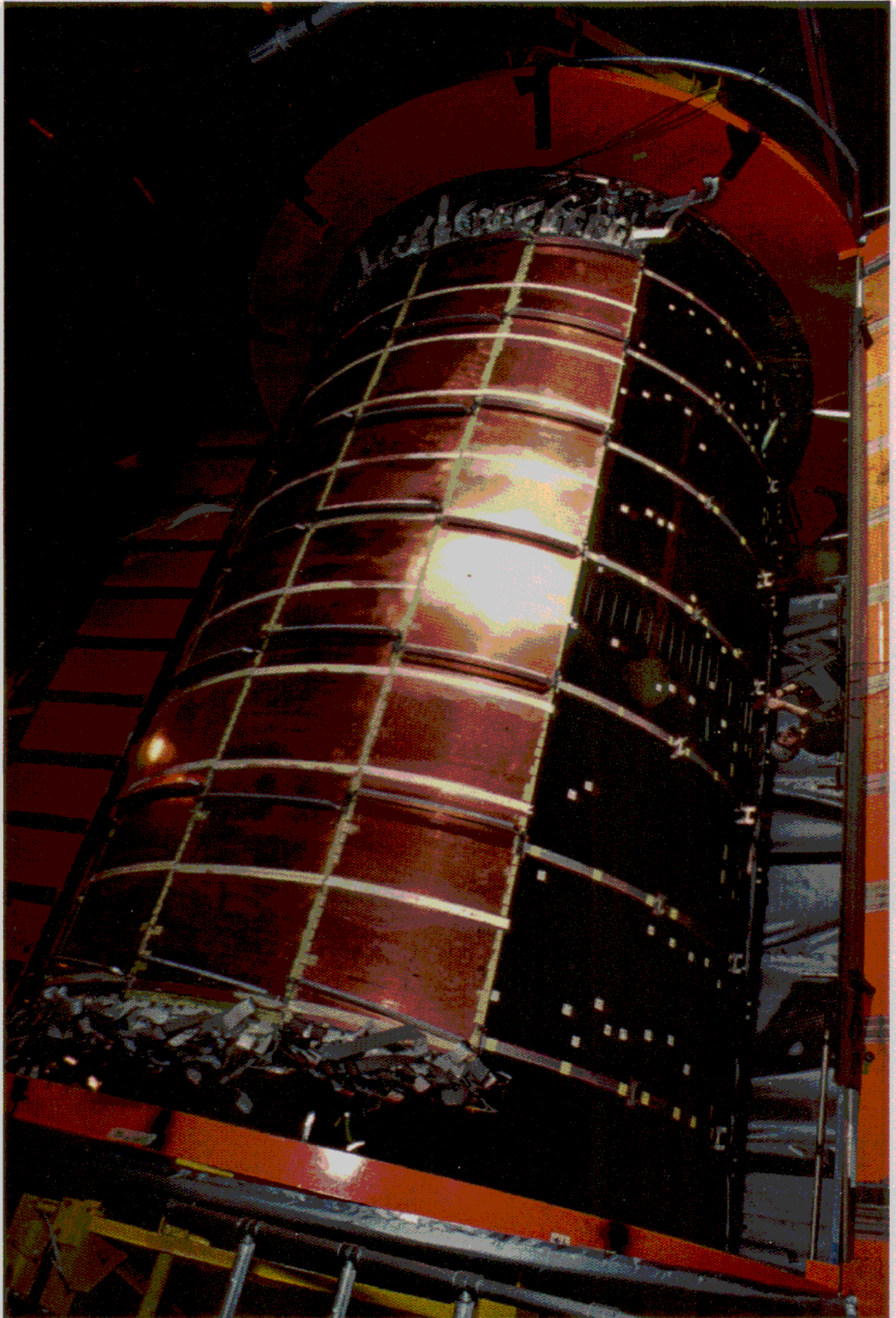


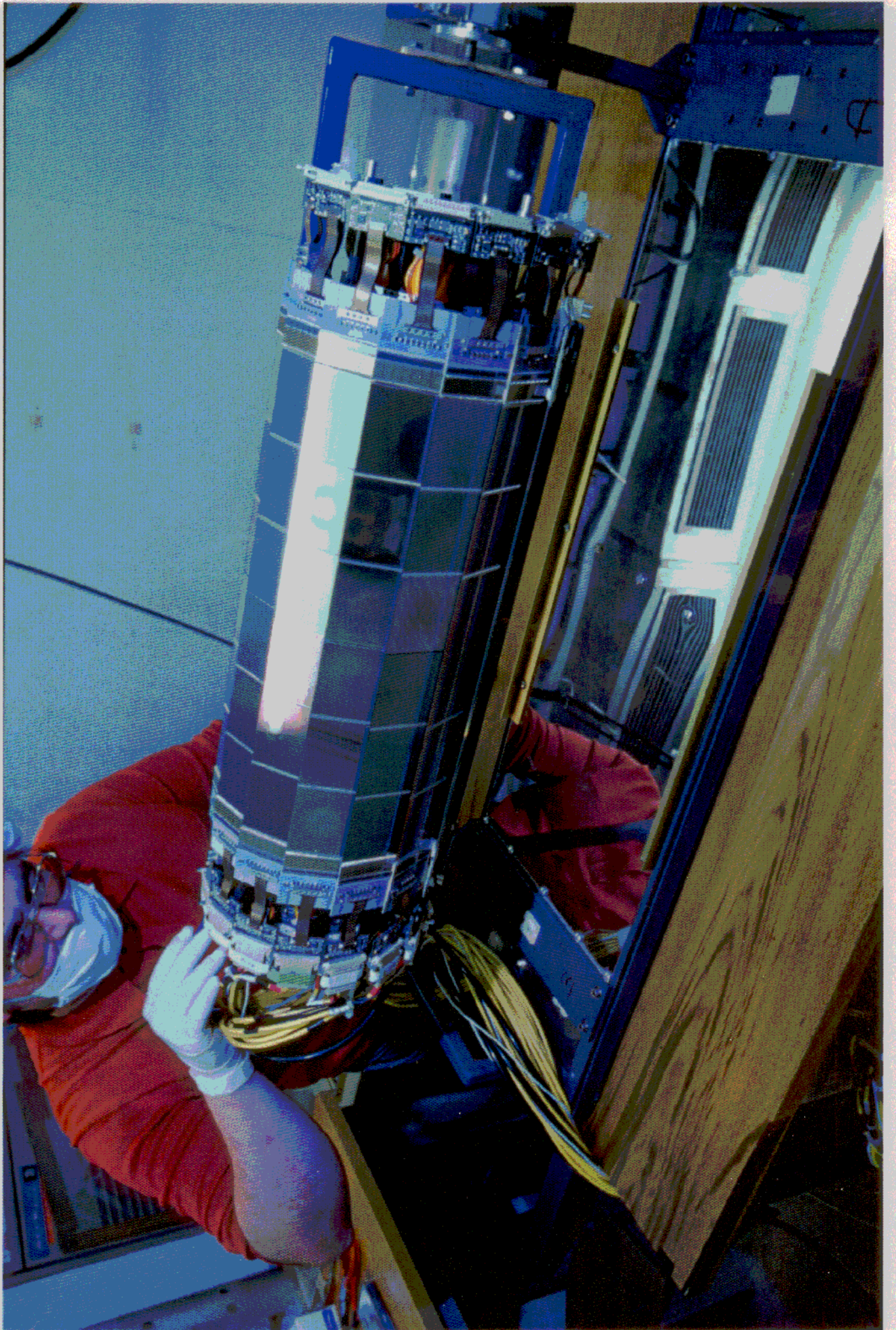
O. Biebel 1994





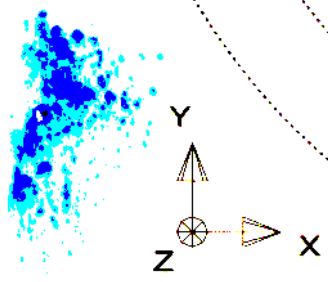
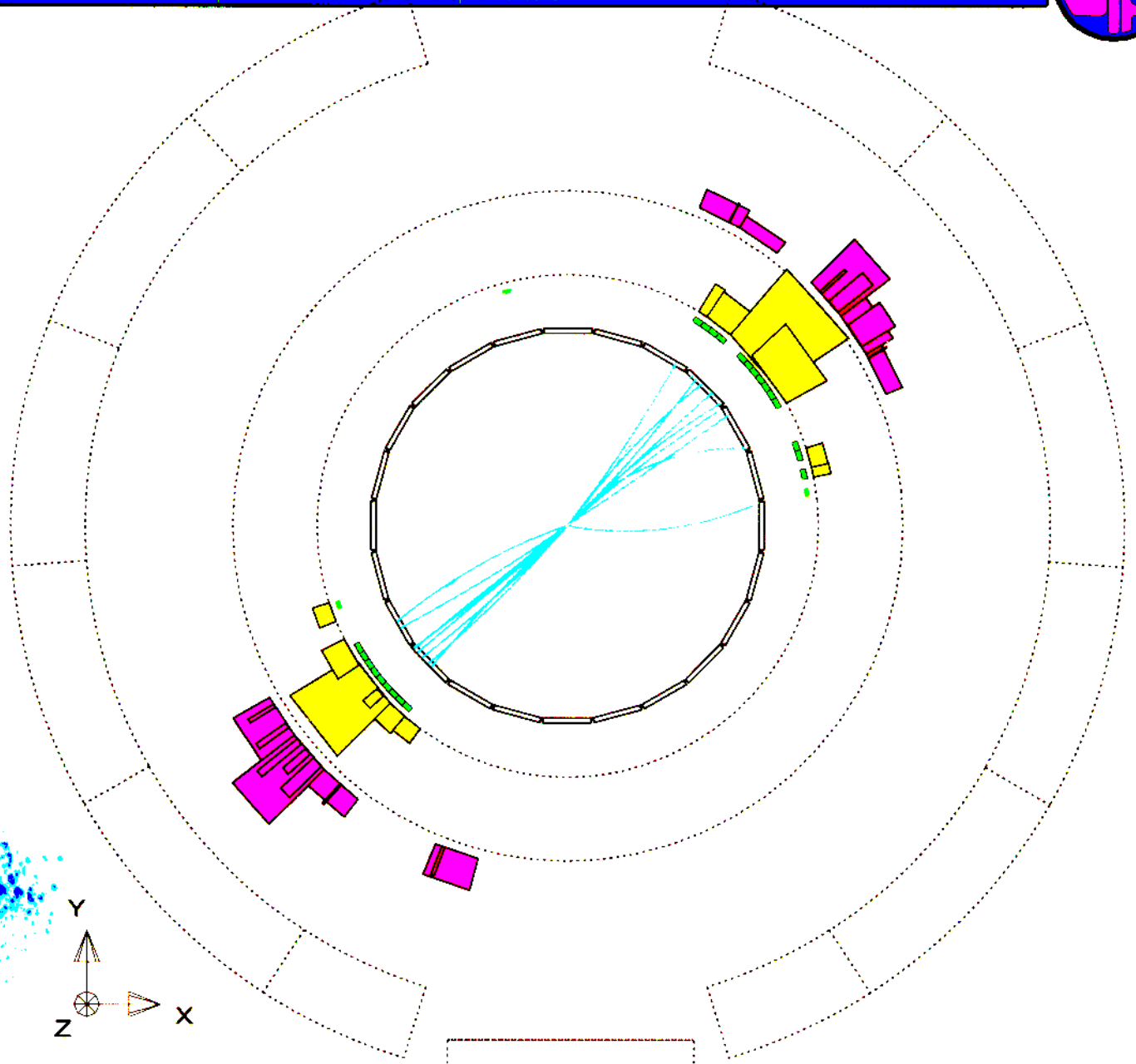






$Z \rightarrow q\bar{q} \rightarrow 2 \text{ jets}$

Run: event 4093; 1000 Date: 930527 Time: 20716 Ctrk(N= 39 Sump= 73.3) Ecal(N= 25 SumE= 32.6) Hcal(N=22 SumE= 22.6)
Ebeam 45.658 Evis 99.9 Emiss -8.6 Vtx (-0.07, 0.06, -0.80) Muon(N= 0) Sec Vtx(N= 3) Fdet(N= 0 SumE= 0.0)
Bz=4.350 Thrust=0.9873 Aplane=0.0017 Oblate=3.2248 Spher=0.0073



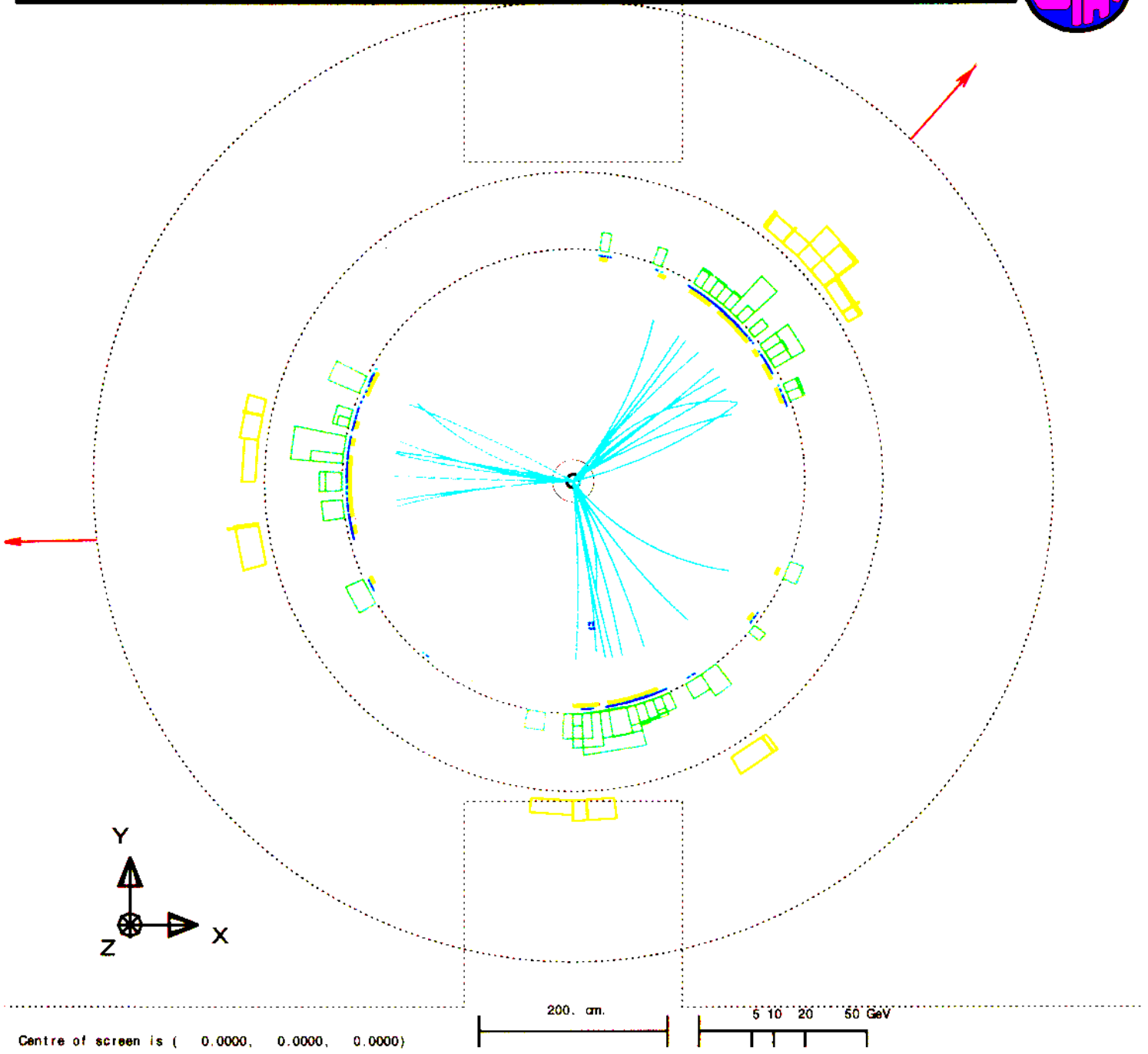
200. cm

5 10 20 50 GeV

Centre of screen is (0.0000, 0.0000, 0.0000)

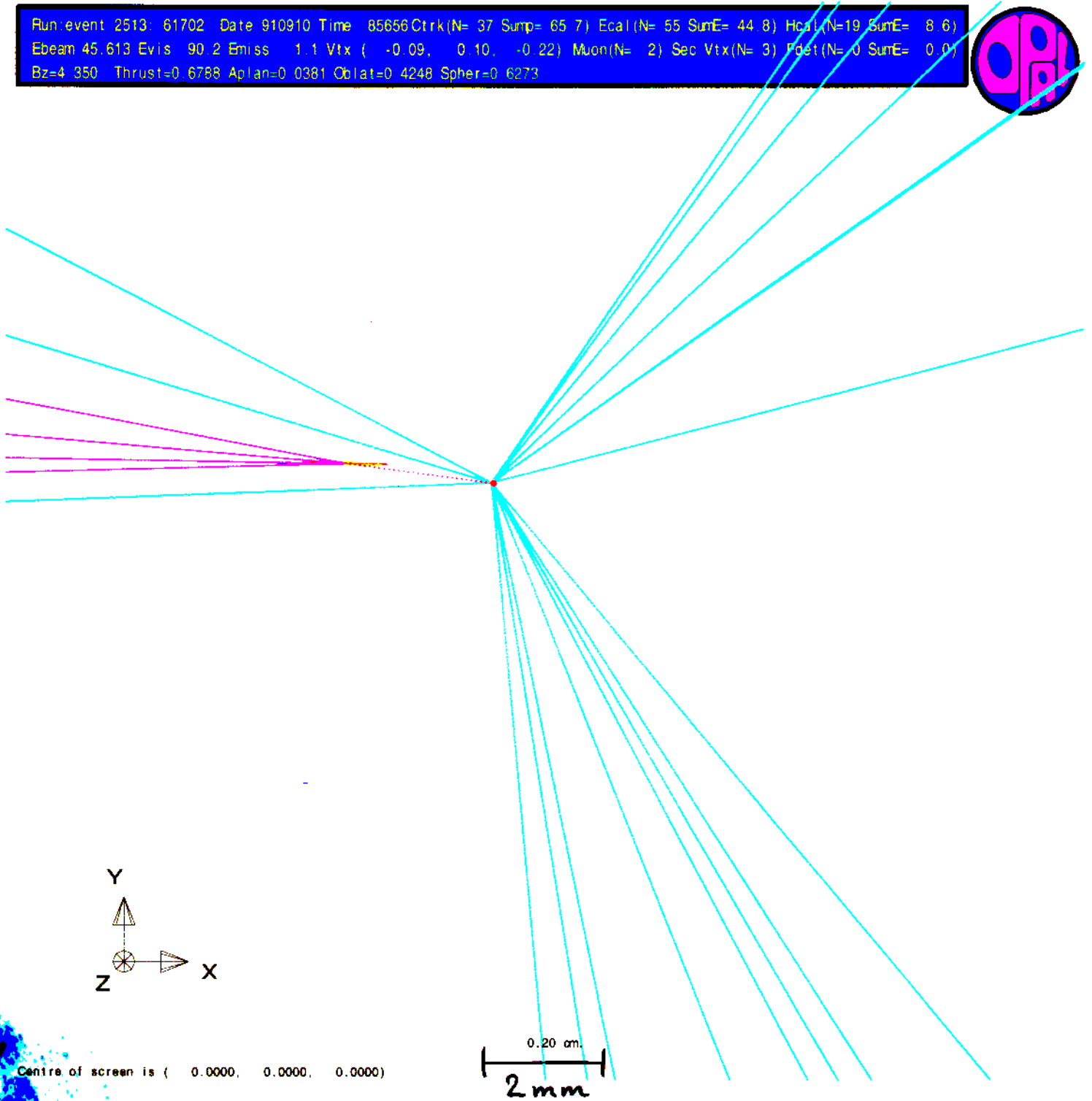
$Z \rightarrow q\bar{q}g \rightarrow 3 \text{ jets}$

Run: event 2513. 61702 Date 910910 Time 85656 Ctrk(N= 37 Sump= 65.7) Ecal(N= 55 SumE= 44.8) Hcal(N=19 SumE= 8.6)
Ebeam 45.613 Evis 90.2 Emiss 1.1 Vtx (-0.09, 0.10, -0.22) Muon(N= 2) Sec Vtx(N= 3) Fdet(N= 0 SumE= 0.0)
Bz=4.350 Thrust=0.6788 Aplan=0.0381 Oblat=0.4248 Spher=0.6273



sekundärer Zerfallsvertex eines b-Hadrons

Run event 2513: 61702 Date 910910 Time 85656 Ctrk(N= 37 Sump= 65 7) Ecal(N= 55 SumE= 44 8) Hcal(N=19 SumE= 8 6)
Ebeam 45.613 Evis 90 2 Emiss 1.1 Vtx (-0.09, 0.10, -0.22) Muon(N= 2) Sec Vtx(N= 3) Fdet(N= 0 SumE= 0 0)
Bz=4.350 Thrust=0.6788 Aplan=0.0381 Oblat=0.4248 Spher=0.6273



Vorteile der e^+e^- -Physik (bei LEP)

- definierter Anfangszustand
(Impuls, Energie, Quantenzahlen)
- keine "Vielfachwechselwirkung"
- i.a. vollständige Messung aller Reaktionsprodukte, insbesondere kein hadronischer Rest in Strahlröhre
- i.a. maximale verfügbare Energie in Ww. vorhanden
- überschaubare Teilchenanzahlen im Endzustand
- geringe Ereignisrate mit hoher Reinheit
daher Triggerkriterien mit minimalen Vorurteilen ("minimum bias")

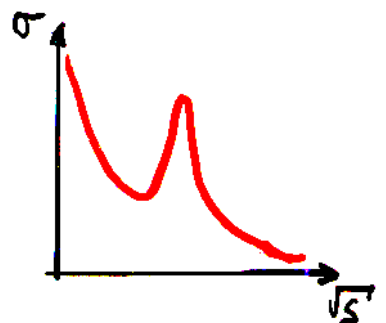
⇒ Wirkungsquerschnitt-Messung mit kleinen Korrekturen

$$\underbrace{N}_{\text{Zahl der Reaktionen}} = \underbrace{\sigma}_{\text{Wirkungsquerschnitt}} \cdot \underbrace{\int L dt}_{\text{integrierte Luminosität (aus Beschleuniger-Parametern oder Referenzprozess mit wohl-bekanntem WQ)}}$$

WQ-Verlauf in e^+e^- -Reaktionen:

$$\sigma \propto \frac{1}{s} + Z\text{-Resonanz}$$

(s: Schwerpunktsenergie²)



Standard-
Modell

Standard-Modell — Erinnerung

Elektroschwache Wechselwirkung wird beschrieben durch Eichgruppe $U(1) \times SU(2)$

beinhaltet masselose Eichbosonen

B und W^1, W^2, W^3

mit Kopplungen g' und g_w

Erzeugung von Massen durch Higgsfeld $H = \begin{pmatrix} H^+ \\ H^0 \end{pmatrix}$, ein komplexwertiges Dublett mit Vakuumerwartungswert

$$H_{\text{vac}} = \frac{1}{\sqrt{2}} \begin{pmatrix} 0 \\ v \end{pmatrix} \quad \text{und} \quad v = \frac{1}{\sqrt{2} G_F} \approx 246 \text{ GeV}$$

Messbare Teilchen, Masse und ihre Kopplungen:

$$W^\pm = \frac{1}{\sqrt{2}} (W^1 \mp iW^2) \quad ; \quad m_W = g_w \cdot \frac{v}{2} \quad ; \quad g_w = \frac{e}{\sin\theta_w}$$

$$Z = W^3 \cos\theta_w - B \sin\theta_w \quad ; \quad m_Z = m_W / \cos\theta_w \quad ; \quad g_Z = \frac{e}{\sin\theta_w} \cdot \cos\theta_w$$

$$\gamma = W^3 \sin\theta_w + B \cos\theta_w \quad ; \quad m_\gamma = 0 \quad ; \quad g_e = e = \sqrt{4\pi\alpha_{\text{em}}}$$

$$H^0 \quad ; \quad m_{H^0} = ? \quad ; \quad g_H = m_f = g_f \cdot v$$

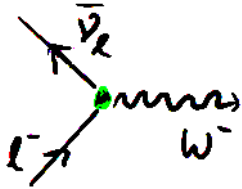
für Fermion f

Beachte: Parameter $G_F, m_Z, \alpha_{\text{em}}$ genügen, um Standard-Modell (ohne Higgs) zu beschreiben

Standard-Modell — Kopplungen

Kopplungen der Fermionen ans

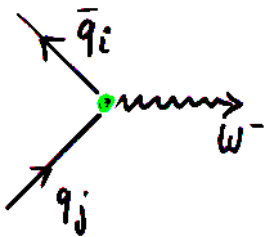
• W-Boson



Vertexfaktor

$$\frac{-ig_w}{2\sqrt{2}} \gamma^\mu (1 - \gamma_5)$$

Vektor - Axialvektor



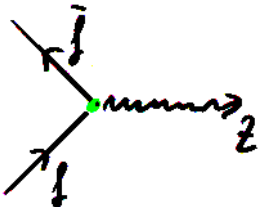
$$\frac{-ig_w}{2\sqrt{2}} \gamma^\mu (1 - \gamma_5) V_{ij}$$

CKM-Mischungsmatrix

• γ -Boson (Photon)

$$ig_e \gamma^\mu$$

• Z-Boson



$$\frac{-ig_z}{2} \gamma^\mu (g_{Vf} - g_{Af} \gamma_5)$$

Fermion f	Ladung Q_f	vektorielle Kopplung $g_{Vf} = T_f^3 - 2Q_f \sin^2 \theta_w$	axialvektorielle \sim $g_{Af} = T_f^3$
ν_e, ν_μ, ν_τ	0	$+\frac{1}{2} = +0.50$	$+\frac{1}{2}$
e^-, μ^-, τ^-	-1	$-\frac{1}{2} + 2 \sin^2 \theta_w \approx -0.05$	$-\frac{1}{2}$
u, c, t	$+\frac{2}{3}$	$+\frac{1}{2} - \frac{4}{3} \sin^2 \theta_w = +0.20$	$+\frac{1}{2}$
d, s, b	$-\frac{1}{3}$	$-\frac{1}{2} + \frac{2}{3} \sin^2 \theta_w \approx -0.35$	$-\frac{1}{2}$

mit $\sin^2 \theta_w \approx 0.223$

Standard-Modell — Eigenschaften des Z-Bosons

- partielle Zerfallsbreite (masselose Fermionen; ohne Korrekturterme)

$$\Gamma_f = \frac{G_F m_Z^3}{6\pi\sqrt{2}} (g_{Vf}^2 + g_{Af}^2) \cdot \underbrace{N_c}_{\text{Farbfaktor}} \quad \begin{cases} = 1 \text{ Leptonen} \\ = 3 \text{ Quarks} \end{cases}$$

$\approx 332 \text{ MeV}$

⇒ Verzweigungsverhältnisse:

$$Z \rightarrow \nu\bar{\nu} : l^+l^- : q\bar{q} \approx 20\% : 10\% : 70\%$$

dabei ist $Z \rightarrow q\bar{q}$

$$Z \rightarrow d\bar{d} : u\bar{u} : s\bar{s} : c\bar{c} : b\bar{b} \approx 22\% : 17\% : 22\% : 17\% : 22\%$$

und Leptonuniversalität in $Z \rightarrow \nu\bar{\nu}, l^+l^-$:

$$Z \rightarrow \nu_e\bar{\nu}_e : \nu_\mu\bar{\nu}_\mu : \nu_\tau\bar{\nu}_\tau = \frac{1}{3} : \frac{1}{3} : \frac{1}{3}$$

$$Z \rightarrow e^+e^- : \mu^+\mu^- : \tau^+\tau^- = \frac{1}{3} : \frac{1}{3} : \frac{1}{3}$$

↑
Masse von $m_\tau = 1.77 \text{ GeV}$ ergibt Korrekturen

- totale Breite*

$$\Gamma_Z = (2494.4 \pm 2.4) \text{ MeV} \quad \cong \pm 1\%$$

SM: 2496 MeV

- Masse*

$$m_Z = (91187.1 \pm 2.1) \text{ MeV} \quad \cong \pm 23 \text{ ppm}$$

* = aus Präzisionsmessungen mit LEP I

Standard-Modell - Parameter

Freie Parameter des Standard-Modells:

- α_{em} , m_W , m_Z ($\cos \theta_W = m_W/m_Z$)

QED-Kopplungskonst. : $1/\alpha_{em}(0) = 137.0359895 \pm 0.045 \text{ ppm}$

Z-Bosonmasse : $m_Z = 91.1867 \text{ GeV} \pm 23 \text{ ppm}$

W-Bosonmasse : $m_W = 80.394 \text{ GeV} \pm 520 \text{ ppm}$

Präzisionsmessungen benutzen anstelle von m_W die

Fermikonstante : $G_F = 1.16639 / \text{GeV}^2 \pm 9 \text{ ppm}$

\rightarrow Abhängigkeit von m_{top} und m_H

- Higgs-Bosonmasse $m_H = 97 \dots 250 \text{ GeV}$

- Alle Fermionmassen m_f

- Starke Kopplungskonst. $\alpha_s(m_Z) = 0.119 \pm 34000 \text{ ppm}$

- Mischungswinkel der Quarks (und Neutrinos)

... können (noch) nicht berechnet werden

\Rightarrow Bestimmung durch experimentelle Messung!

Insbesondere mit LEP II:

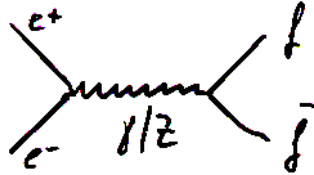
- ▶ Vermessung der Eigenschaften des W-Bosons
- ▶ Test der inneren Konsistenz des Standard-Modells
- ▶ Entdeckung und Vermessung des Higgs-Bosons
- ▶ Suche nach neuen Teilchen
- ▶ Verbesserung der Präzision der starken Kopplungskonst.

Vom Z-Pol zu höheren Energien

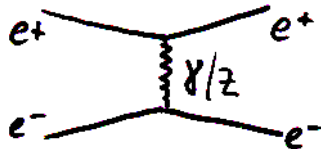
Reaktionen, die auch nach Energieerhöhung bleiben:

u.a.: **2-Fermion-Endzustände**

s-Kanal

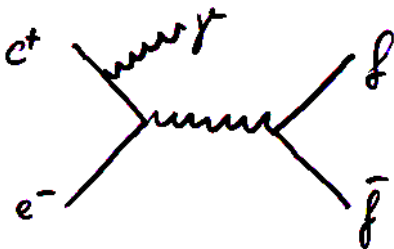


t-Kanal

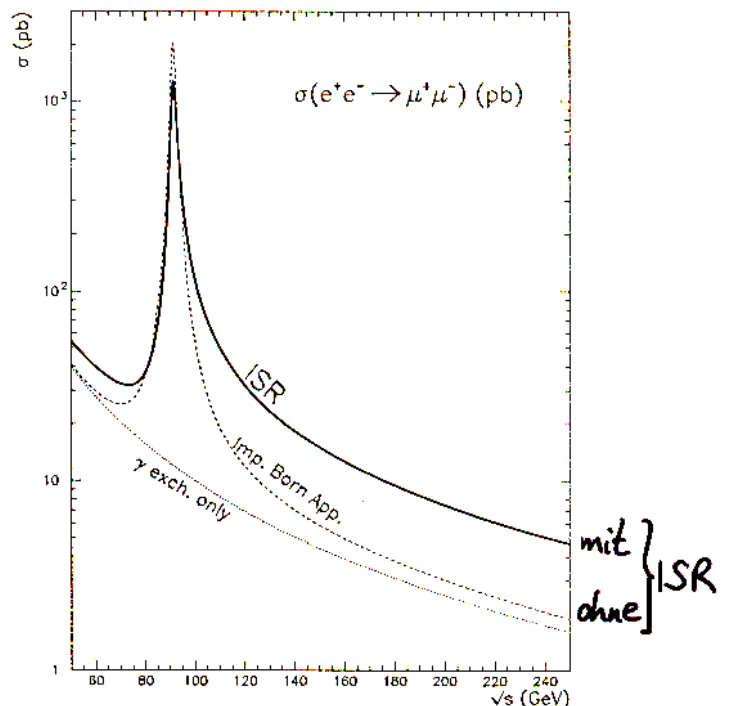


(Bhabha-Streuung = Referenzprozess zur Bestimmung der integrierten Luminosität)

Anders als am Z-Pol wird Bremsstrahlung "vor" der Annihilation (ISR) wichtig:



Grund: radiative Rückkehr auf den Z-Pol durch Bremsstrahlung



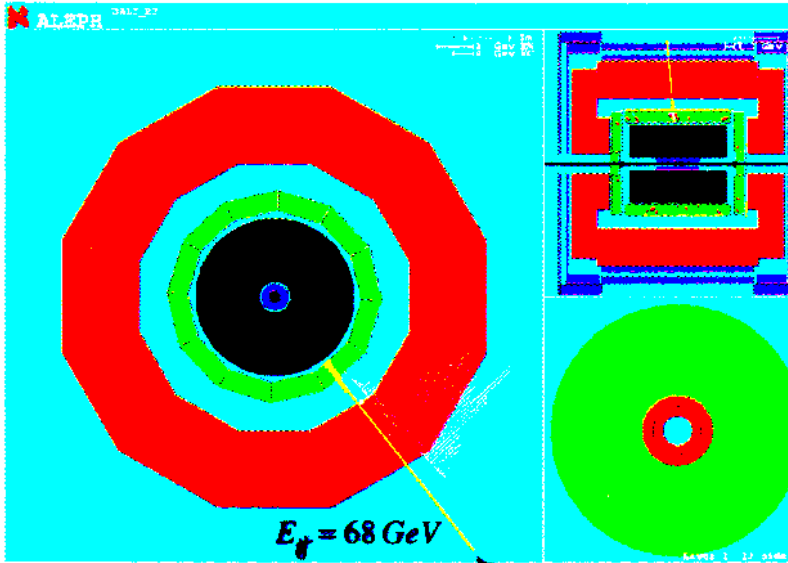
⇒ reduzierte effektive Schwerpunktenergie ($\hat{=}$ Rückstoßmasse zum Photon)

$$s' = s - 2E_{\gamma}\sqrt{s'}$$

$$\hat{=} m_Z^2$$

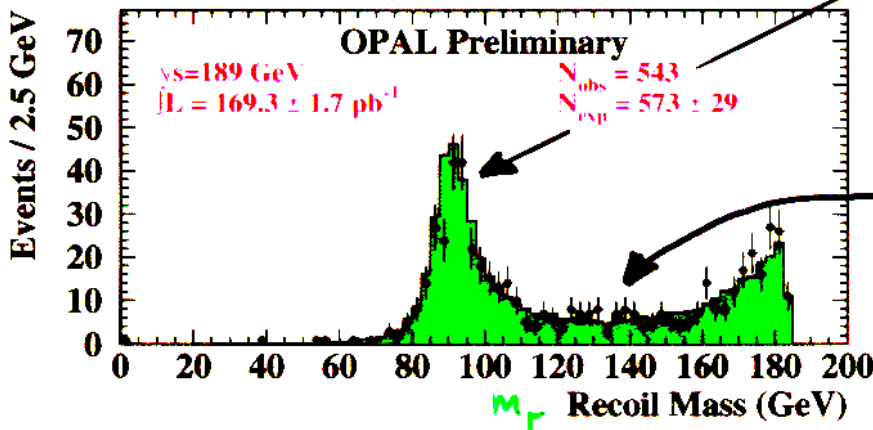
↑ bei radiativer Z-Rückkehr

Endzustände mit nur einem Photon

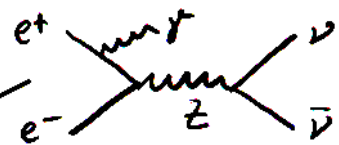


Einzelnes hochenerget.
Photon
keine weiteren Energie=
depositionen im Detektor

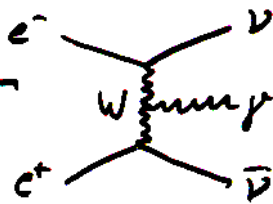
$$M_r^2 = s' = s - 2E_\gamma\sqrt{s}$$



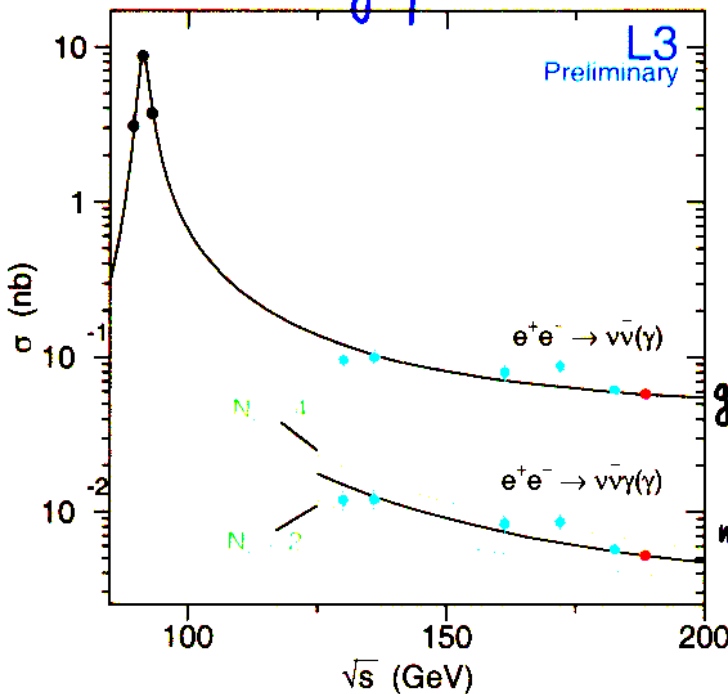
SM-Interpretation



oder



Wirkungsquerschnitt:



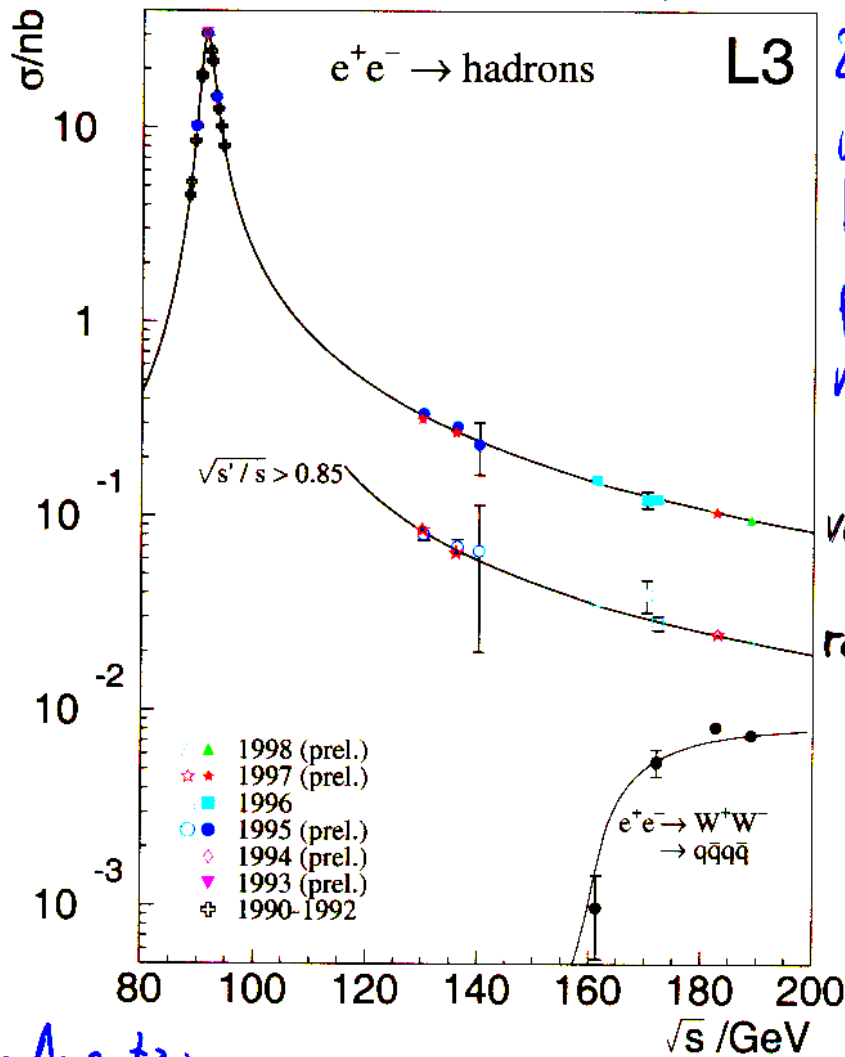
Zahl der Neutrino-Arten

LEP-II: $N_\nu = 2.99 \pm 0.10$

gesamt

mit 1 beob.
Photon

Energieabhängigkeit des 2-Fermion-Wirkungsquerschnitts



2-Fermion-Produktion über weiten Energiebereich vermessen: perfekte Übereinstimmung mit Standard-Modell

voller radiativer Beitrag

radiativer Beitrag unterdrückt

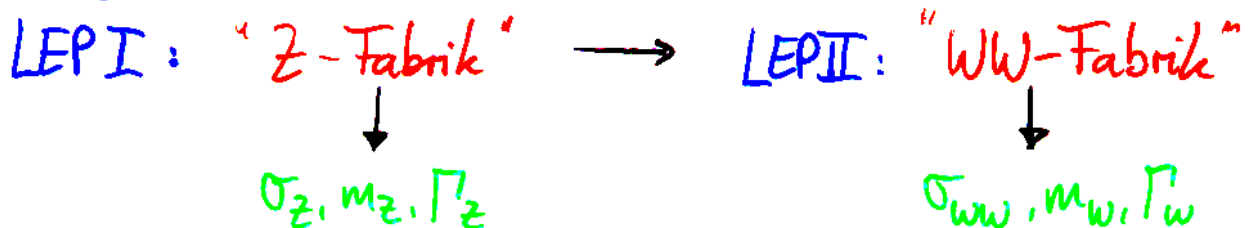
S-Matrix Ansatz:

$$\sigma(e^+e^- \rightarrow f\bar{f}(\gamma)) = \frac{3\pi\alpha^2}{4} \left[\frac{g_f^2}{s} + \frac{j_f^2 (s - \bar{m}_Z^2) + r_f s}{(s - \bar{m}_Z^2)^2 + \bar{\Gamma}_Z^2 \bar{m}_Z^2} \right] \otimes \text{Photonabstrahlung}$$

$$g_f \propto Q_e^2 Q_f^2; \quad j_f \propto g_{Ve} g_{Vf}; \quad r_f \propto (g_{Ve}^2 + g_{Ae}^2) \cdot (g_{Vf}^2 + g_{Af}^2)$$

$$m_Z^2 = \bar{m}_Z^2 + \bar{\Gamma}_Z^2; \quad \bar{\Gamma}_Z = \Gamma_Z \cdot \frac{\bar{m}_Z}{m_Z} \quad \left(\begin{array}{l} m_Z \approx \bar{m}_Z + 34.1 \text{ MeV} \\ \Gamma_Z \approx \bar{\Gamma}_Z + 0.9 \text{ MeV} \end{array} \right)$$

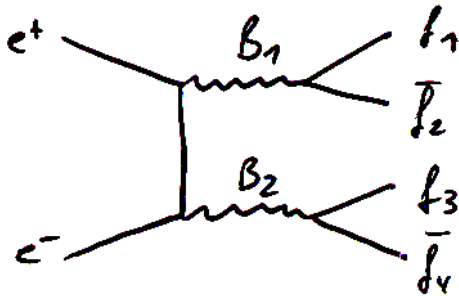
• Neue Aufgabe für LEP-Experimente:



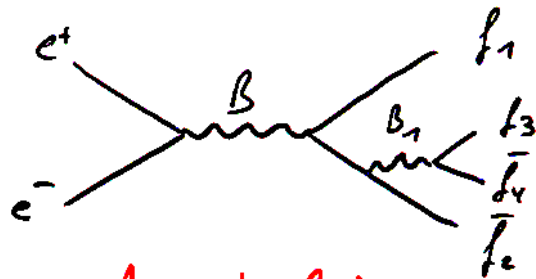
W-Boson

4-Fermion-Physik an LEP II

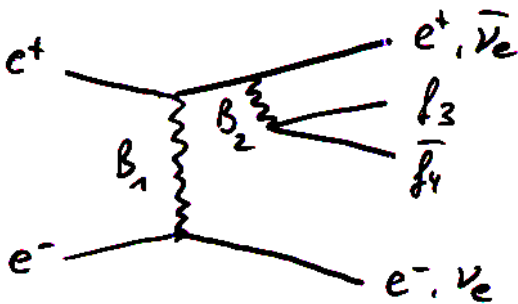
Für Energien oberhalb des Z -Pols haben 4-Fermion-Endzustände bedeutende Produktions-WQ:



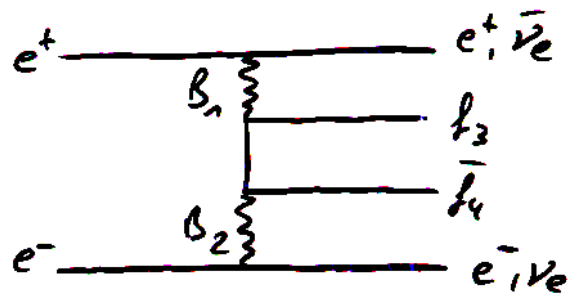
Konversion



Annihilation

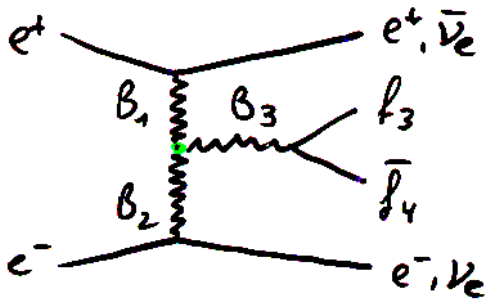


Bremsstrahlung



Multiperipher (beinhaltet $\gamma\gamma$ -Prozesse)

und zusätzlich Klassen mit 3-Eichboson-Kopplungen (nicht-abelsch)



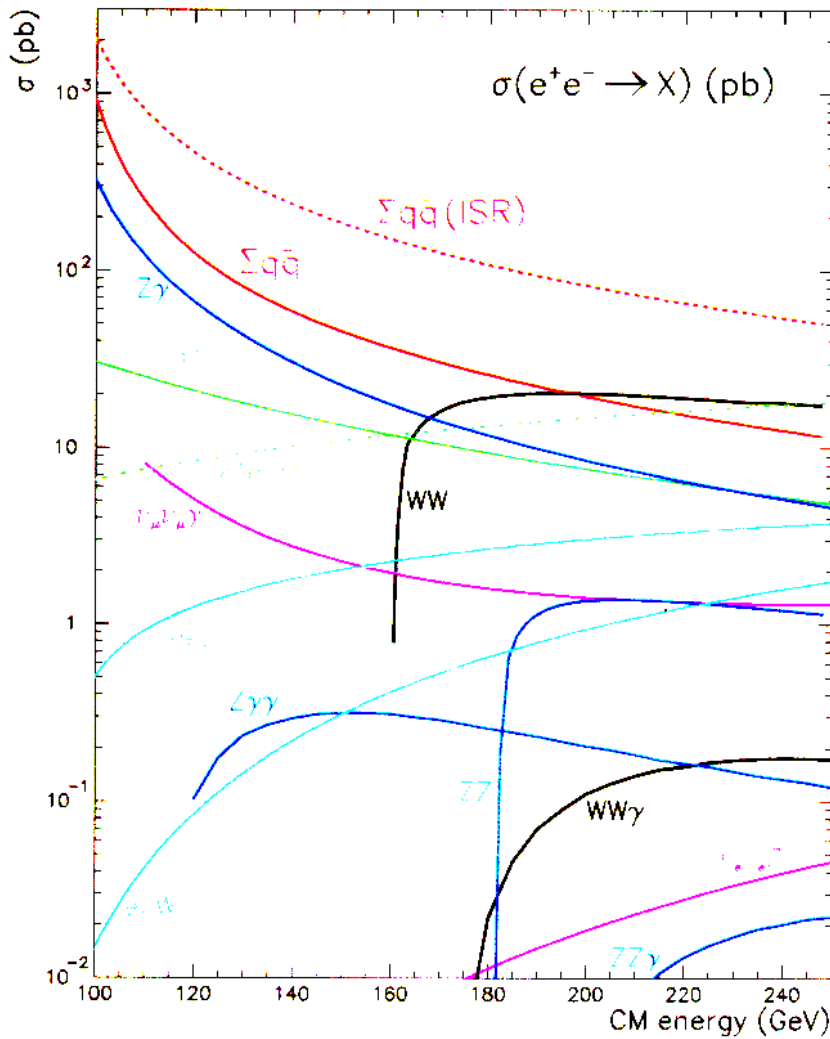
Fusion



Annihilation

$B = \gamma, Z$; $B_1, B_2, B_3 = \gamma, Z, W^\pm$; + Higgs-Graphen

Wirkungsquerschnitte einiger typischer SM-Prozesse



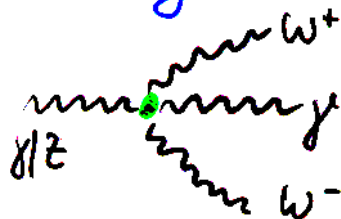
Nur dominierender t-Kanal-Beitrag für

$$e^+e^- \rightarrow e^+e^-Z, e\nu_e W, \nu_e\bar{\nu}_e Z$$

gezeigt.

$WW\gamma$ enthält Beitrag von 4-fach Eichbosonkopplung

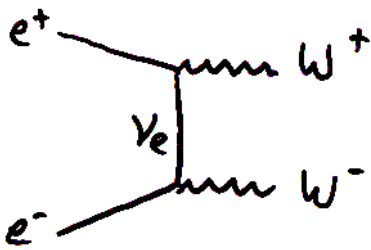
(quartische Kopplg.)



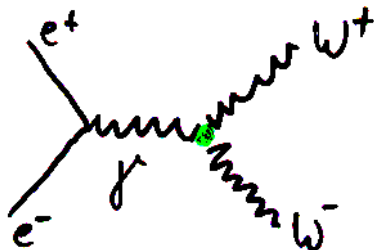
$Z\gamma\gamma, Z\gamma Z$ im SM nur via Konversion + ISR-Bremsstrahlung erlaubt

W-Paarproduktion an LEP II

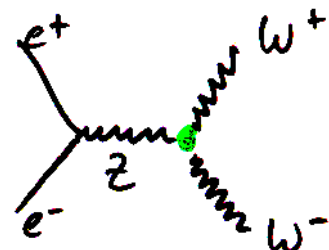
Bei Schwerpunktsenergien oberhalb $\sqrt{s} \gtrsim 2 \cdot m_W$ tritt bei e^+e^- -Vernichtung W-Paarproduktion auf



Konversion (t-Kanal)



Annihilation (s-Kanal)

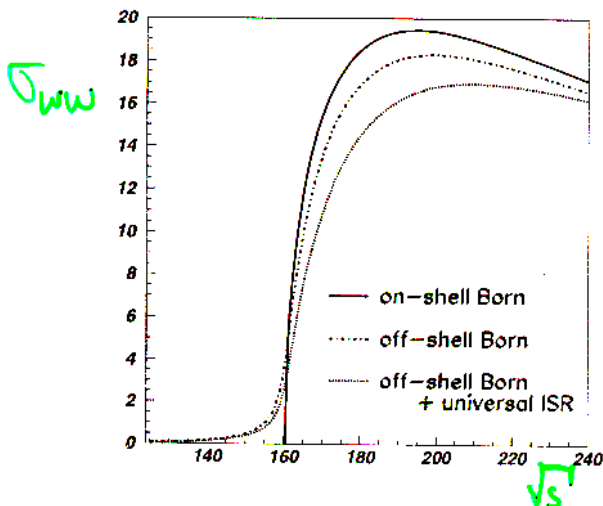


(sog. CC3 Graphen: "Charged Current", 3 Graphen)

Nahe der Schwelle wird Produktions-WQ durch t-Kanal ($\sim \beta$) gegenüber s-Kanal ($\sim \beta^3$) dominiert. In niedrigster Ordnung (Born-Term) für on-shell W-Bosonen:

$$\sigma_{WW}^{\text{Born}} \approx \frac{\pi \alpha^2}{s} \frac{1}{(1 - m_W^2/s)} \cdot \beta$$

$$\text{mit } \beta = \frac{v}{c} = \sqrt{1 - 4m_W^2/s}$$



Endliche W-Breite Γ_W
 (\rightarrow off-shell W-Produktion)
 und ISR schmieren scharfe
 Produktionsschwelle aus

Eigenschaften des W-Bosons

- Partielle Zerfallsbreiten (masselose Fermionen; ohne Korrekturterme)

$$\Gamma_{li\bar{l}_j} = \underbrace{\frac{G_F m_W^3}{6\pi\sqrt{2}}}_{\approx 227 \text{ MeV}} \cdot \underbrace{|V_{ij}|^2}_{\text{CKM-Matrix f\u00fcr Quarks}} \cdot \underbrace{N_c}_{\text{Farbfaktor}} \begin{cases} = 1 & \text{Leptonen} \\ = 3 & \text{Quarks} \end{cases}$$

⇒ Verzweigungsverh\u00e4ltnisse:

$$W \rightarrow l\bar{\nu} : q\bar{q}' \approx 32\% : 68\%$$

(oder durch Abz\u00e4hlen: $\underbrace{e\bar{\nu}_e, \mu\bar{\nu}_\mu, \tau\bar{\nu}_\tau}_{3} : \underbrace{3 \cdot d\bar{u}, 3 \cdot s\bar{c}}_6$ \u00fcrige durch CKM unterdr\u00fcckt)

dabei ist $W \rightarrow q\bar{q}'$ ($\sum_{ij=u,d,s,c,b} |V_{ij}|^2 = 2$)

$$W^+ \rightarrow u\bar{d} : c\bar{s} : u\bar{s} : c\bar{d} : c\bar{b} : u\bar{b} \approx 47.5\% : 47.5\% : 2.4\% : 2.4\% : 0.3\% : 10^{-5}$$

und Leptonuniversalit\u00e4t in $W \rightarrow l\nu$

$$W^+ \rightarrow e^+\nu_e, \mu^+\nu_\mu, \tau^+\nu_\tau = \frac{1}{3} : \frac{1}{3} : \frac{1}{3}$$

Masse $m_\tau = 1.77 \text{ GeV}$ ergibt Korrekturen

- totale Breite $\Gamma_W \approx 2093 \text{ MeV}$ im SM

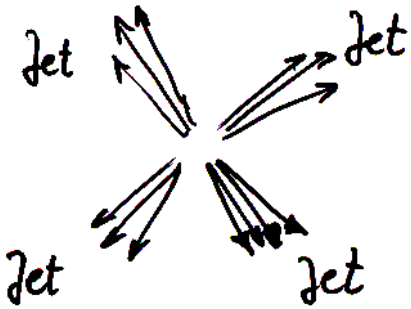
- Masse $m_W \approx 80.4 \text{ GeV}$

⇒ f\u00fcr W-Paare:

$$W^+W^- \rightarrow q\bar{q}q\bar{q} : q\bar{q}l\nu : l\nu l\nu \approx 45\% : 44\% : 11\%$$

W-Physik: Topologien bei W-Paarzeugung

• $WW \rightarrow q\bar{q}q\bar{q}$



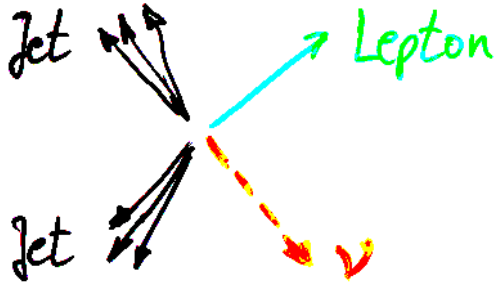
etwa 45% aller WW-Endzustände

4 Jets

Gesamtimpuls gut balanciert

Energiesumme $\Sigma E \approx \sqrt{s}$

• $WW \rightarrow q\bar{q}l\nu$



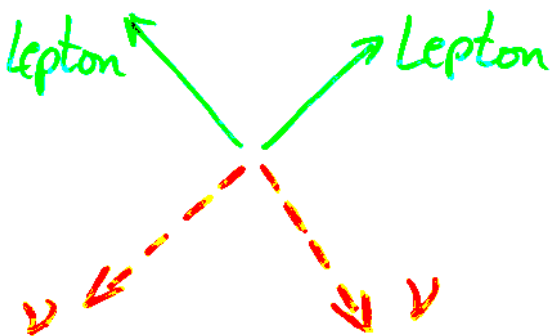
etwa 44% aller WW-Endzustände

2 Jets

1 energiereiches Lepton
(wohl separiert von Jets)

fehlender Transversalimpuls & Energie

• $WW \rightarrow l\nu l\nu$

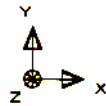
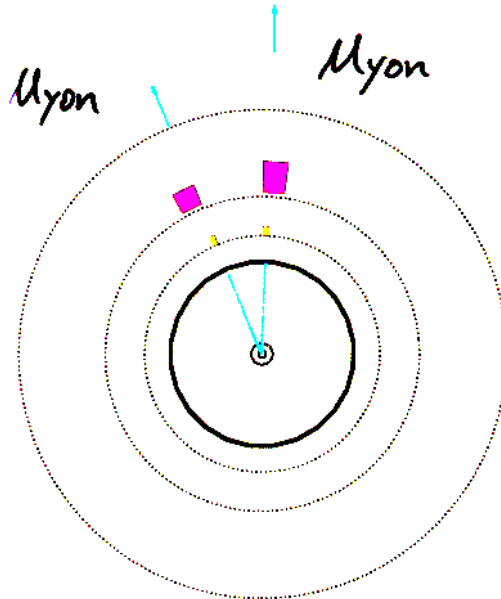


etwa 11% aller WW-Endzustände

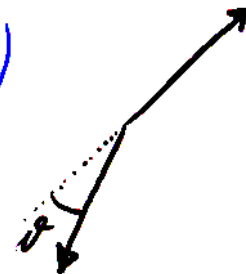
2 energiereiche Leptonen
(i.a. akoplanar)

fehlender Transversalimpuls & Energie

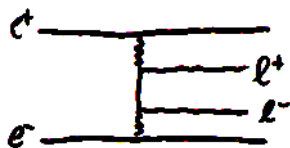
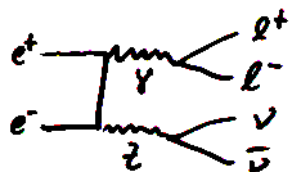
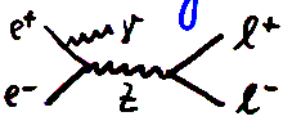
WW \rightarrow $l\nu l\nu$ - Selektion



- Sechs Ereignisklassen: $ee, \mu\mu, \tau\tau, e\mu, e\tau, \mu\tau$
- Gemeinsame Eigenschaften:
 - Akoplanarität der Leptonen (ϑ)
 - hoher Lepton-Impuls
 - hohe sichtbare Masse
 - Identifizierung von e und μ



- Untergrund stammt dominant von radiativen Leptonpaaren

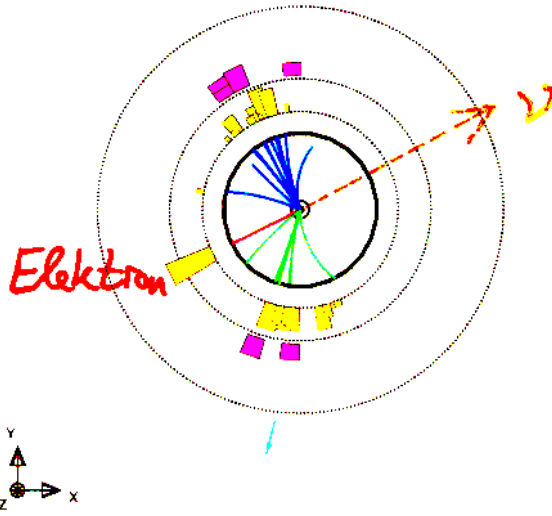


neutrale Ströme

2-Photonphysik

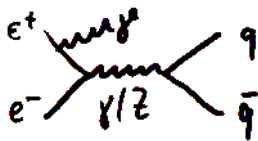
- Selektion: Lepton-Impuls (und Identifikation), Akoplanarität

WW \rightarrow $q\bar{q}l\nu$ - Selektion

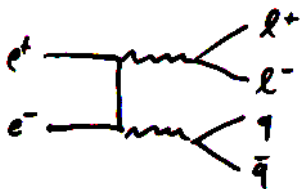


- Zwei Ereignisklassen: $q\bar{q}e\nu, q\bar{q}\mu\nu$
- Gemeinsame Eigenschaften
 - zwei Jets
 - separiertes Lepton (e, μ)
 - fehlender Transversalimpuls

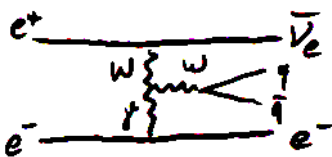
• Dominanter Untergrund



radiative Quarkpaare



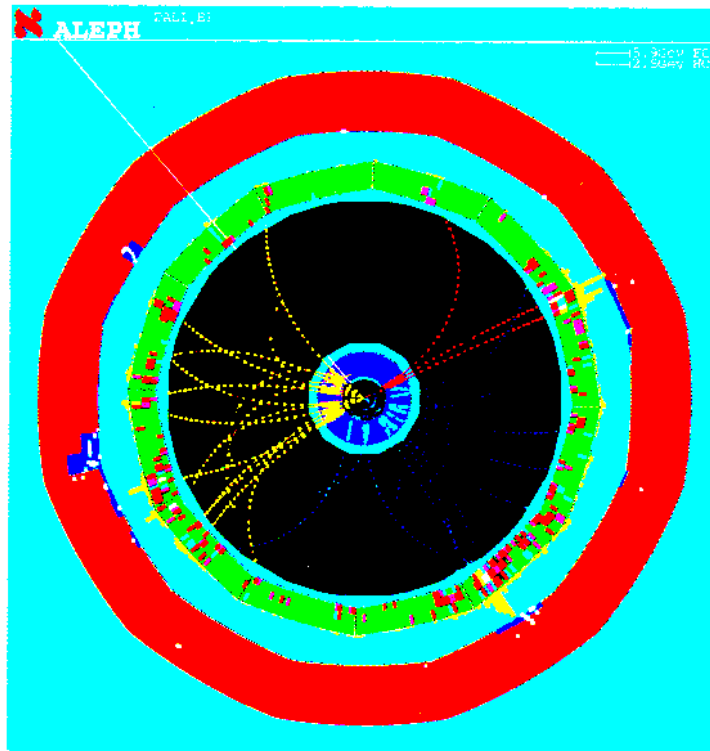
neutrale Ströme



einzelne W's

- Selektion: Lepton-Identifikation und -Impuls, fehlender Impuls nicht in Strahlrichtung

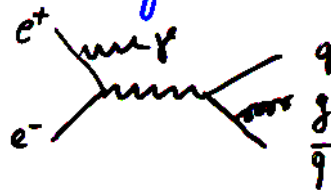
WW \rightarrow $q\bar{q}\tau\nu$ - Selektion



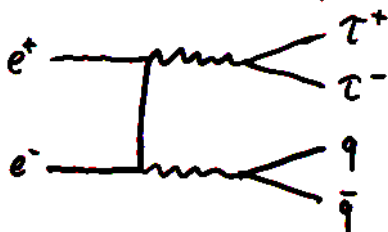
$\tau \rightarrow 3\pi\nu_\tau$

- Charakteristik
 - 3 jets (einschließlich τ -jet)
 - fehlende Masse ($\nu_\tau, \bar{\nu}_\tau$), fehlender Transversalimpuls

- Untergrund stammt von



radiative Quarkpaare



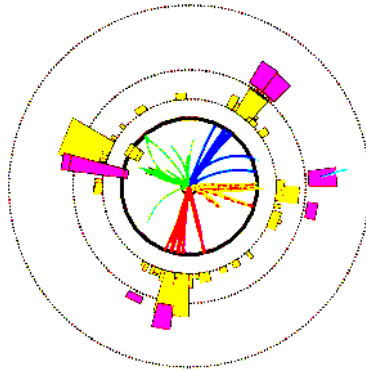
neutrale Ströme

- Selektion nutzt

- Wahrscheinlichkeits-Selektion (Likelihood-Funktionen)
- Neuronale Netze

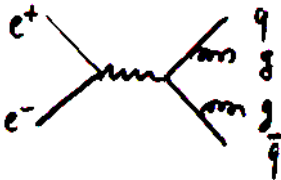
WW \rightarrow $q\bar{q}q\bar{q}$ - Selektion

Downloaded from <https://www.researchprotocols.org/2019/1/e14149/>
© 2019, <https://www.researchprotocols.org/>, licensee [Researchprotocols](https://www.researchprotocols.org/). All rights reserved. No reuse allowed without permission.



- Charakteristik :
 - 4 Jets
 - keine fehlende Energie u. Impuls

- Dominierender Untergrund



QCD jets

- Selektion stützt sich häufig auf
 - Wahrscheinlichkeits-Selektion (Likelihood-Fkt. (LH))
 - Neuronale Netzwerke (NN)

WW-Selektion: Effizienz und Reinheit

typische Effizienzen ϵ und Reinheiten π

	ϵ	π	BR
$l\nu l\nu$	30 - 70% falls τ -Lepton involviert	80%	11%
$q\bar{q} l\nu$	50 - 80% τ -Lepton	80 - 90%	44%
$q\bar{q}q\bar{q}$	80%	80%	45%

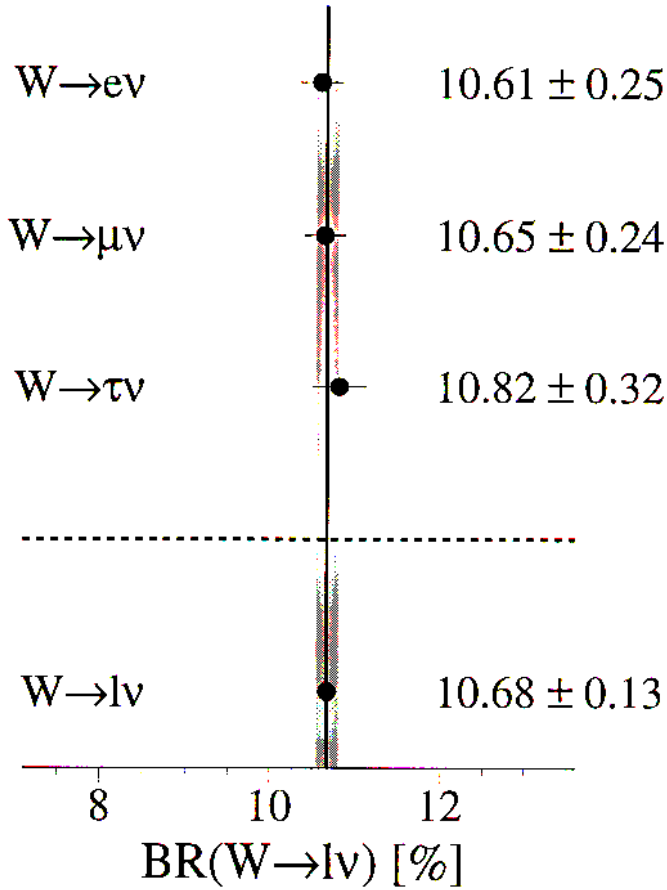
werden bei WW- und Verzweigungsverhältnis-Messung benötigt:

$$\text{z.B. } \sigma_{WW} = \frac{N_{\text{Kand}}^{WW \rightarrow q\bar{q}q\bar{q}} \cdot \pi}{\epsilon} \cdot \frac{1}{\int dt} \cdot \frac{1}{B(WW \rightarrow q\bar{q}q\bar{q})}$$

$$B(W \rightarrow l\nu) = \frac{1}{N^W} \cdot \frac{N_{\text{Kand}}^{W \rightarrow l\nu} \cdot \pi}{\epsilon}$$

W → lv Verzweigungsverhältnisse

LEP II : W Leptonic Branching Ratios



⇒ Universalität der W-Lepton-Kopplung
experimentell bestätigt

Im Prinzip Leptonuniversalität schon zuvor im τ -Lepton-Zerfall mit sehr hoher Präzision [2%] für geladenen Strom getestet.

$W \rightarrow q\bar{q}'$ Verzweigungsverhältnis

$$\text{LEP II: } \mathcal{B}(W \rightarrow q\bar{q}') = (67.96 \pm 0.41)\%$$

SM

67.51%

hängt von CKM-Matrixelementen ab!

Von beteiligten CKM-Matrixelementen

$V_{ud}, V_{cs}, V_{us}, V_{cd}, \underline{V_{cb}, V_{ub}}$ Beitrag \approx vernachlässigbar gering

ist V_{cs} am wenigsten bekannt, daher

- indirekte Bestimmung aus hadr. Verzweigungsverhältnis

$$\frac{\mathcal{B}(W \rightarrow q\bar{q}')}{3 \cdot \mathcal{B}(W \rightarrow l\nu)} = \sum_{\substack{j = u, c \\ i = d, s, b}} |V_{ij}|^2 \cdot \underbrace{\left(1 + \frac{\alpha_s}{\pi}\right)}_{\text{QCD-Korrektur}}$$

$$\Rightarrow |V_{cs}| = 0.997 \pm 0.020$$

- direkte Messung durch Identifikation von c -Quarks in W -Zerfällen bei $\sqrt{s} = 189 \text{ GeV}$

$$\Gamma(W \rightarrow cX) / \Gamma(W \rightarrow \text{had})$$

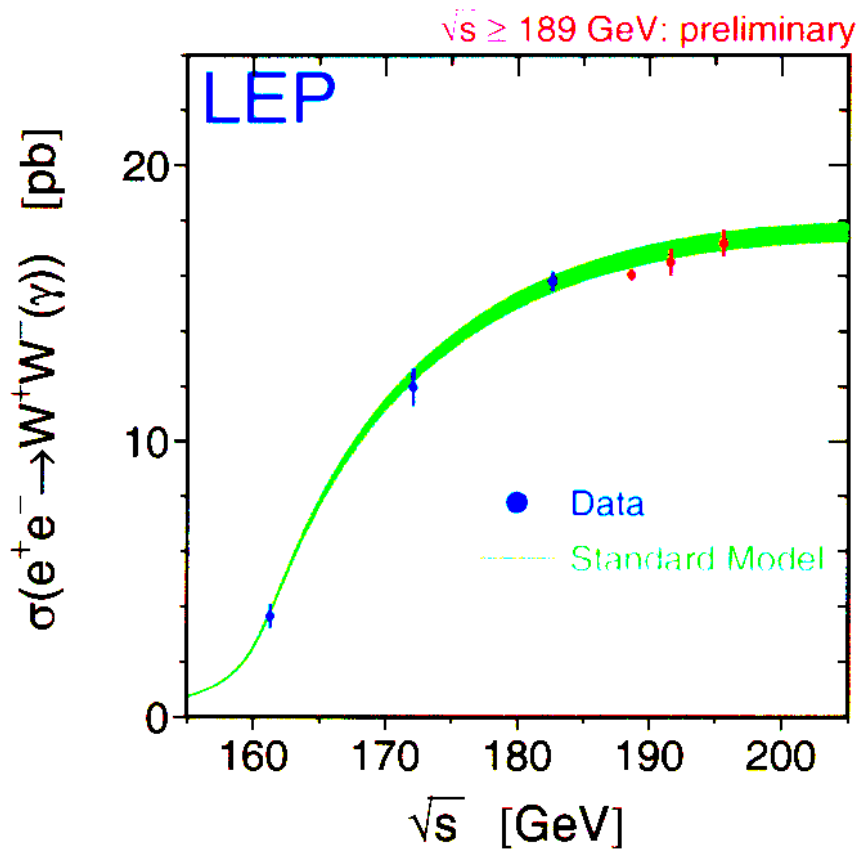
$$|V_{cs}|$$

ALEPH+OPAL:

$$0.49 \pm 0.05$$

$$0.96 \pm 0.11$$

W-Paarproduktions-Wirkungsquerschnitt



- Standard-Modell im Einklang mit Messung
etwa 2% Unsicherheit auf SM-WQ durch nur partiell bekannte Strahlungskorrekturen bei off-shell W-Produktion
- WQ ist abhängig von der W-Masse ($\sigma \sim \sqrt{1 - \frac{4m_W^2}{s}}$ @Schwelle)
Größte Sensitivität auf m_W an Schwelle der Paarproduktion
Optimale Sensitivität bei $\sqrt{s} \approx 2 \cdot m_W + 0.5 \text{ GeV} \approx 161 \text{ GeV}$
(Kompromiß zwischen statistischer Unsicherheit $\propto \frac{1}{\sqrt{s}}$ und systematischen Fehlern $\propto \frac{1}{\sqrt{s}}$)

⇒ aus σ_{WW} (Schwelle):

$$m_W = 80.40 \pm 0.22 \text{ GeV}$$

W-Bosonmasse aus Leptonenspektrum

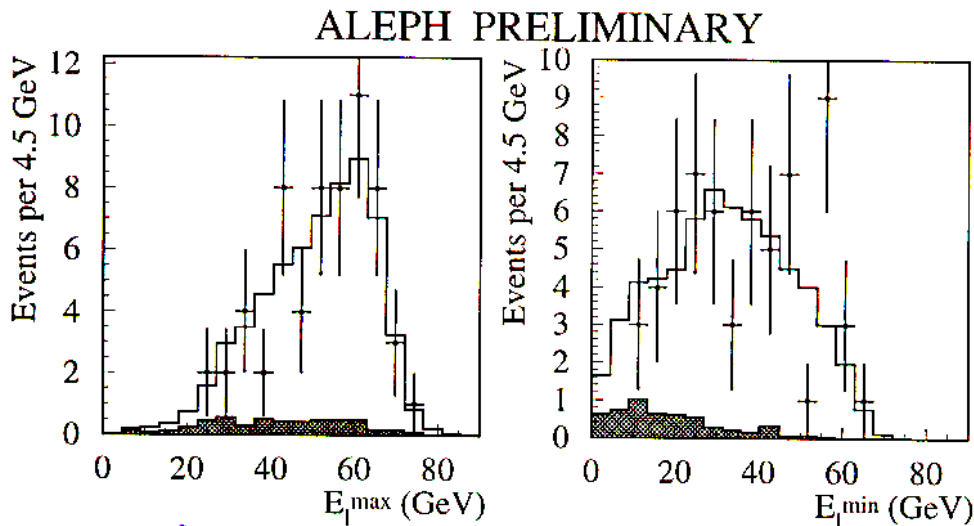
Endpunkte des Lepton-Impulsspektrums von m_W abhängig

$$E_\ell = \frac{\sqrt{s}}{4} + \cos\theta_\ell^* \sqrt{\frac{s}{16} - \frac{m_W^2}{4}} = \frac{\sqrt{s}}{4} \cdot \beta$$

wobei $\cos\theta_\ell^*$ = Lepton-Winkel im W-Ruhsystem 

Endpunkte des Spektrums für $\cos\theta_\ell^* = \pm 1$
z.B. für $m_W = 80.5 \text{ GeV}$ bei $\sqrt{s} = 189 \text{ GeV}$

$$\Rightarrow E_{\ell, \max} = 72.0 \text{ GeV}, \quad E_{\ell, \min} = 22.5 \text{ GeV}$$



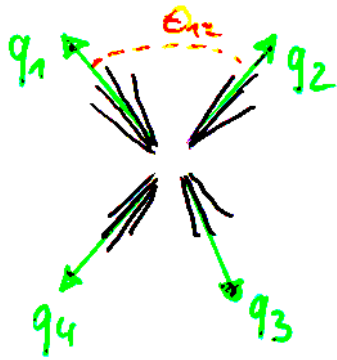
endliche W-Breite muß beachtet werden

→ m_W aus Fit ans Lepton-Impulsspektrum

prinzip. Nachteil: kleines $WW \rightarrow l\bar{l}\nu$ Verzweigungsverhältnis
→ geringe Statistik

W-Bosonmasse aus direkter Rekonstruktion

Rekonstruktion der W-Zerfallsprodukte ermöglicht m_W -Bestimmung



$$\Rightarrow m_{12} = \sqrt{2E_1 E_2 (1 - \cos\theta_{12})}$$

dito m_{34}

Problem: Detektorauflösung beträgt typ. 5-10%

⇒ Nutze die vorteilhaften Eigenschaften der e^+e^- -Vernichtung

Anfangszustand: $(\vec{p}, E) = (\vec{0}, \sqrt{s})$
und gesamtes Ereignis im Detektor enthalten

⇒ Energie- & Impulserhaltung können genutzt werden

⇒ kinematische Fits: (mittels Lagrange-Multiplikatoren)

• Eingangsgrößen: gemessene Energien und Winkel von Leptonen und Jets

• Randbedingungen: (4c) 4-Impulserhaltung $\Sigma(\vec{p}, E) = (\vec{0}, \sqrt{s})$
⇒ 2 gefittete Massen m_1^{rec}, m_2^{rec}

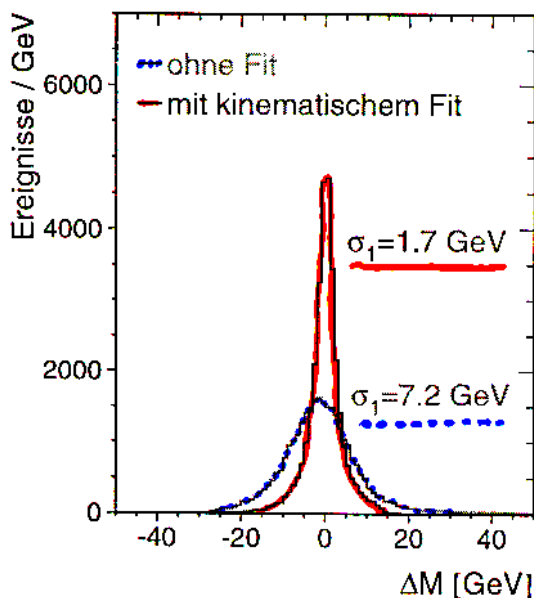
(5c) wie (4c) zusätzlich $m_1^{rec} = m_2^{rec}$
⇒ 1 gefittete Masse m^{rec}

Falls Neutrinos involviert:

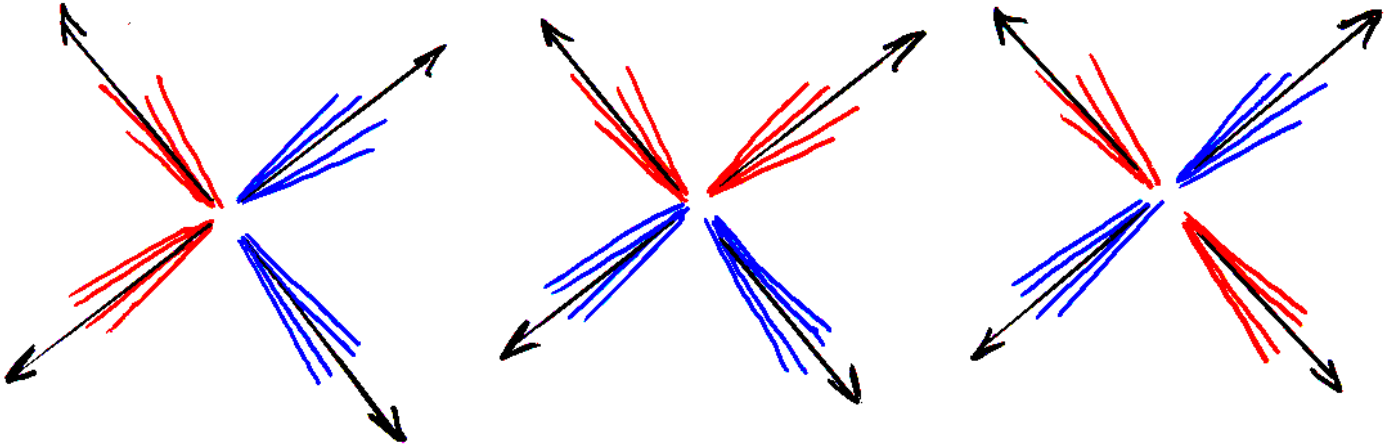
$\vec{p}_\nu = -\Sigma\vec{p} \Rightarrow$ 3 Randbedingg. weniger

bei τ -Leptonen:

E_τ unbestimmt \Rightarrow 1 Randbedingg. weniger



Problem der Jet-Paarung in $WW \rightarrow q\bar{q}q\bar{q}$



In 4-Jet-Endzuständen gibt es 3 Kombinationen für (m_1^{rec}, m_2^{rec}) (5-Jets \leadsto 10 Kombinationen)

Nur eine Kombination enthält m_W -Information

Verschiedene Methoden, diese auszuwählen

- Fit-Wahrscheinlichkeit des 5C-Fits

$P_1 > P_2 > P_3$, P_1 in 65% der Fälle richtig

P_2 in $\approx 25\%$

zusätzl. Kombinatorik, wenn P_1 und P_2 gewählt

- Benutze 4C-Fit-Information $\Delta m^{rec} = m_1^{rec} - m_2^{rec}$ und Summe der Jet-Jet-Winkel

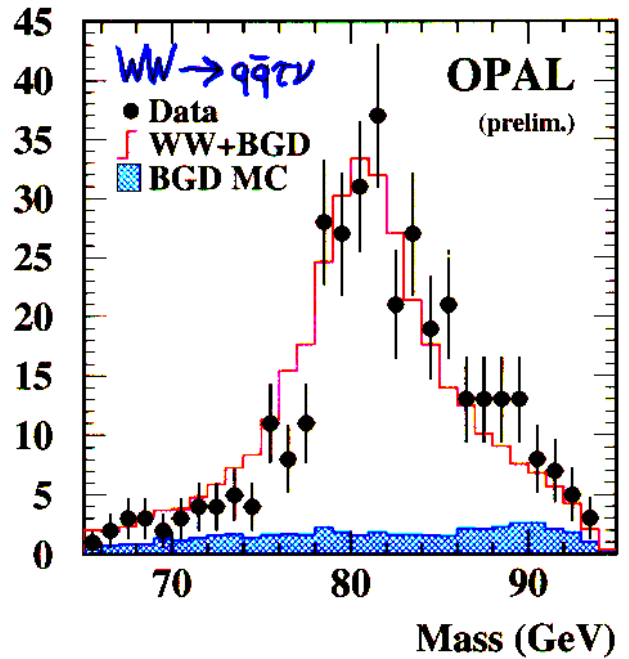
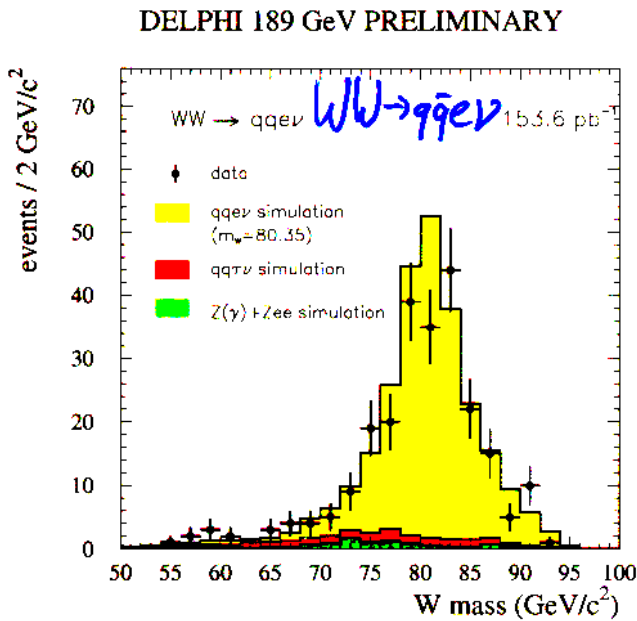
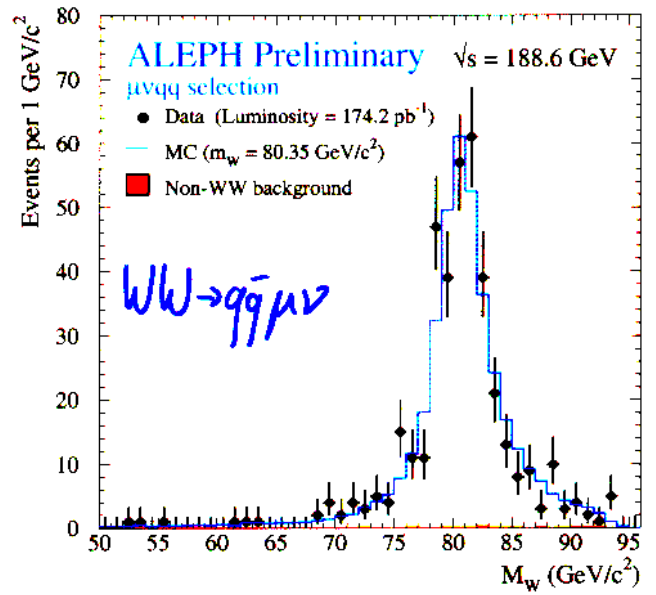
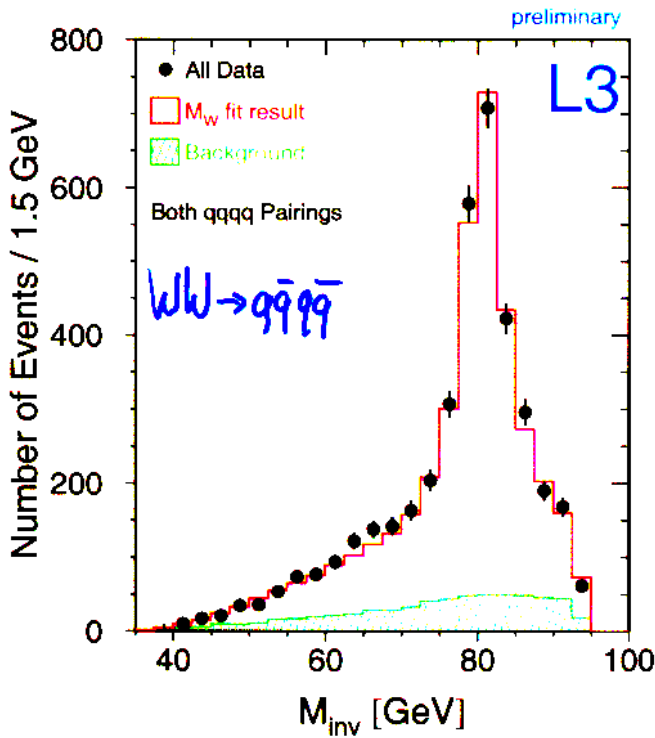
Wenn dann 1 Kombination pro Event gewählt,

dann in 85% der Fälle die richtige,

aber: Untergrundverteilung wird verzerrt

(Anhäufung im m_W -Bereich)

W-Boson - Massenverteilungen



m_W -Bestimmung:

- analytisch: Breit-Wigner $BW(m_{rec}) \sim \frac{m_{rec}^2}{(m_{rec}^2 - m_W^2)^2 + (m_{rec}^4 \Gamma_W^2 / m_W^2)}$
 + Untergrund (z.B. Polynom in m_{rec})
- Vergleich von Daten und ungewichteten MC-Verteilungen
- Faltungstechniken z.B. $\int BW(m_{rec}) \otimes \text{Auflösung} + \text{Untergrund}$

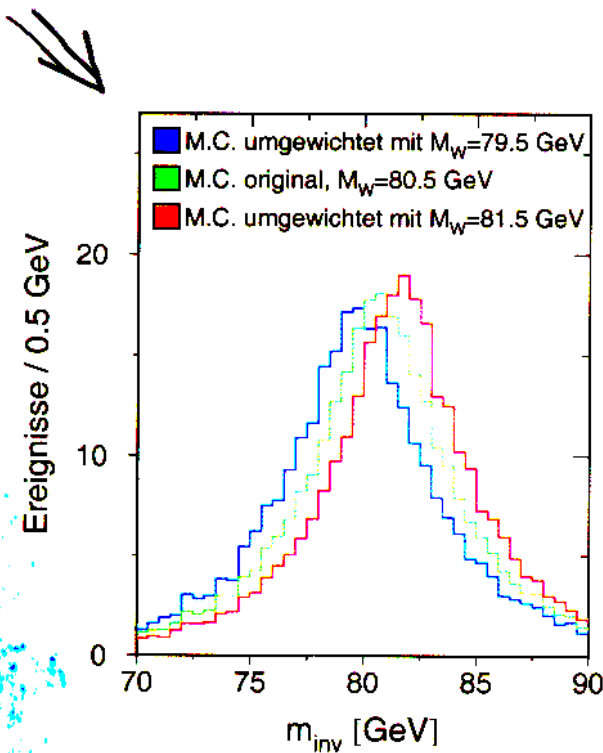
m_W aus Vergleich zw. Daten und ungewichtetes MC

- Ausgangspunkt: gemessenes Massenspektrum $\frac{d\sigma}{dm}$
- Erzeuge MC-simulierte Datensätze mit verschiedenen m_W
- Ungewichtung der MC-Datensätze liefert $\frac{d\sigma}{dm}$ für nicht simulierte m_W -Werte
je MC-Event ein Gewichtungsfaktor:

$$w_i = \frac{\sigma_{\text{Born}}(m_1, m_2, s) \cdot \text{BW}(m_W^{\text{new}}, \Gamma_W^{\text{new}}, m_1) \cdot \text{BW}(m_W^{\text{new}}, \Gamma_W^{\text{new}}, m_2)}{\sigma_{\text{Born}}(m_1, m_2, s) \cdot \text{BW}(m_W^{\text{MC}}, \Gamma_W^{\text{MC}}, m_1) \cdot \text{BW}(m_W^{\text{MC}}, \Gamma_W^{\text{MC}}, m_2)}$$

oder alternativ als Verhältnis von Matrixelementen

$$w_i = \frac{|\mathcal{M}(m_W^{\text{new}})|^2}{|\mathcal{M}(m_W^{\text{MC}})|^2}$$



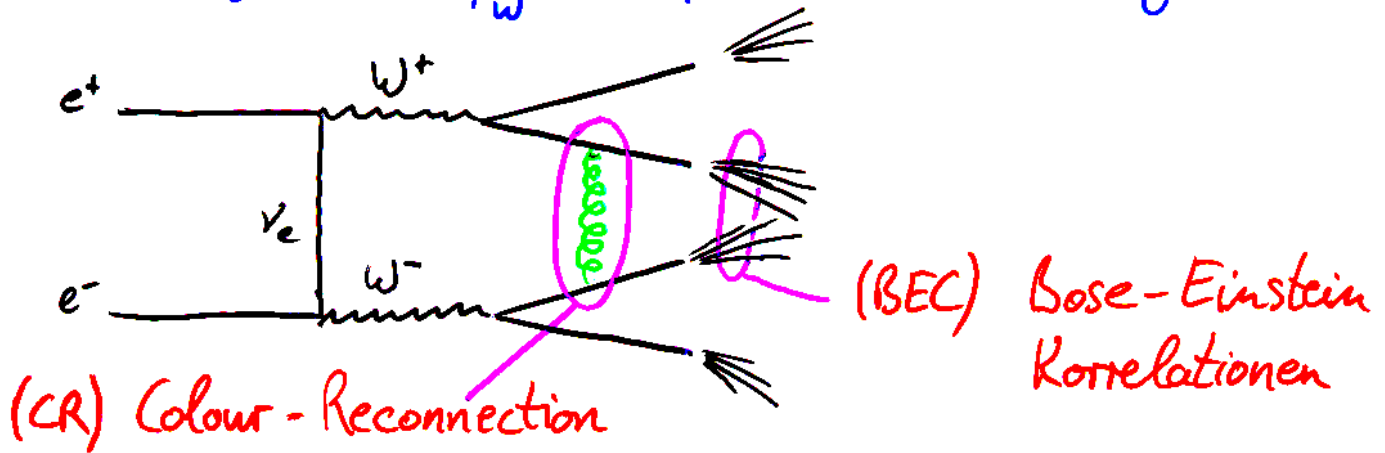
Fitte ungewichtete $\frac{d\sigma}{dm}(m_{\text{MC}})$
an Datenverteilung

m_W (und Γ_W)

Wechselwirkung im $q\bar{q}q\bar{q}$ - Endzustand

Zerfall der beiden W 's ist nicht unabhängig:

Zerfallslänge $\tau = \frac{1}{\Gamma_W} \approx 0.1 \text{ fm} \ll \text{Hadronisierung} \approx 1 \text{ fm}$



MC-Modelle nehmen üblicherweise an:
 W 's zerfallen unabhängig

CR führt zu Energie- & Impulsaustausch zwischen den Quarks (und Gluonen) benachbarter W 's

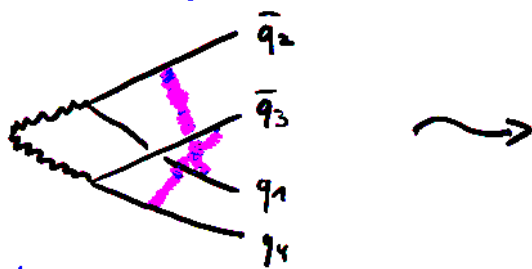
BEC betreffen geladene und neutrale Mesonen
Auswirkung auf deren Energien und Impulse

\Rightarrow CR und BEC wirken auf Jet-Energien
und können m_W -Messung beeinflussen

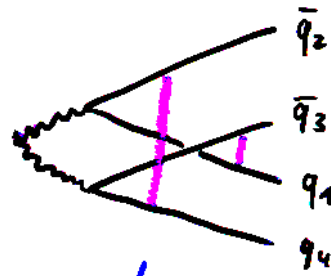
Colour-reconnection

Drei Haupt-Philosophien (stark vereinfacht):

- Sjöstrand-Khoze (KS):

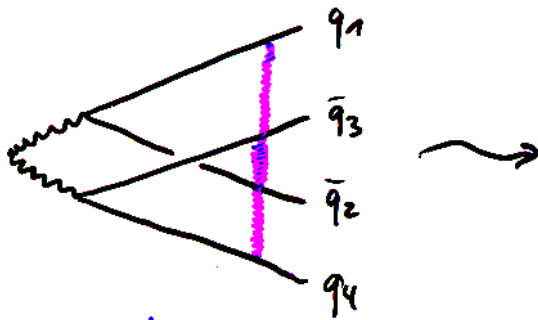


überlappende oder kreuzende Farbstrings ...

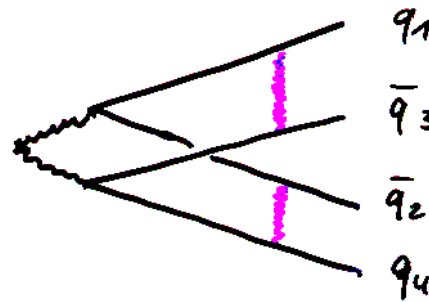


... werden neu/anders verknüpft mit gewisser Wahrscheinlichkeit

- Ariadne (AR):

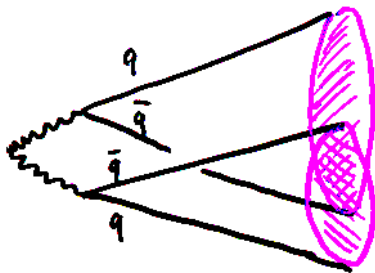


in gegebener Farbstringkonfiguration...

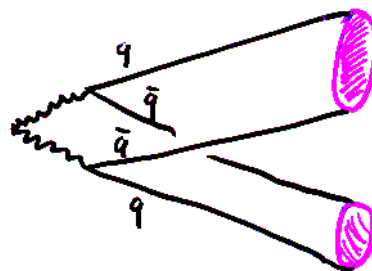


... wird minimale Stringlänge ausgewählt (Stringspannung $\approx 1 \text{ GeV/fm}$)

- Herwig (HW):

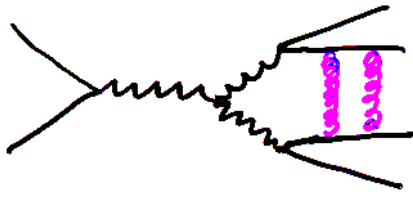


in gegebener Clusterkonfiguration...



... kann neue Konfiguration mit reduzierter Clustergröße ausgewählt werden

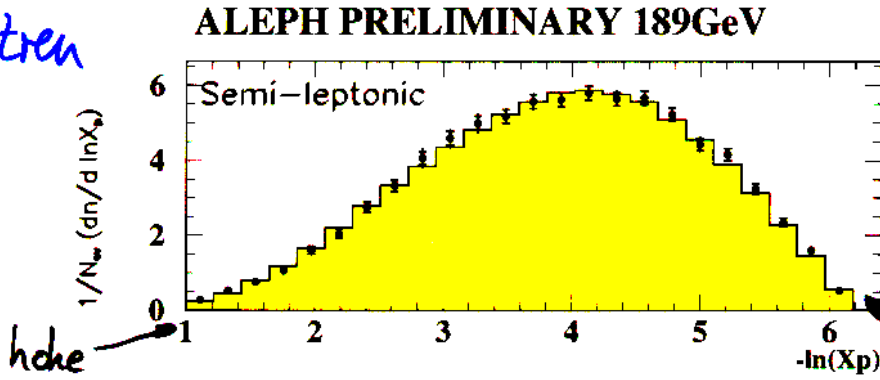
Colour - Reconnection



Effekt auf Zahl der Hadronen mit geringem Impuls

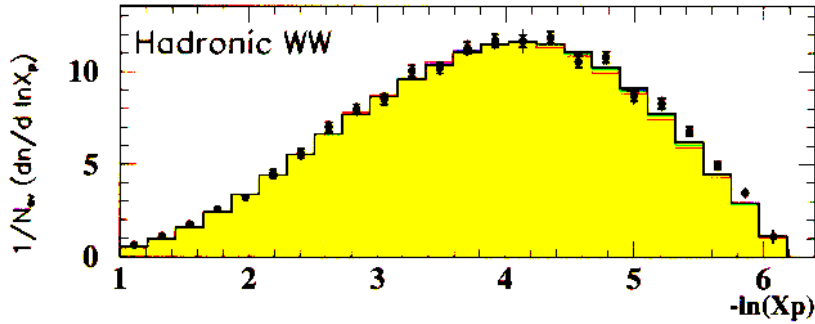
Impulsspektren

$W \rightarrow q\bar{q}l\nu$

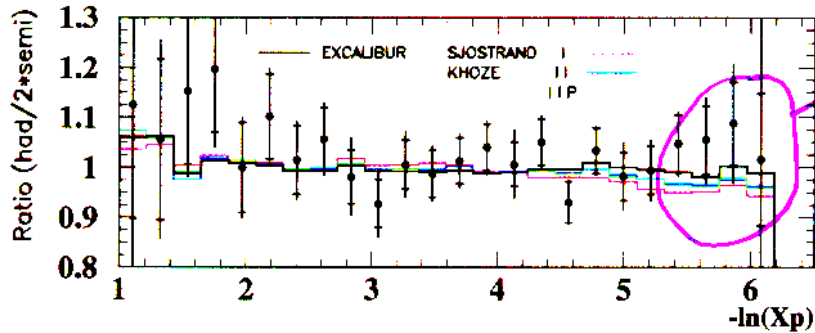


geringe Impulse
($-\ln X_p = +\ln \frac{s}{2p}$)

$W \rightarrow q\bar{q}q\bar{q}$



Verhältnis



keine Absenkung

Quantitativ: $\Delta \langle n_{ch} \rangle = \langle n_{ch}^{q\bar{q}q\bar{q}} \rangle - 2 \cdot \langle n_{ch}^{q\bar{q}l\nu} \rangle$

LEP: $\Delta \langle n_{ch} \rangle = + 0.30 \pm 0.52$

Modelle: $\Delta \langle n_{ch} \rangle = -0.2 \dots -0.3$

\Rightarrow keine Anzeichen für CR

Bose-Einstein-Korrelationen

Hadronisierungsregionen der beiden W's überlappen

⇒ Kohärenzeffekte zwischen identischen Bosonen aus unterschiedlichen W's sind möglich

Bei Bose-Einstein-Korrelationen: identische Bosonen öfter nah beieinander im Phasenraum erzeugt

⇒ Vierer-Impulsdifferenz $Q^2 = -(p_1 - p_2)^2 \approx 0$

Korrelationen beschrieben durch zwei-Teilchen-

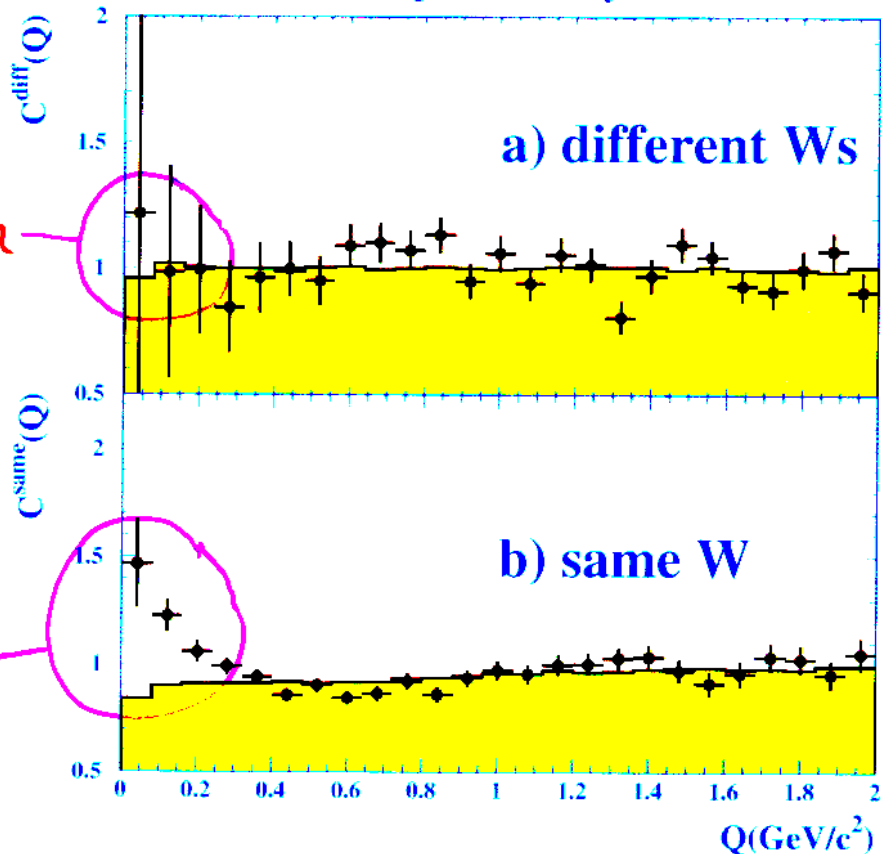
Korrelationsfkt.: $\frac{C_{BE}(Q^2)}{C_{noBE}(Q^2)} = 1 + \lambda \cdot \exp(-Q^2 \cdot R^2)$

↑
↑
 Korr.-stärke Quellgröße
 ($\lambda=0 \rightarrow$ keine BEC)

OPAL preliminary

Teilchen aus
verschied. W's

keine Korrelation



... gleichen W's

Korrelation

LEP:

versch. W

$= -0.15 \pm 0.21$

⇓
kein Hinweis auf BEC

Wechselwirkung im $q\bar{q}q\bar{q}$ -Endzustand (FSI)

- Effekte von CR und BEC auf m_W -Bestimmung

Modell	Effekt	Δm_W [MeV]
SKI	CR	+ 10 \pm 25
SKII	CR	- 25 \pm 25
SKII'	CR	- 20 \pm 25
HW	CR	- 30 \pm 25
ARZ	CR	+ 50 \pm 15
Pythia	BEC	\sim 20 ... 50
KoralW	BEC	\sim 20 ... 50

\Rightarrow Unsicherheit auf m_W aus $q\bar{q}q\bar{q}$ durch FSI \approx 60 MeV

- Kann Effekt mit Daten direkt untersuchen:

Vergleich:

$$\begin{aligned} \text{LEP II} \quad m_W(q\bar{q}q\bar{q}) &= 80.429 \pm 0.089 \text{ GeV} \\ &\quad (\text{FSI: } 58 \text{ MeV, LEP: } 17 \text{ MeV}) \\ m_W(q\bar{q}l\nu) &= 80.313 \pm 0.063 \text{ GeV} \\ &\quad (\text{LEP: } 17 \text{ MeV auf } E_{\text{beam}}) \end{aligned}$$

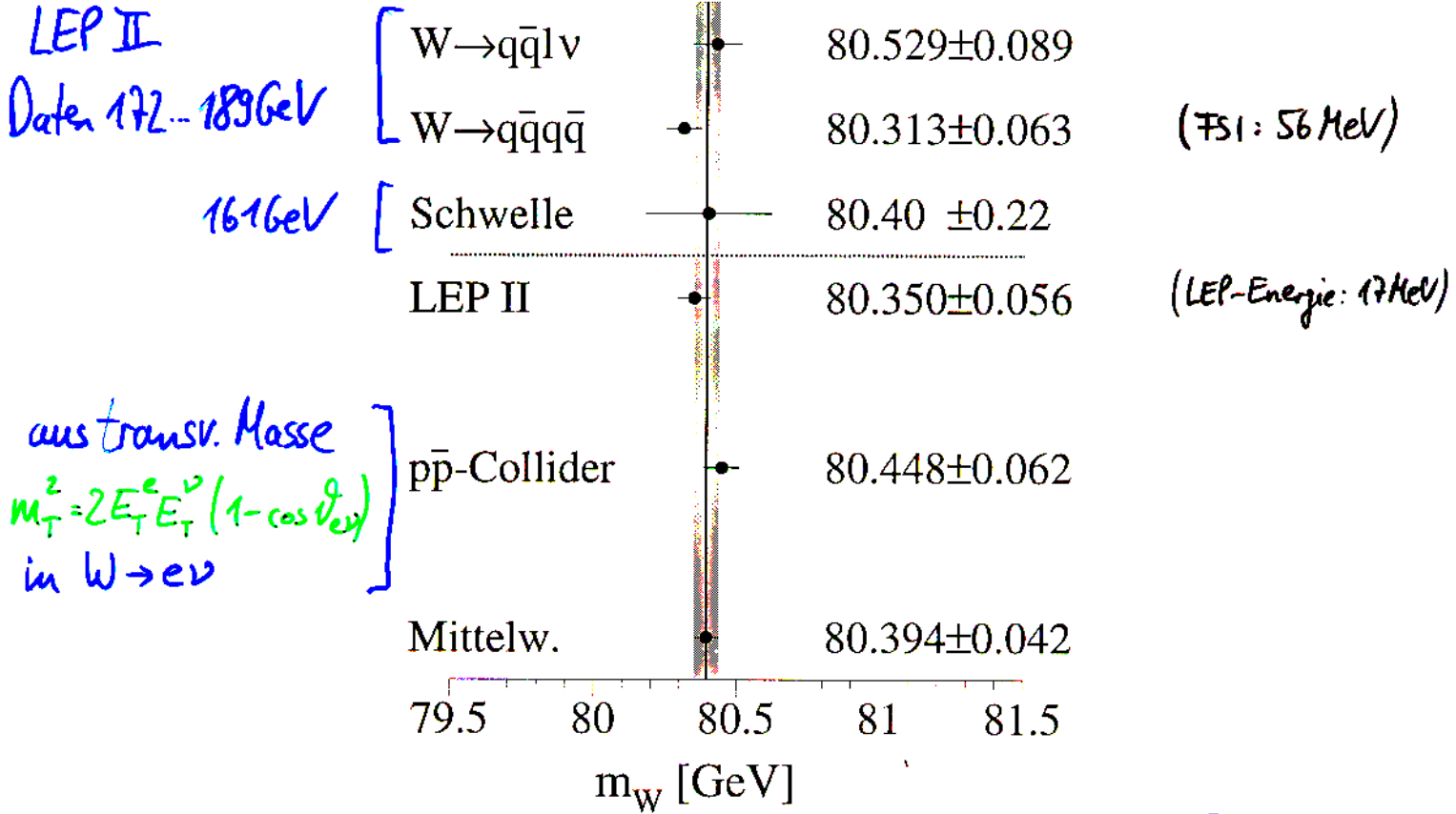
$$\Rightarrow \Delta(m_W) = 0.116 \pm 0.089 \text{ GeV} \quad (\text{ohne FSI und LEP})$$

\Rightarrow Effekte noch nicht signifikant

W-Bosonmasse: Zusammenfassung

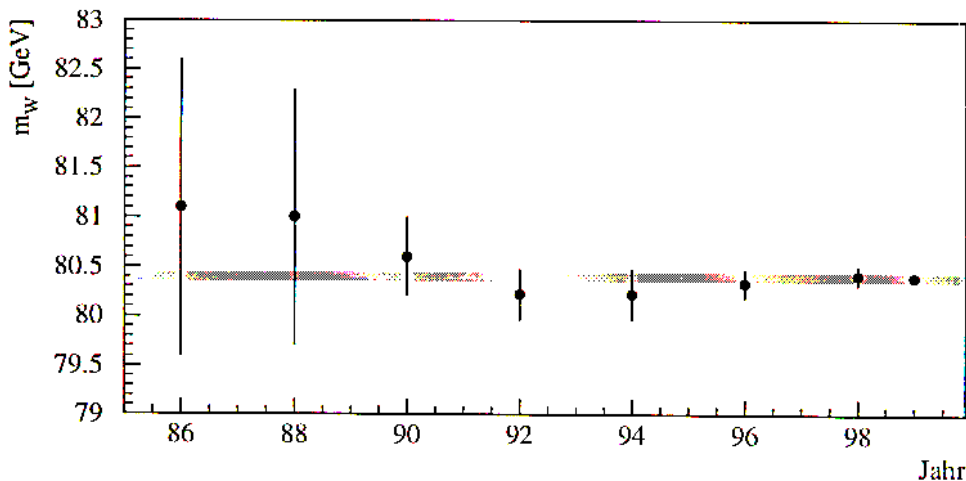
direkte Bestimmungen:

W-Boson Masse [GeV]



Gesamtfehler unter 50 MeV!

Historische Entwicklung der Kenntnis von m_W

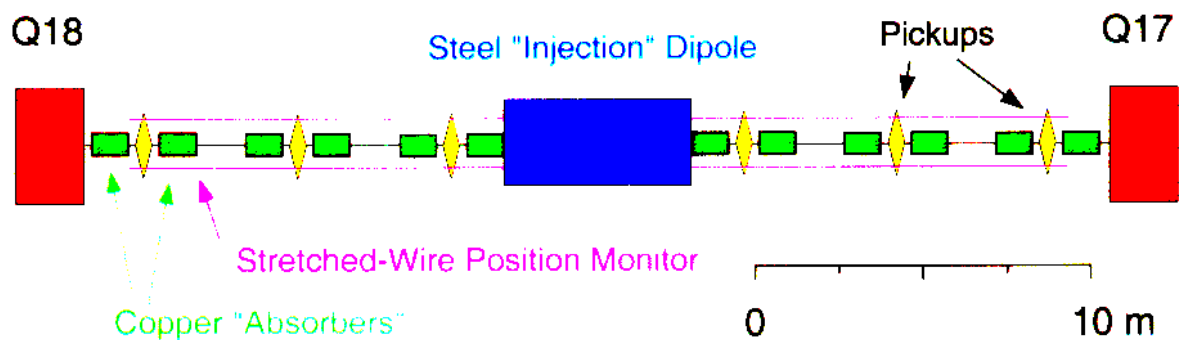


m_W mittlerweile auf $\approx \pm 500$ ppm bekannt!

LEP Spectrometer Project

Aim: to measure E_{bm} independent of NMR/Flux-loop

How: measure bend angle of e^- through well mapped dipole



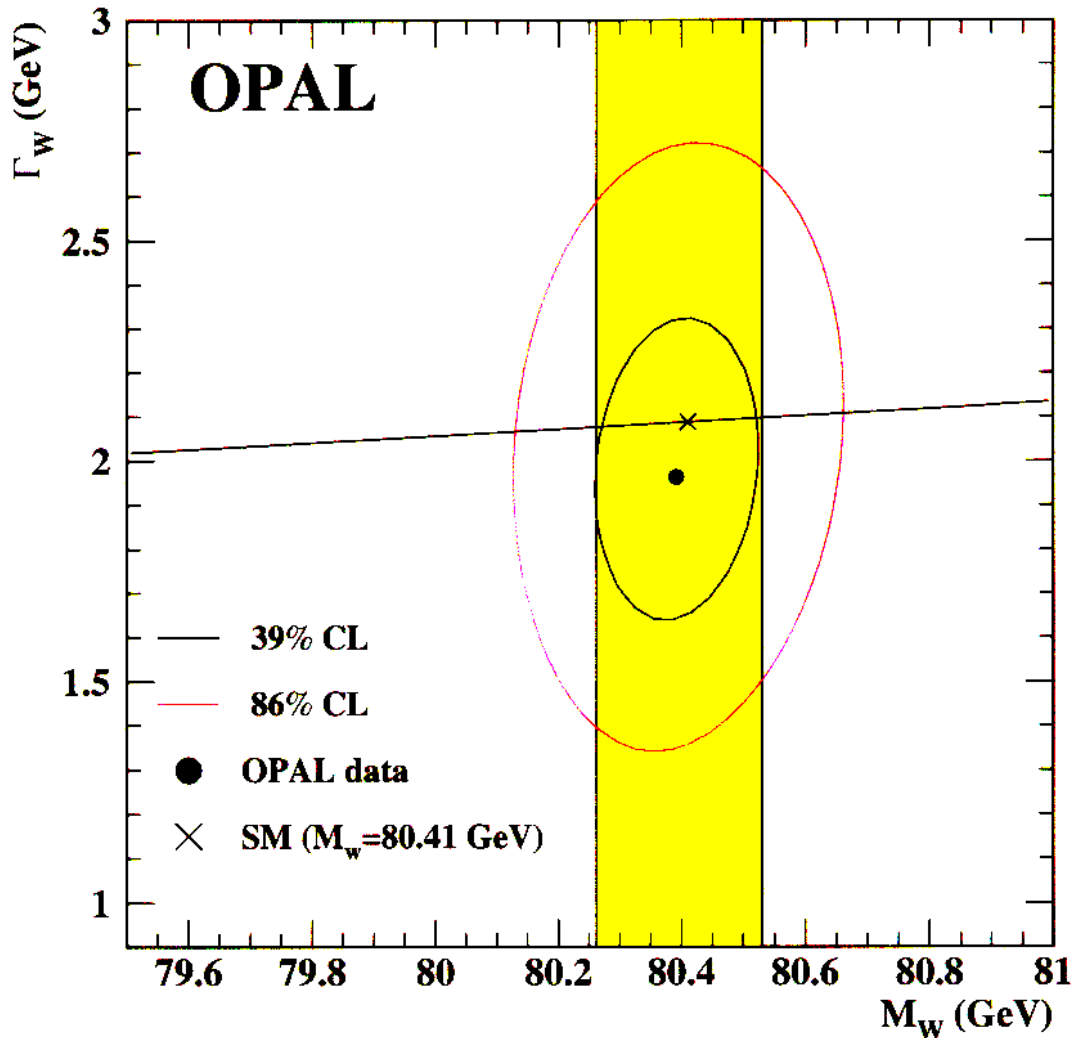
⇒ fully operational in 1999

⇒ expect precision on E_{bm} of ± 10 MeV

⇒ expect to be able to propagate improved understanding of extrapolation procedure to previous years

W-Breite Γ_w

wird aus simultanem Fit von m_w und Γ_w an Massenverteilungen bestimmt



LEP II:
(161-183 GeV)

$$\Gamma_w = 2.09 \pm 0.25 \text{ GeV}$$

SM:

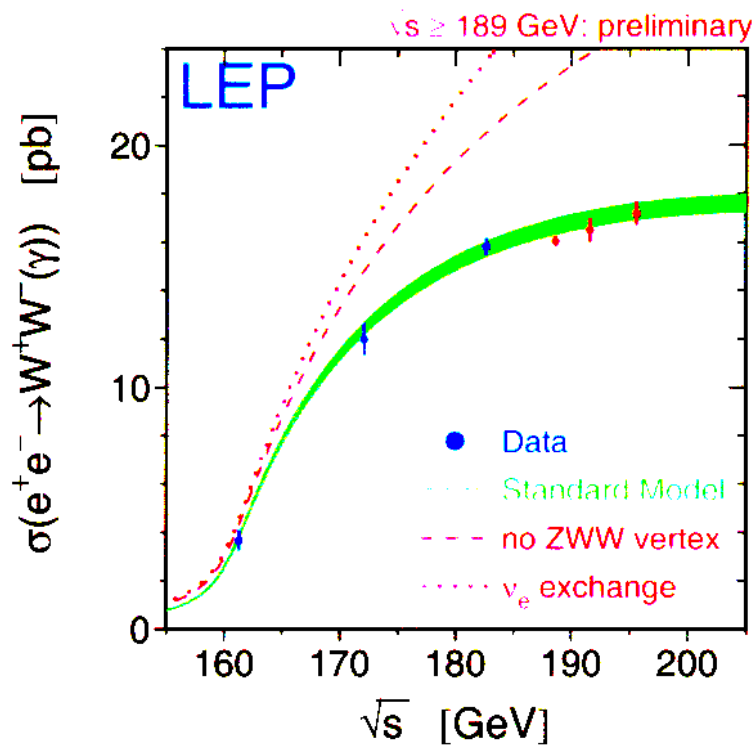
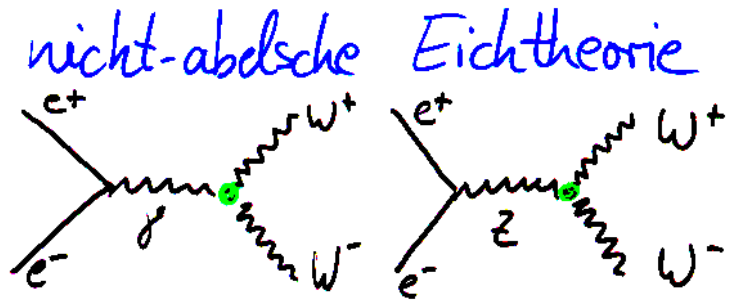
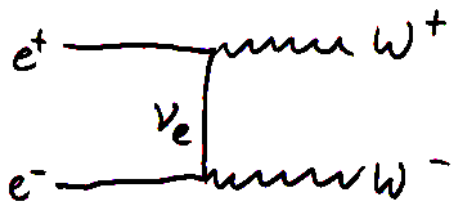
$$\Gamma_w = 2.08 \text{ GeV}$$

anomale

Kopplungen

Drei-Eichboson-Kopplungen

SM:



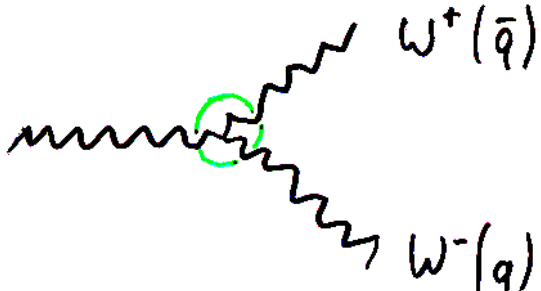
\Rightarrow indirekter Hinweis auf ZWW-Kopplung

beachte: Theorie ohne ZWW oder nur mit ν_e -Austausch verletzt Unitarität, da WQ mit \sqrt{s} immer weiter ansteigt

► Test der nicht-abelschen Struktur in ZWW- und γ WW-Kopplung

VWW-Kopplungen

Theoret. Beschreibung der VWW-Kopplung mit $V = \gamma \dot{z}$:
allgemeine Lorentz-invariante Vertexfunktion



The diagram shows a central vertex (a green circle) where a photon line (wavy) enters from the left with momentum p . Two W boson lines (zigzag) exit from the vertex: one upwards and to the right with momentum q and label $W^+(q)$, and one downwards and to the right with momentum \bar{q} and label $W^-(\bar{q})$.

$$V(p) = -ie g_{VWW} \Gamma_V^{\alpha\beta\mu}(q, \bar{q}, p)$$

Vertexfkt. $\Gamma_V^{\alpha\beta\mu}$ wird aus allen Lorentz-invarianten Kombinationen der Viererimpulse p, q, \bar{q} gebildet:

$$\begin{aligned} \Gamma_V^{\alpha\beta\mu} = & f_V^1 (q - \bar{q})^\mu g^{\alpha\beta} && P, CP, C \\ & - f_V^2 (q - \bar{q})^\mu p^\alpha p^\beta / m_W^2 && P, CP, C \\ & + f_V^3 (p^\alpha g^{\mu\beta} - p^\beta g^{\mu\alpha}) && P, CP, C \\ & + f_V^4 i (p^\alpha g^{\mu\beta} + p^\beta g^{\mu\alpha}) && P, CP, \cancel{C} \\ & + f_V^5 i \varepsilon^{\mu\alpha\beta\gamma} (q - \bar{q})_\gamma && \cancel{P}, CP, \cancel{C} \\ & - f_V^6 \varepsilon^{\mu\alpha\beta\gamma} p_\gamma && \cancel{P}, CP, C \\ & - f_V^7 (q - \bar{q})^\mu \varepsilon^{\alpha\beta\gamma\sigma} p_\gamma (q - \bar{q})_\sigma / m_W^2 && \cancel{P}, CP, C \end{aligned}$$

Dabei sind f_V^i die Formfaktoren, dimensionslose Funktionen von p^2

VWV-Kopplungen

Die Formfaktoren f_V^i können mit Operatoren in Beziehung gesetzt werden, die in der Lagrangedichte die VWV-Kopplung beschreiben.

$$f_V^1 = g_1^V + \frac{s}{2m_W^2} \lambda_V \quad \left. \begin{array}{l} SM \\ = \\ 1 \end{array} \right\}$$

$$f_V^2 = \lambda_V \quad \left. \begin{array}{l} SM \\ = \\ 0 \end{array} \right\}$$

$$f_V^3 = g_1^V + \kappa_V + \lambda_V \quad \left. \begin{array}{l} SM \\ = \\ 2 \end{array} \right\}$$

$$f_V^{4,5} = g_{4,5}^V \quad \left. \begin{array}{l} SM \\ = \\ 0 \end{array} \right\}$$

$$f_V^6 = \tilde{\kappa}_V - \tilde{\lambda}_V$$

$$f_V^7 = -\frac{1}{2} \tilde{\lambda}_V$$

7 Operatoren genügen, da 2 von 9 möglichen WW-Spin-kombinationen ein Gesamt-J $\neq 1$ für Boson V haben

Diese Struktur läßt sich auf die weiteren 3-Eichboson-Vertices übertragen:

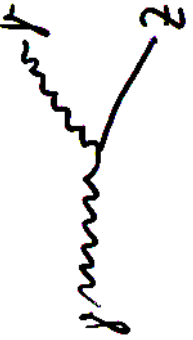


allg. Lorentzstruktur: 7 Kopplungen / Vertex

Auf jeden Fall: Anomale Kopplungen müssen für $\sqrt{s} \rightarrow \infty$ verschwinden, sonst ist Unitarität verletzt, d.h. σ_{WW} wächst über alle Maße

Dreifach Eichboson Vertices

Kopplungsparameter:



$$\delta_Z = \Delta g_1^2 \cot \theta_w$$

$$\kappa_Z = (\Delta \kappa_e - \Delta g_1^2) \cot \theta_w$$

$$\gamma_Z = \lambda_Z \cot \theta_w$$

$$\tilde{\kappa}_Y$$

$$\tilde{\lambda}_Z$$

$$g_4^Z$$

$$g_5^Z$$

$$\delta_Y = \Delta g_1^2$$

$$\kappa_Y = \Delta \kappa_Y$$

$$\gamma_Y = \lambda_Y$$

$$\tilde{\kappa}_Y$$

$$\tilde{\lambda}_Y$$

$$g_4^Y$$

$$g_5^Y$$

$$\left[\begin{array}{c} h_1^Y \\ h_2^Y \\ h_3^Y \\ h_4^Y \end{array} \right]$$

$$\left[\begin{array}{c} \gamma^* \gamma Z \\ \gamma^* \gamma Z \\ \gamma^* \gamma Z \\ \gamma^* \gamma Z \end{array} \right]$$

$$\left[\begin{array}{c} x \\ x \\ x \\ x \end{array} \right]$$

$$\left[\begin{array}{c} h_1^Z \\ h_2^Z \\ h_3^Z \\ h_4^Z \end{array} \right]$$

$$\left[\begin{array}{c} \gamma Z^* Z \\ \gamma Z^* Z \\ \gamma Z^* Z \\ \gamma Z^* Z \end{array} \right]$$

$$\left[\begin{array}{c} f_4^Y \\ f_5^Y \\ x \end{array} \right]$$

$$\left[\begin{array}{c} x \\ x \\ x \\ x \end{array} \right]$$

$$\left[\begin{array}{c} Z^* Z^* Z \\ Z^* Z^* Z \\ Z^* Z^* Z \\ Z^* Z^* Z \end{array} \right]$$

$$\left[\begin{array}{c} f_4^Z \\ f_5^Z \\ x \end{array} \right]$$

$$\left[\begin{array}{c} Z^* Z Z \\ Z^* Z Z \\ Z^* Z Z \end{array} \right]$$

$$\left[\begin{array}{c} Z Z Z \\ Z Z Z \\ Z Z Z \end{array} \right]$$

- dabei ist "Δ" die Abweichung vom SM-Wert

Beschränkungen der VWW-Kopplungen

2×7 Kopplungen: zuviel, um simultan gemessen zu werden

Annahmen zur Parameterreduktion:

• C-, P- und CP-Invarianz \rightarrow 6 freie Parameter

• elektr. W-Ladung = $\pm 1e$ \rightarrow 5

$$\Leftrightarrow g_{\gamma WW} = 1$$

$$\Leftrightarrow \delta_{\gamma} = \Delta g_1^{\gamma} = 0$$

\Rightarrow 5 Parameter $\delta_Z = \Delta g_1^Z \cot \theta_w, \Delta K_{\gamma}, \Delta K_{Z1}, \lambda_{\gamma}, \lambda_Z$ (alle $\stackrel{SM}{=} 0$)

als Mono-, Di- und Quadrupolterme L_0, L_1, L_2

in Ww-Lagrangedichte L ("Δ" = Abweichung vom SM-W)

$$\begin{aligned} L_{\text{eff}} = & L_0^{\gamma WW} \times 1 & + L_0^{Z WW} & \times (\cot \theta_w + \Delta g_1^Z \cot \theta_w) \\ & + L_1^{\gamma WW} \times (1 + \Delta K_{\gamma}) & + L_1^{Z WW} & \times (\cot \theta_w + \Delta K_2 \cot \theta_w) \\ & + L_2^{\gamma WW} \times \lambda_{\gamma} & + L_2^{Z WW} & \times \lambda_Z \cot \theta_w \end{aligned}$$

Weiterhin:

• $SU(2) \times U(1)$ Eichinvarianz \rightarrow 3 frei Parameter

$$\Delta K_2 = \underline{\Delta g_1^Z} - \underline{\Delta K_{\gamma}} \cdot \tan^2 \theta_w$$

$$\lambda_Z = \lambda_{\gamma} \equiv \underline{\lambda}$$

Interpretation der (verbliebenen) Kopplungen

Betrachte elektromagn. statische Eigenschaften des W

E1 W -Ladung $Q_W = e \cdot (1 + \Delta g_1^Y)$

M2 magn. Dipolmoment $\mu_W = \frac{e}{2m_W} (2 + \Delta \kappa_Y + \Delta g_1^Y + \lambda_Y)$

E4 elektr. Quadrupolmom. $q_W = -\frac{e}{m_W^2} (1 + \Delta \kappa_Y - \lambda_Y)$

Freie Parameter: $\left. \begin{array}{l} \underline{\Delta g_1^Z} \leftrightarrow \Delta g_1^Y \\ \underline{\Delta \kappa_Z} \leftrightarrow \Delta \kappa_Y \\ \underline{\lambda_Z} \leftrightarrow \lambda_Y \end{array} \right\} SM = 0$

Ersetzung: $Y \rightarrow Z$ in elektromagn. Momenten
→ "schwache Momente"

Zur Erinnerung: anomales magn. Dipolmom. des Protons
→ (Quark)-Substruktur des Protons

→ z.B. (alternativere Schreibweise)

anomale Momente durch anomale Higgskopplungen

an Eichfeld B mit Parameter $\alpha_{B\phi} = \Delta \kappa_Y - \Delta g_1^Z \cos^2 \theta_W$

an Eichfeld \vec{W} mit Parameter $\alpha_{W\phi} = \Delta g_1^Z \cos^2 \theta_W$

und Quadrupol-Kopplung $\alpha_W = \lambda$

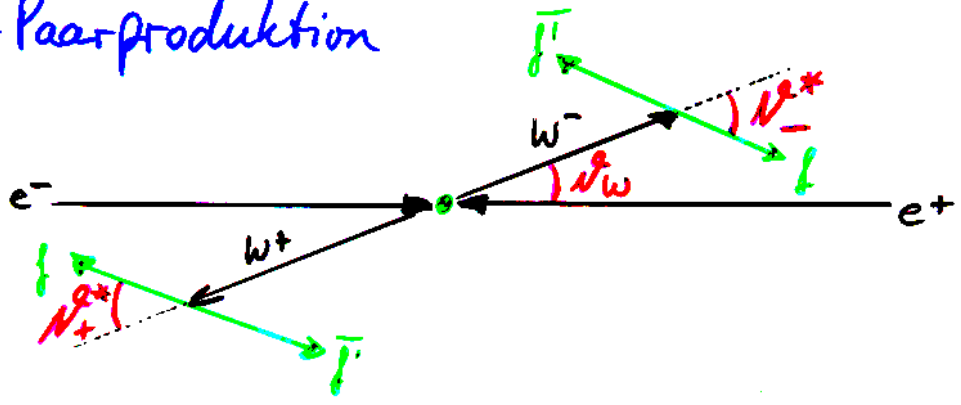
Meßgrößen für anomale Kopplungen

... für alle $W \rightarrow f\bar{f}'$ Kanäle

- Wirkungsquerschnitte : quadrat. Abhängigkeit von Kopplungsparametern

... und speziell

- bei W -Paarproduktion



und ϕ_{\pm}^*
außerhalb
der Ebene

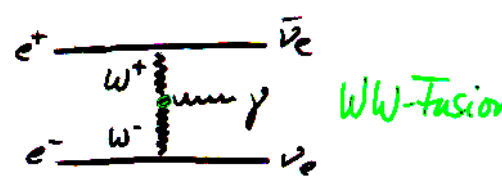
- ▷ Polarwinkel θ_w des W^-
- ▷ Polar- und Azimutwinkel der Leptonen im W -Ruhesystem ($\theta_{\pm}^*, \phi_{\pm}^*$)

5 Winkel

→ Änderung der W -Polarisation

- bei Produktion einzelner γ 's

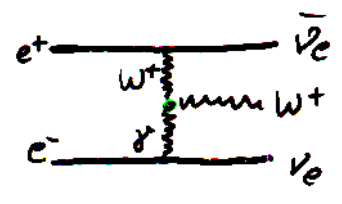
- ▷ Energiespektrum und Polarwinkel



WW-Fusion

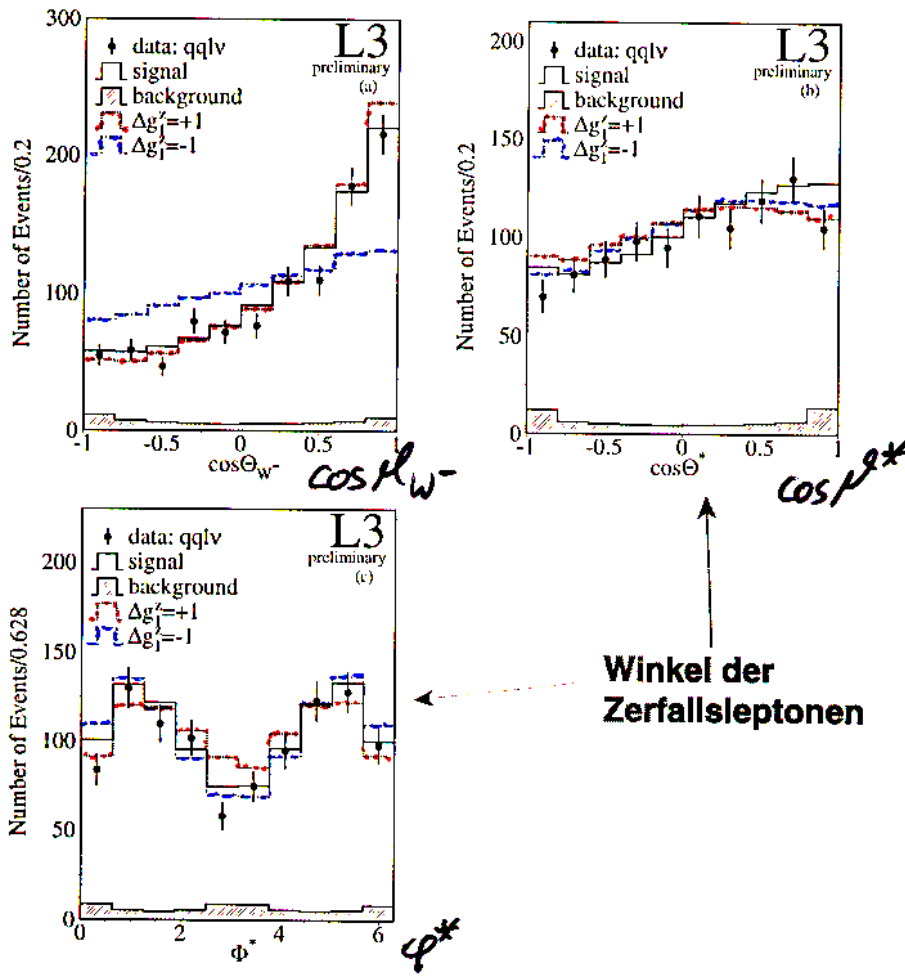
- bei Produktion einzelner W 's

- ▷ Lepton-Energiespektrum bei $W \rightarrow l\nu$



Drei-Eichbosonkopplung (TGC) in $W^+W^- \rightarrow q\bar{q}l\nu$

- Alle Winkel auf leptonischer Seite bekannt
(Auflösungssteigerung durch kinematische Fits mit Energie- & Impulserhaltung und m_W -Bedingung)
W-Ladung folgt aus Leptonladung



- Faltung der Winkel θ_q^* und ϕ_q^* auf hadron. Seite, da Quarkladung durch Hadronjet verschleiert \rightarrow Ambiguität
 $(\cos \theta_{jet}^*, \phi_{jet}^*) \leftrightarrow (-\cos \theta_{jet}^*, \phi_{jet}^* + \pi)$

$\Rightarrow WW \rightarrow q\bar{q}l\nu$ liefert die meiste Information

Dreifach-Eichbosonkopplung (TGC) in $W^+W^- \rightarrow q\bar{q}q\bar{q}$

- Jet paarung für korrekte Zuordnung zu W-Bosonen erforderlich (kinemat. Fit mit Energie- & Impulserhaltung und m_W -Bedingung)
korrekte Paarung in 75-85%

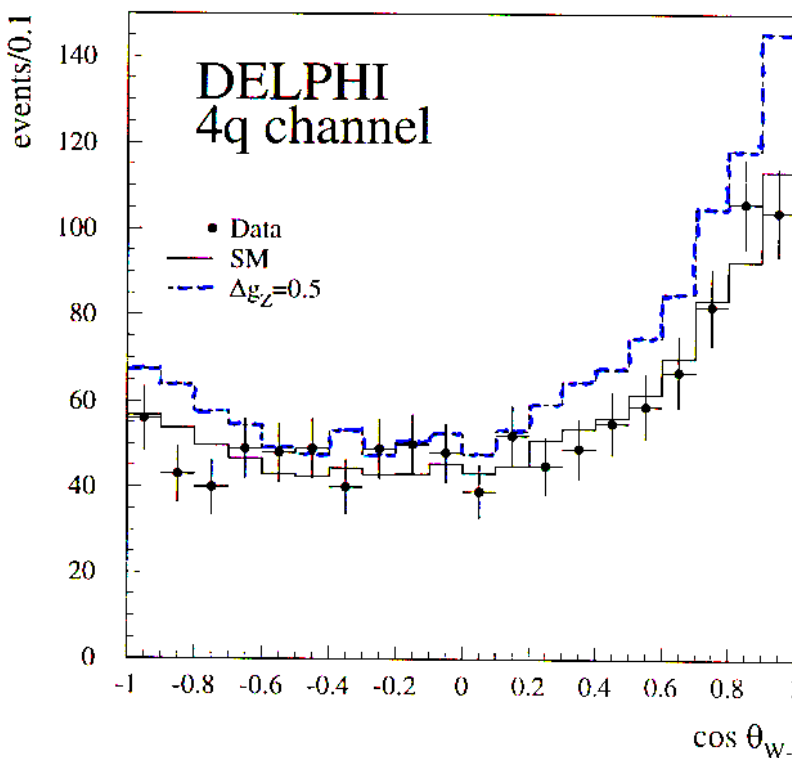
- W-Ladung mittels Jetladung

$$Q_{jet} = \frac{\sum Q_i |p_i|^k}{\sum |p_i|^k} ; k \approx 0.5$$

$$Q_W = Q_{jet1} + Q_{jet2}$$

Korrekte Ladung in 70-80%

- Vollständige Faltung der Zerfallswinkel, da Quarkladung verschleiert
Ambiguität: $(\cos \vartheta_{jet}^*, \varphi_{jet}^*) \leftrightarrow (-\cos \vartheta_{jet}^*, \varphi_{jet}^* + \pi)$
 \Rightarrow nur $\cos \vartheta_W$ meßbar

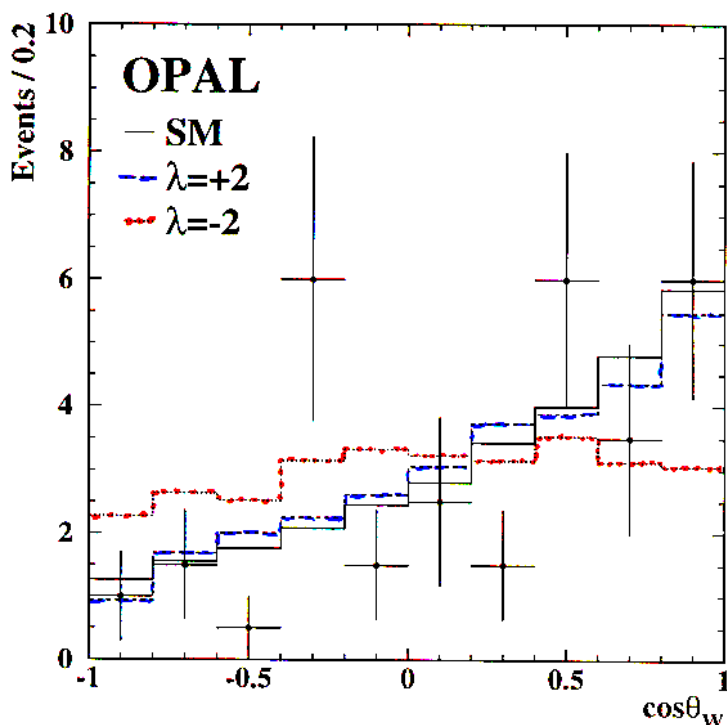


⊕ hohe Statistik

⊖ nur in $\approx 60\%$ der Fälle korrekte Rekonstruktion

Drei-Eichbosonkopplung (TGC) in $W^+W^- \rightarrow l^+\nu l^-\bar{\nu}$

- Alle Winkel zugänglich
 ... in on-shell W-Näherung ($\Gamma_W=0$) und ohne ISR
 ... nur Events mit $l=e$ oder μ
- Quadrat. Zwangsbedingung für m_W : $m_W^2 = 2E_l E_\nu (1 - \cos\theta(l,\nu))$
 und $\Sigma(\vec{p}, E) = (\vec{0}, \sqrt{s})$
- ⇒ 2-fache Ambiguität in $\cos\theta_W, \varphi_+^*, \varphi_-^*$
- jedes Event liefert 2 Einträge mit Gewicht 0.5 in Verteilungen



- ⊕ einziger Kanal, der φ_+^* und φ_-^* Bestimmung erlaubt
- ⊖ kleine Statistik $\mathcal{B}(WW \rightarrow l\nu l\nu) \approx 11\%$

anomale Kopplungen aus diff. WQ $\frac{d\sigma}{d\Omega}$

bestimmbar mittels

- gebinnte max. Likelihood

Fit der erwarteten $(\theta_w, \theta_{\pm}^*, \varphi_{\pm}^*)$ -Verteilung als Funktion der anomalen Kopplung β_i an Daten + Effizienz, Auflösung, Untergrund

- Optimale Observablen

$$\frac{d\sigma}{d\Omega} = S^{(0)}(\Omega) + \sum_i \beta_i S_i^{(1)}(\Omega) + \sum_{ij} \beta_i \beta_j S_{ij}^{(2)}(\Omega)$$

mit $\Omega = (\cos\theta_w, \cos\theta_{\pm}^*, \varphi_{\pm}^*)$

$$\Rightarrow \sigma_i^{(1)} = \frac{S_i^{(1)}(\Omega)}{S^{(0)}(\Omega)}, \quad \sigma_{ij}^{(2)} = \frac{S_{ij}^{(2)}(\Omega)}{S^{(0)}(\Omega)}$$

d.h. Projektion der 5 kinemat. Variablen auf 1 Observable, die alle relevanten Informationen enthält

\Rightarrow gebinnter max. Likelihood-Fit an Verteilung von σ (NB. σ ist eine komplizierte Funktion der β_i)

- Spin-Dichte-Matrizen

misst zusätzlich die Polarisation der W 's

nach Summ.
über W^+ :

$$S_{\tau\tau'}(\cos\theta_w) = \frac{\sum_{\lambda} F_{\tau}^{(\lambda)} F_{\tau'}^{(\lambda)*}}{\sum_{\lambda, \tau} |F_{\tau}^{(\lambda)}|^2}$$

mit W^- -Helizität

$$\Rightarrow \tau = +1$$

$$\uparrow \tau = 0$$

$$\Leftarrow \tau = -1$$

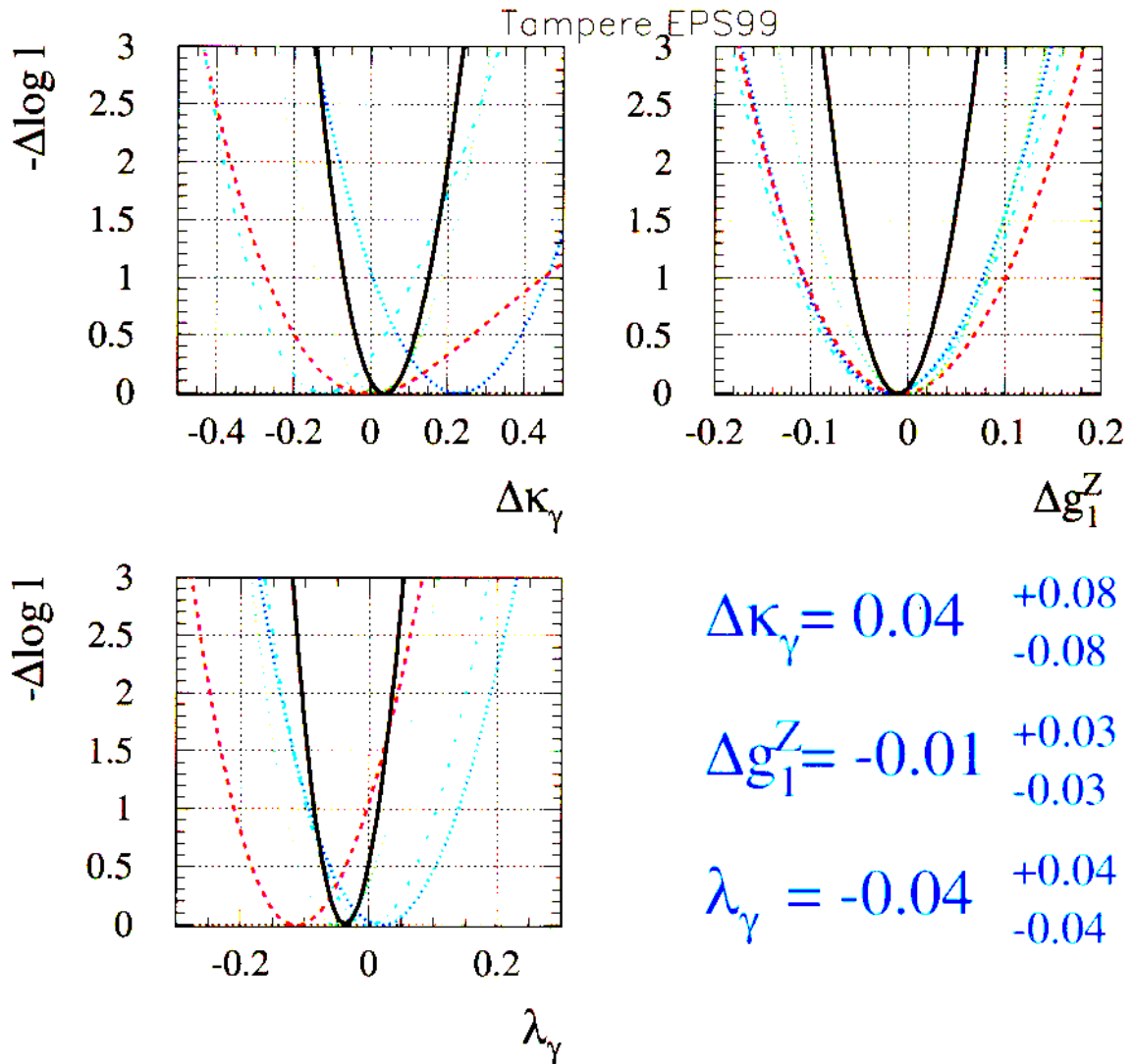
$F \sim W$ -Produktionsamplituden

und e^- -Spin λ

anomale Kopplungen

1D-Fit: zwei anomale Kopplungen = SM, dritte fitten

ALEPH + DELPHI + L3 + OPAL

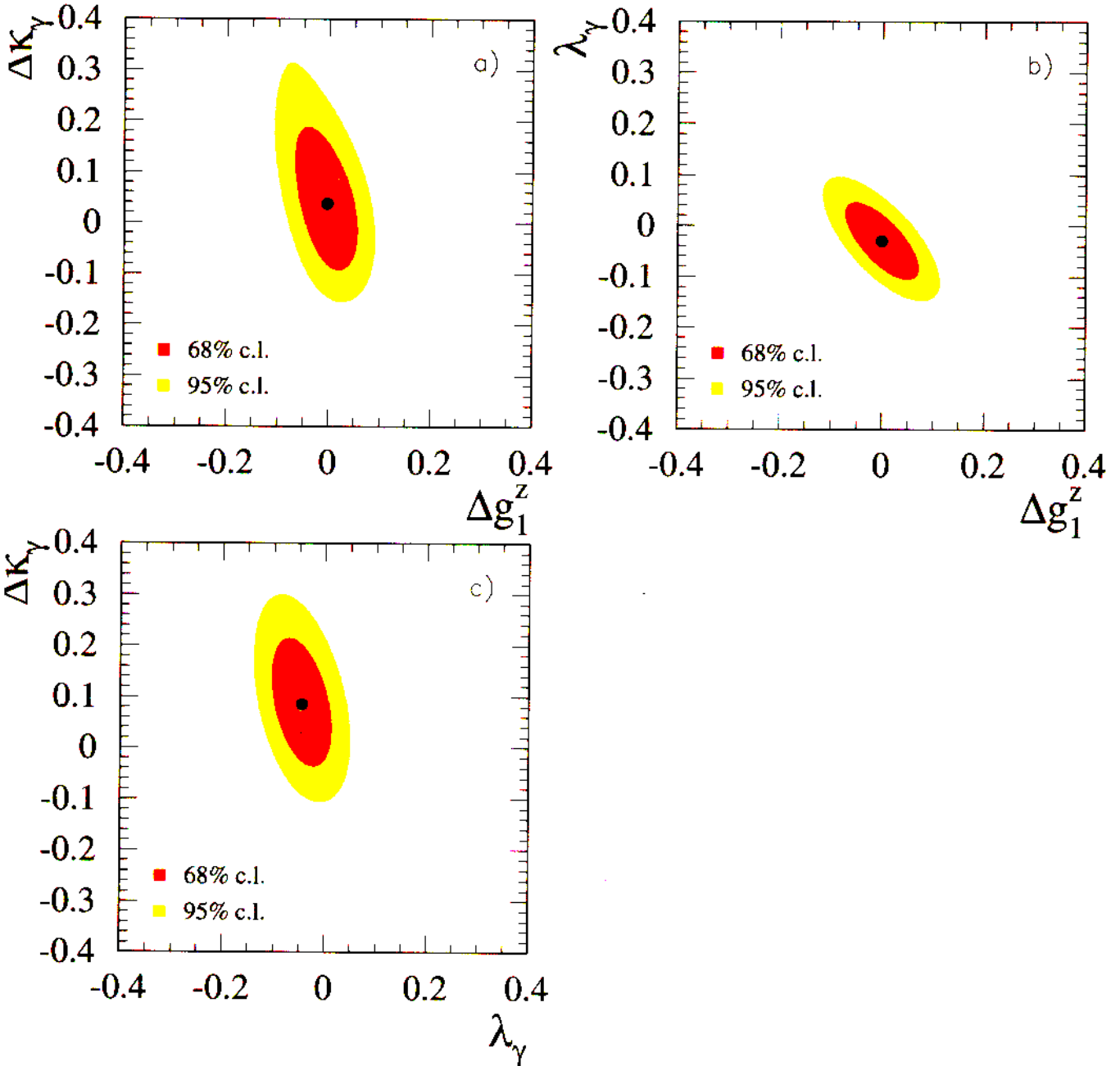


LEP-Kombination i.w. Addition der Log-Likelihood-Kurven, denn statistische Meßfehler sind dominant und korrelierte systematische Fehler sind klein

anomale Kopplungen

2D-Fit: eine anomale Kopplung = SM, übrige fitten

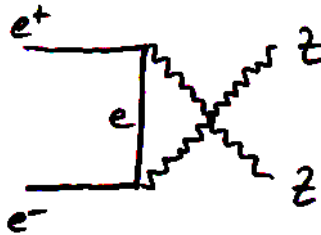
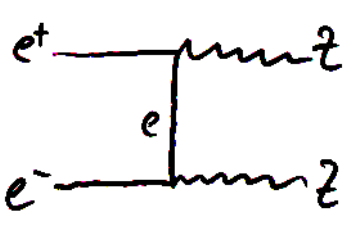
LEP combined 189 GeV TGC fit



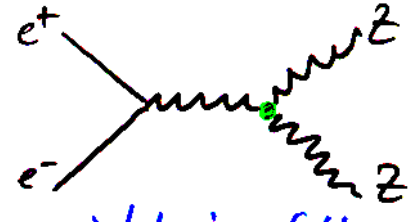
⇒ keine Anzeichen für anomale Kopplungen
ZWW-Kopplung existiert!

ZZ-Produktion

oberhalb von $\sqrt{s} \approx 2m_z$ findet Z-Paarproduktion statt

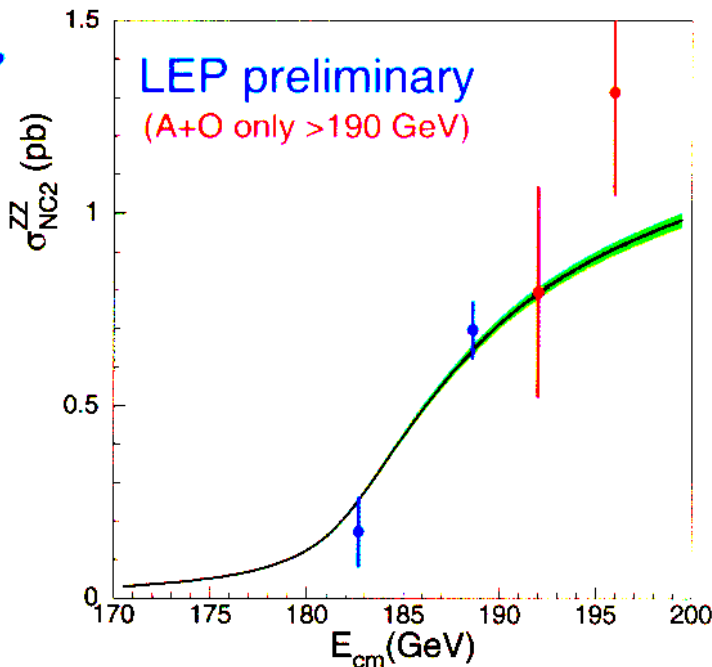
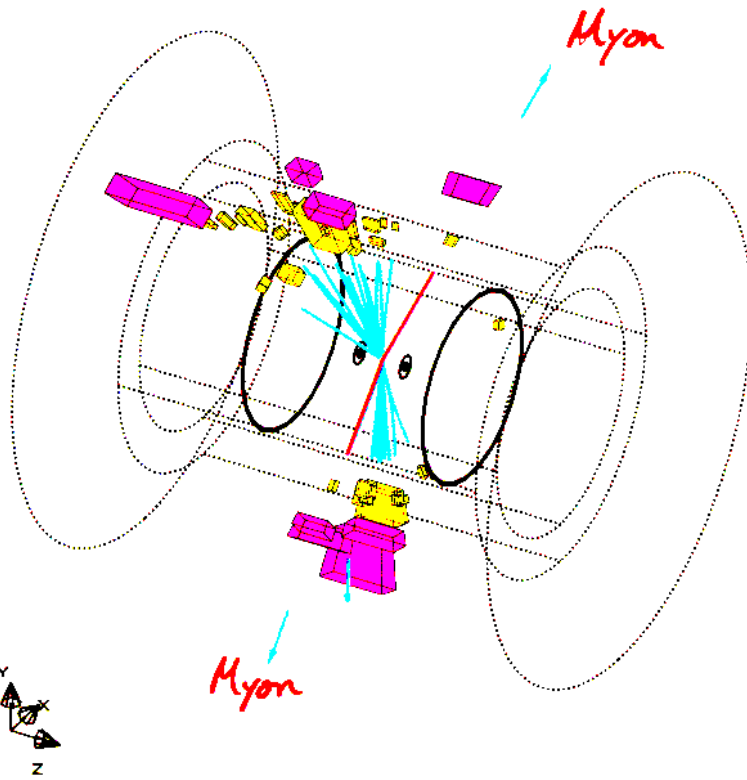


NC02-Graphen



nicht im SM
(\rightarrow anomale Kopplungen)

Hand event 11100: 0000 ... 01111X ... 00 5000 1111 01 0011X ... 00 5000 10 00
 Hand event 11100: 0000 ... 01111X ... 00 5000 1111 01 0011X ... 00 5000 10 00



- Produktion wie vom SM erwartet
- erste Untersuchungen anomaler Kopplungen mit negativem Resultat

SM in Σ

Zustand des Standard-Modells

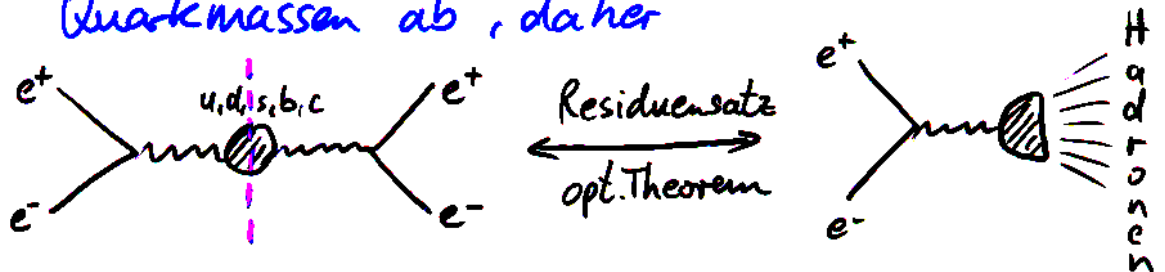
- Status quo: Alles in Übereinstimmung mit SM in Tests mit höchster Präzision
- Konsistenz direkter und indirekter m_W -Bestimmungen
 - ▷ indirekt aus G_F -Relation

$$m_W^2 = \underbrace{\frac{\pi \alpha_{em}}{\sqrt{2} G_F \sin^2 \theta_W}}_{\text{Born-Term}} \cdot \underbrace{\frac{1}{1 - \Delta r}}_{\text{Schleifenkorrekturen}} \quad \text{und} \quad \sin^2 \theta_W = 1 - \frac{m_W^2}{m_Z^2}$$

▷ Schleifenkorrekturen

□ QED: $\gamma \rightarrow \gamma = \text{tree} + \text{loop}^{e,\mu,\tau} + \text{loop}^{u,d,s,b,c,t}$

hadronischer Beitrag hängt von schlecht bekannten Quarkmassen ab, daher



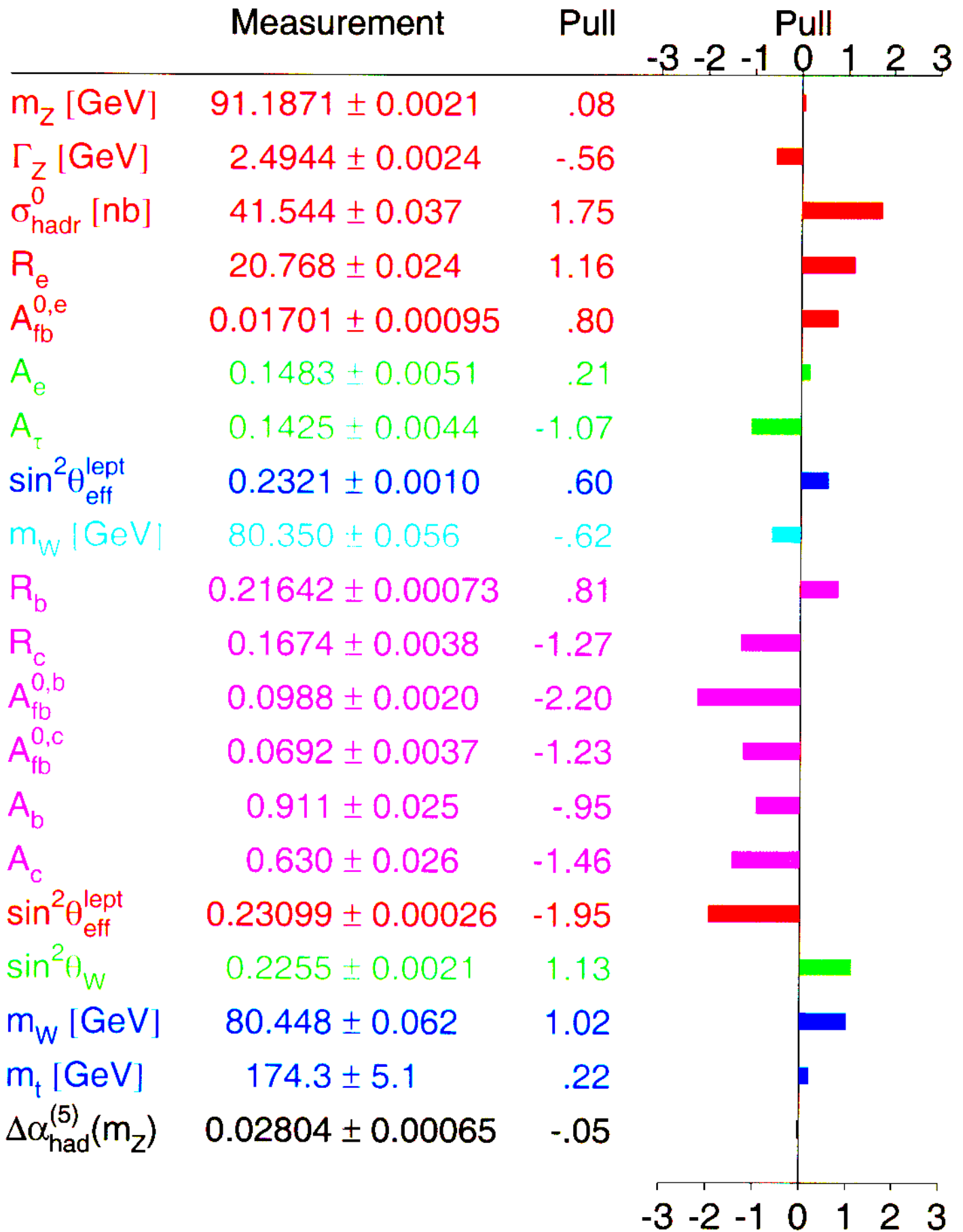
□ elektroschwach: $W^+ \rightarrow W^+ \text{ loop } W^+$, $W \rightarrow W \text{ loop } H$, $W \rightarrow W \text{ loop } H$

top-Quarkmasse und Higgs-Bosonmasse liefern relevante Korrekturen

⇒ Vergleich: $m_W^{\text{direkt}} \leftrightarrow m_W^{\text{indirekt}}$ testet Schleifenkorrekturen
 außerdem: Informationen über Higgs-Bosonmasse

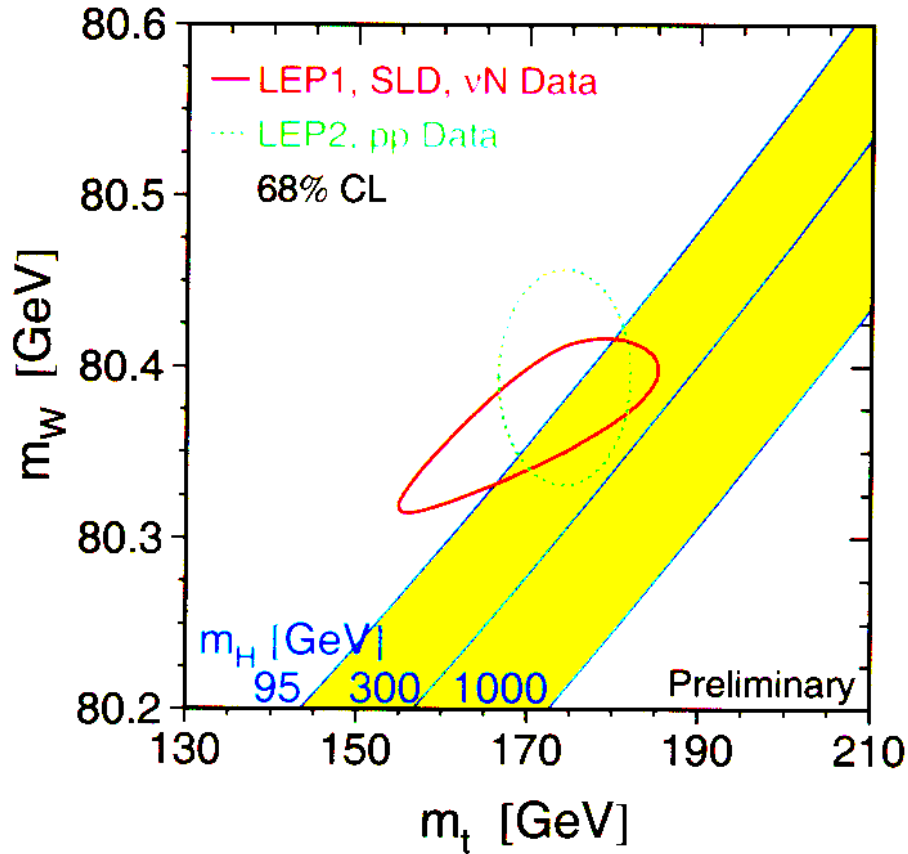
Resultate des SM-Fits

Stanford 1999



Vergleich: indirekte \leftrightarrow direkte m_W, m_{top}

m_W ^{indirekt} aus G_F -Relation im Standard Modell

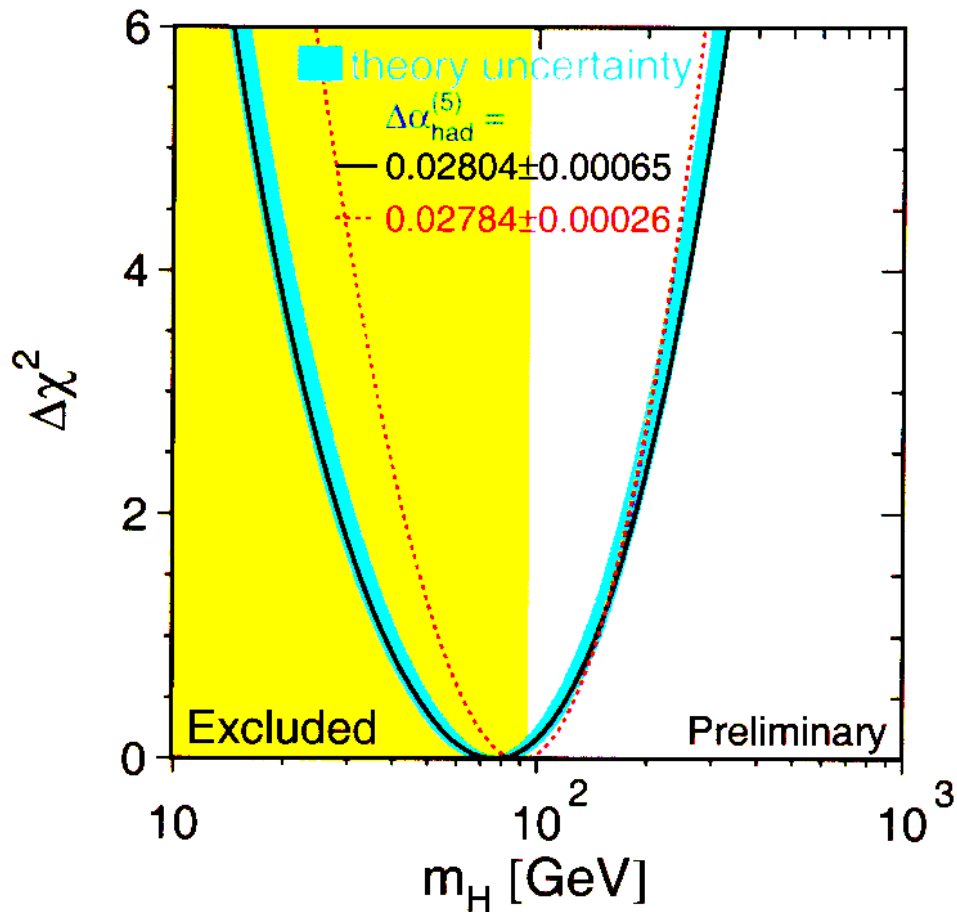


\Rightarrow Konsistenz!

	indirekt	direkt
m_W	$80.356 \pm 0.035 \text{ GeV}$	$80.394 \pm 0.042 \text{ GeV}$
m_{top}	$167 \pm \begin{matrix} 12 \\ 9 \end{matrix} \text{ GeV}$	$174.3 \pm 5.1 \text{ GeV}$

Higgs-Bosonmasse aus indirekten Messungen

insbesondere m_W und $\sin^2\theta_W$ sind von m_H abhängig



⇒ Fit ergibt :

$$m_H = 92 \pm \begin{matrix} 78 \\ 45 \end{matrix} \text{ GeV}$$

⇒ $m_H < 215 \text{ GeV}$ als 95% obere Grenze

direkte Suche :

$m_H \gtrsim 95 \text{ GeV}$ als 95% untere Grenze

Wenn SM OKAY, dann muß Higgs-Boson leicht sein!

Entdeckung bei LEP II noch möglich ?!

HIGGS

Higgs-Boson im SM

W^\pm und Z -Eichbosonen erhalten Masse durch den "Higgs-Mechanismus" (Weinberg und Salam 1967)

d.h. spontane Symmetriebrechung (SSB) von $U(1) \times SU(2)$ durch ein neues (von Hand eingeführtes) skalares Feld (Higgs), das im energetisch tiefsten Zustand von Null verschieden ist und den Gesamt-Kosmos zu allen Zeiten mit einem Vakuumsfeld $v = \text{const.} \neq 0$ ausfüllt

SSB: Grundgesetze (Lagrangedichte, Feldgleichungen) sind symm., die speziellen betrachteten Lösungen sind nicht symmetrisch

Higgsfeld koppelt an Leptonen, Quarks und die Eichfelder \vec{W}_μ, B_μ . Leptonen und Quarks erhalten Masse dadurch, daß sie im Vakuum-Higgsfeld eine "potentielle Energie" haben

$$\text{z.B. fürs Elektron } f_e \frac{v}{\sqrt{2}} \bar{\psi}_e \psi_e = m_e \bar{\psi}_e \psi_e \Rightarrow m_e = f_e \frac{v}{\sqrt{2}}$$

Die Yukawa-Kopplung f_e und der Vakuumerwartungswert v des Higgsfeldes können nicht berechnet werden

Die Eichbosonmassen sind durch die Kopplungskonstanten g_W und g_Z gegeben:

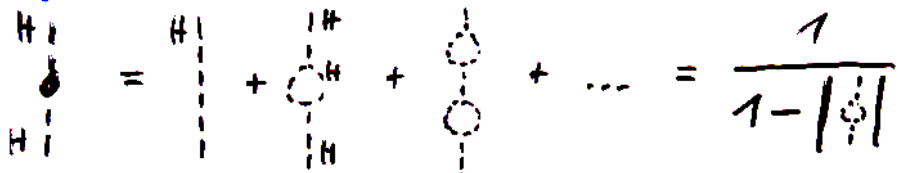
$$m_W = g_W \cdot \frac{v}{2} \quad ; \quad m_Z = g_Z \cdot \frac{v}{2}$$

Theoretische Massengrenzen fürs Higgs-Boson

Higgs-Masse: $m_H = v \cdot \sqrt{2\lambda}$

wobei die quartische Kopplung λ ein freier Parameter ist

- Obere Grenze für m_H aus Laufen der Kopplung λ

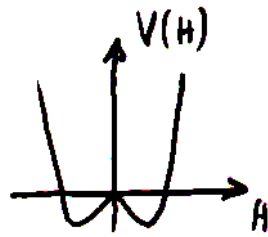
betrachte: 

$$\Rightarrow \lambda(\mu^2) = \frac{\lambda(v^2)}{1 - \frac{3}{4\pi^2} \lambda(v^2) \ln(2\mu^2/v^2)}$$

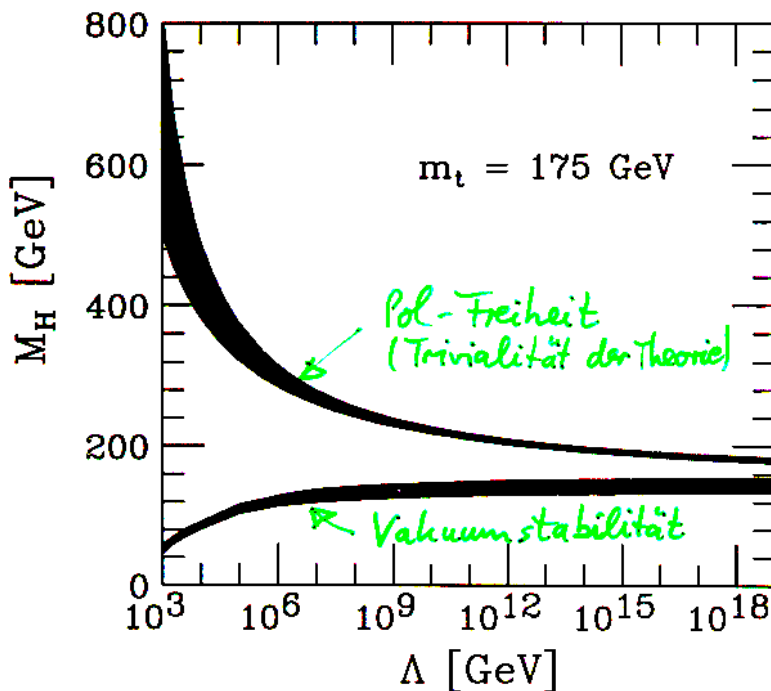
Hat Landau-Pol für $\mu \equiv \Lambda = \frac{v}{\sqrt{2}} \exp\left(\frac{4\pi^2}{3\lambda}\right)$
(Analog zum Landau-Pol der QED & QCD)

$$\Rightarrow m_H < \Lambda$$

- Untere Grenze aus Vakuumstabilität
d.h. es gibt kein Minimum im Higgs-Potential, das niedriger liegt als das elektroschwache Minimum



}=>



=> für $m_H \approx 160-180$ GeV
könnte SM bis zur
Skala der Gravitation
 $\Lambda_{\text{Planck}} = 10^{19}$ GeV gelten

Higgs-Produktion in e^+e^- -Vernichtung

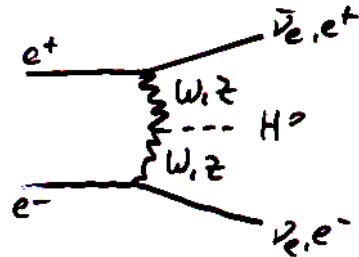
SU-Higgs:

- dominant durch Higgs-Strahlung produziert

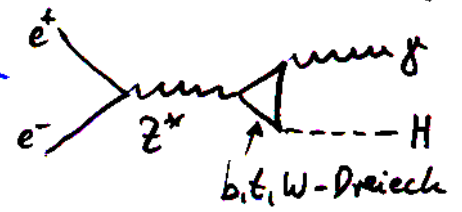


hat kinematische Grenze bei $m_H \approx \sqrt{s} - m_Z$

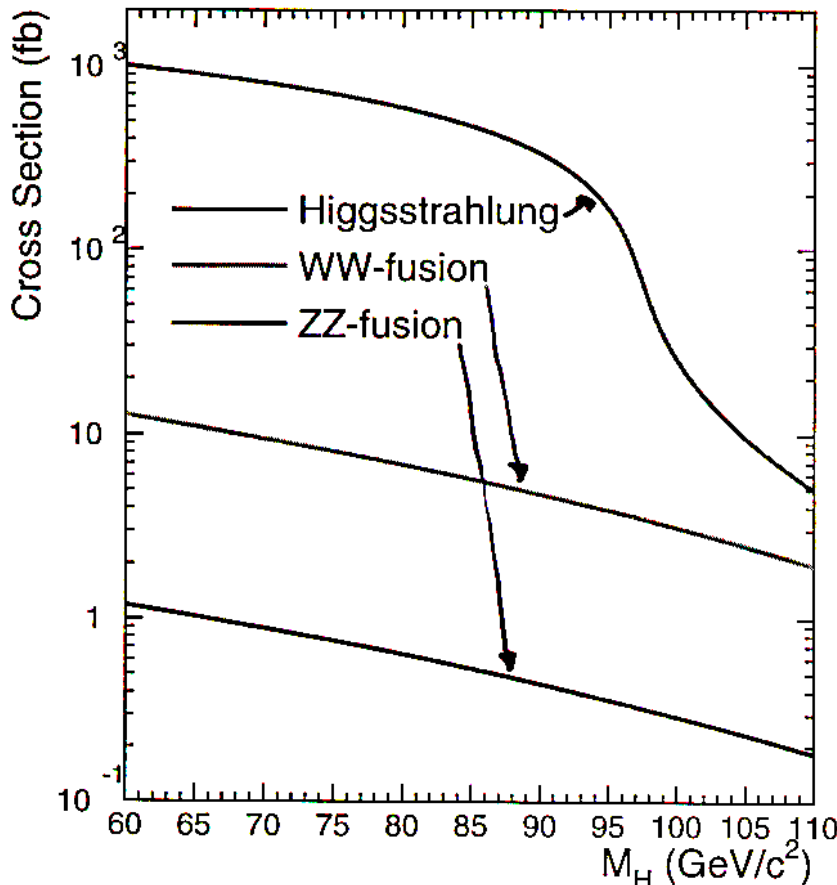
- kleinere Beiträge durch WW- und ZZ-Fusion ohne kinemat. Grenze



- kleinere Beiträge durch $H\gamma$ -Produktion



⇒ z.B. für $m_H = 95 \text{ GeV}$ @ $\sqrt{s} = 200 \text{ GeV}$



Eigenschaften des Higgs-Bosons

- SM-Higgs: partielle Zerfallsbreite

$$\Gamma(H \rightarrow f\bar{f}) = \frac{G_F}{4\pi\sqrt{2}} \cdot m_f^2(m_H) \cdot m_H \cdot N_c \cdot (1 + S_{\text{QCD}})$$

\uparrow Farbfaktor $\begin{cases} = 1 \text{ Leptonen} \\ = 3 \text{ Quarks} \end{cases}$

$m_f(m_H)$ ist die Fermionmasse bei m_H -Energieskala

z.B. $m_\tau = 1.78 \text{ GeV}$

$m_c(m_H) \approx 0.6 \text{ GeV}$

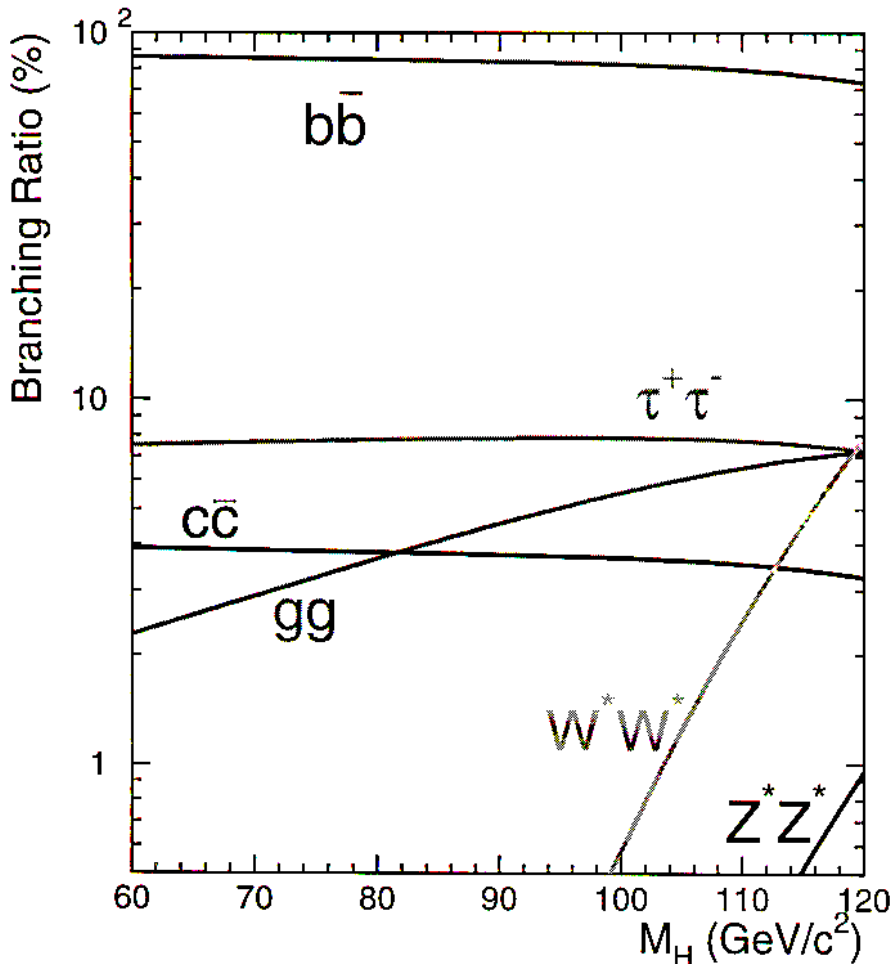
$m_b(m_H) \approx 2.9 \text{ GeV}$

} "laufende Quarkmassen"
(folgt später)

⇒ Verzweungsverhältnisse

dominante Zerfälle: $B(H \rightarrow b\bar{b}) \approx 85\%$

$B(H \rightarrow \tau^+\tau^-) = 8\%$



- totale Breite

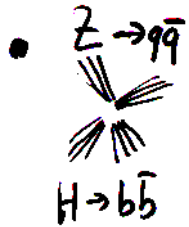
$$\Gamma_H \approx 8(10 \text{ MeV})$$

für $m_H \approx 100 \text{ GeV}$

Higgs-Suche: Topologien bei LEP

$HZ \rightarrow b\bar{b}q\bar{q}, b\bar{b}l^+l^-, b\bar{b}\nu\bar{\nu}$ und $b\bar{b}\tau^+\tau^- / \tau^+\tau^-q\bar{q}$
($l=e,\mu$)

BR = 61%, 6%, 17% und 8%

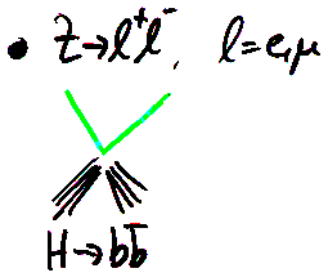


- ▷ 4-Jets
- ▷ Energie- & Impulserhaltung
- ▷ 2 b-Quarkjets gegenüber 2-Jetsystem mit Z-Masse
(→ kinemat. Fit)

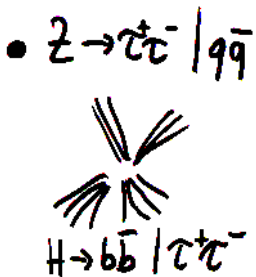
▷ Effizienz 30-40%, BR ≈ 61%



- ▷ Fehlende Energie
- ▷ 2 b-Quarkjets gegenüber Rückstoßmasse von m_Z
- ▷ Effizienz 30-40%, BR ≈ 17%



- ▷ 2 energiereiche Leptonen mit Masse von m_Z gegenüber 2-Jetsystem
- ▷ klarer Kanal mit 50-60% Effizienz, BR ≈ 6%



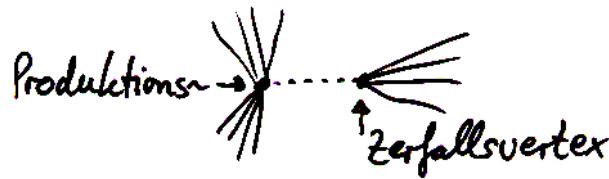
- ▷ 2 τ -Jets gegenüber 2-Jetsystem
- ▷ eines der 2-Jetsysteme mit Masse von m_Z
- ▷ Effizienz ≈ 30%, BR ≈ 8%

b-Jet-Identifikation

... wichtig, um Higgs-Boson im LEP zugänglichen Massenbereich zu identifizieren

Erheblicher Aufwand für b-Jet-Identifikation betrieben:

- Sekundärvertices: b-Hadronlebensdauer $\approx 1.5 \text{ ps}$
→ Fluglängen von mehreren Millimeter



Außerdem: hohe Masse des Vertex

- Impaktparameter: Teilchenspuren aus Zerfällen extrapolieren nicht auf Produktionsvertex zurück



kürzester Abstand zum Produktionsvertex = Impaktparameter

- Zerfallslepton mit hohem Transversalimpuls p_T zur Jetachse
Zerfall: $b \rightarrow c l \nu$, $l = e, \mu$ erhält Lepton großen Transversalimpuls



aufgrund der Massendiff. von b- und c-Quark

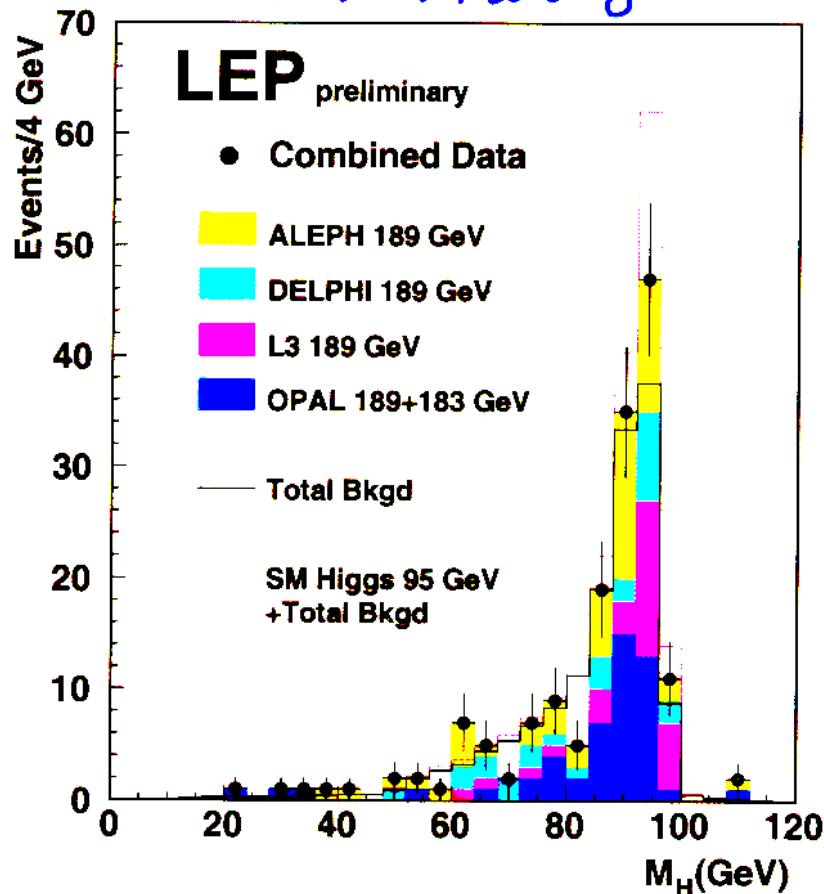
- Fragmentation → kinemat. Größen:

z.B. Impulsspektrum der b-Zerfallsprodukte etwas zu geringeren Impulsen verschoben wegen: $b \rightarrow c \rightarrow s$ Kaskade

Alle Informationen in Neuronalen Netzen und Likelihood-Fits vereint $\Rightarrow \approx 50\%$ Effizienz bei $\approx 8\%$ Verunreinigung

Massenverteilung der Higgs-Kandidaten

Man findet Kandidaten für HZ mit einer Massenverteilung



Untergrund aus $q\bar{q}(\gamma)$, \underline{ZZ} , W^+W^- , $W^\pm e^\mp \nu_e$, $Z e^+ e^-$, ...

↑
irreduzibel

und

während

und

für $m_H = 95 \text{ GeV}$ und $\sqrt{s} = 196 \text{ GeV}$

$$B(ZZ \rightarrow b\bar{b}f\bar{f}) \approx 22\%$$

$$\sigma(e^+e^- \rightarrow ZZ) \approx 0.8 \text{ pb}$$

$$B(HZ \rightarrow b\bar{b}f\bar{f}) \approx 85\%$$

$$\sigma(e^+e^- \rightarrow HZ) \approx 0.3 \text{ pb}$$

→ kein Anzeichen für Higgs-Produktion

Ein Higgs-Kandidat

Run: event10168: 36533

Crk(N= 14 SumP=120.8) Ecal(N= 45 SumE= 48.6)

Ebeam 94.111 Vtx (-0.03, 0.07, -0.15)

Had(N=25 SumE= 19.8) Muon(N= 2)

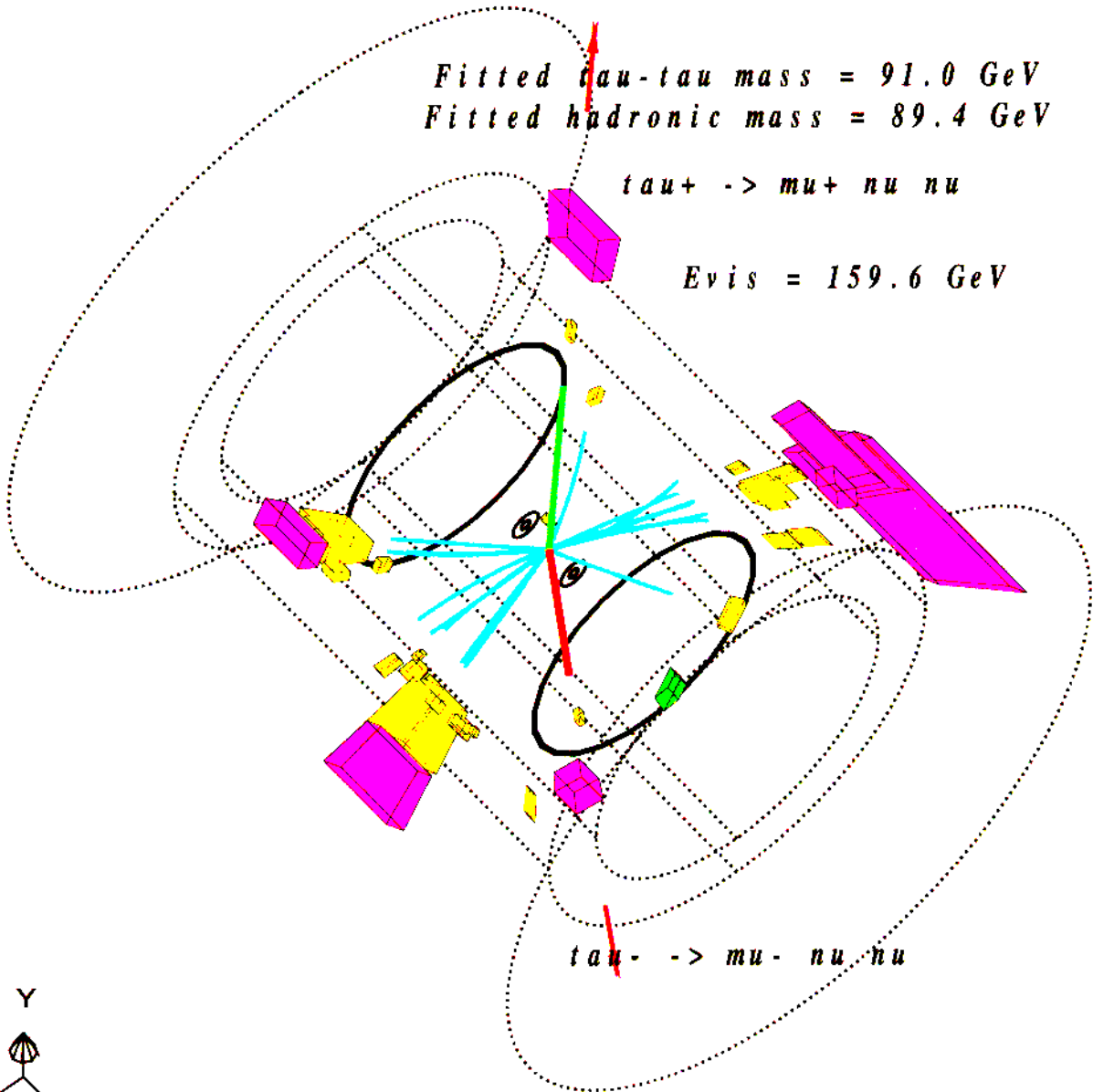
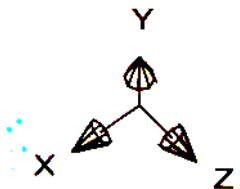


Fitted tau-tau mass = 91.0 GeV
Fitted hadronic mass = 89.4 GeV

tau+ -> mu+ nu nu

Evis = 159.6 GeV

tau- -> mu- nu nu



Higgs-Massengrenze

- übliche Methode:

Wenn $N_{\text{erwartet}}(m_H) \geq N_{95}(m)$, dann H-Boson mit Masse $m \leq m_H$ mit 95% CL ausgeschlossen

N_{95} berechnet sich aus N_{beob} und $N_{\text{Untergr.}}$, wobei

- ▶ Poisson-Statistik des Untergrundes

- ▶ und systematische Unsicherheiten

berücksichtigt werden; $N_{\text{erwartet}} = \sigma_{\text{erwartet}}(m_H) \cdot \int \mathcal{L} dt \cdot \varepsilon(m_H)$

- erwartete Grenze:

Abschätzung der experimentellen Sensitivität auf Higgs-Boson mit Masse m_H :

"Gedanken"-Untergrund-Experimente und "Messung" der CL-Werte.

Sensitivität eines Experiments in Abhängigkeit von m_H :

$$\langle CL_{\text{signal}}(m_H) \rangle := \langle 1 - CL(m_H) \rangle$$

Erwartetes Limit ist m_H mit $\langle CL_{\text{signal}}(m_H) \rangle = 5\%$

⇒ Vergleichbarkeit verschiedener Experimente

Erinnerung: Poisson-Statistik und CL

Poisson-Statistik: kleine Ereigniszahlen

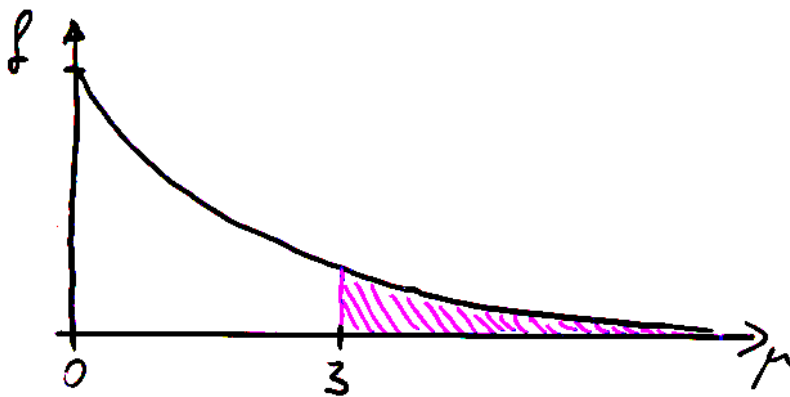
Wahrscheinlichkeitsdichte-Funktion

$$f(\mu, r) = \frac{\mu^r e^{-\mu}}{r!}$$

μ : Erwartungswert; r : Beobachtung ($r=0,1,2,\dots$)

z.B. für $r=0$ (kein beobachteter Kandidat):

$$f(\mu) = e^{-\mu}$$

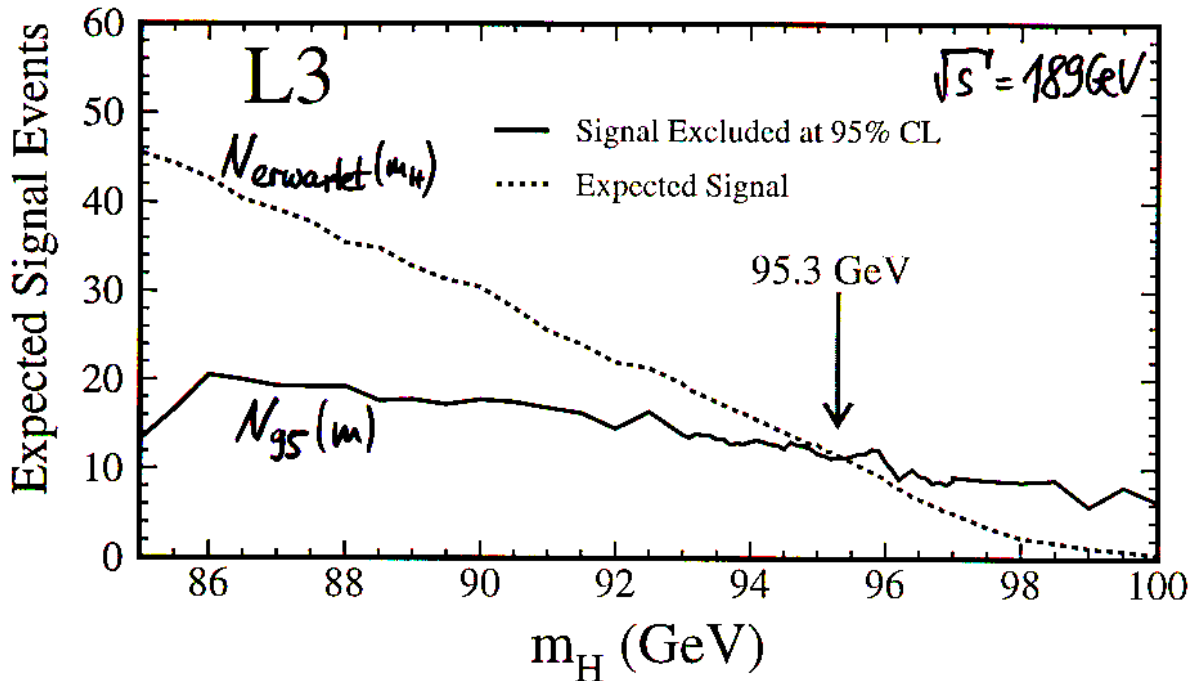


Für $\mu=3$ ist $f(\mu) \approx 0.05$

⇒ 5% Wahrscheinlichkeit für $r > 3$ oder
95% Wahrscheinlichkeit für $r < 3$ (95% CL)

SM-Higgs-Massengrenzen

einzelnes Experiment



Kombination aller LEP-Experimente:

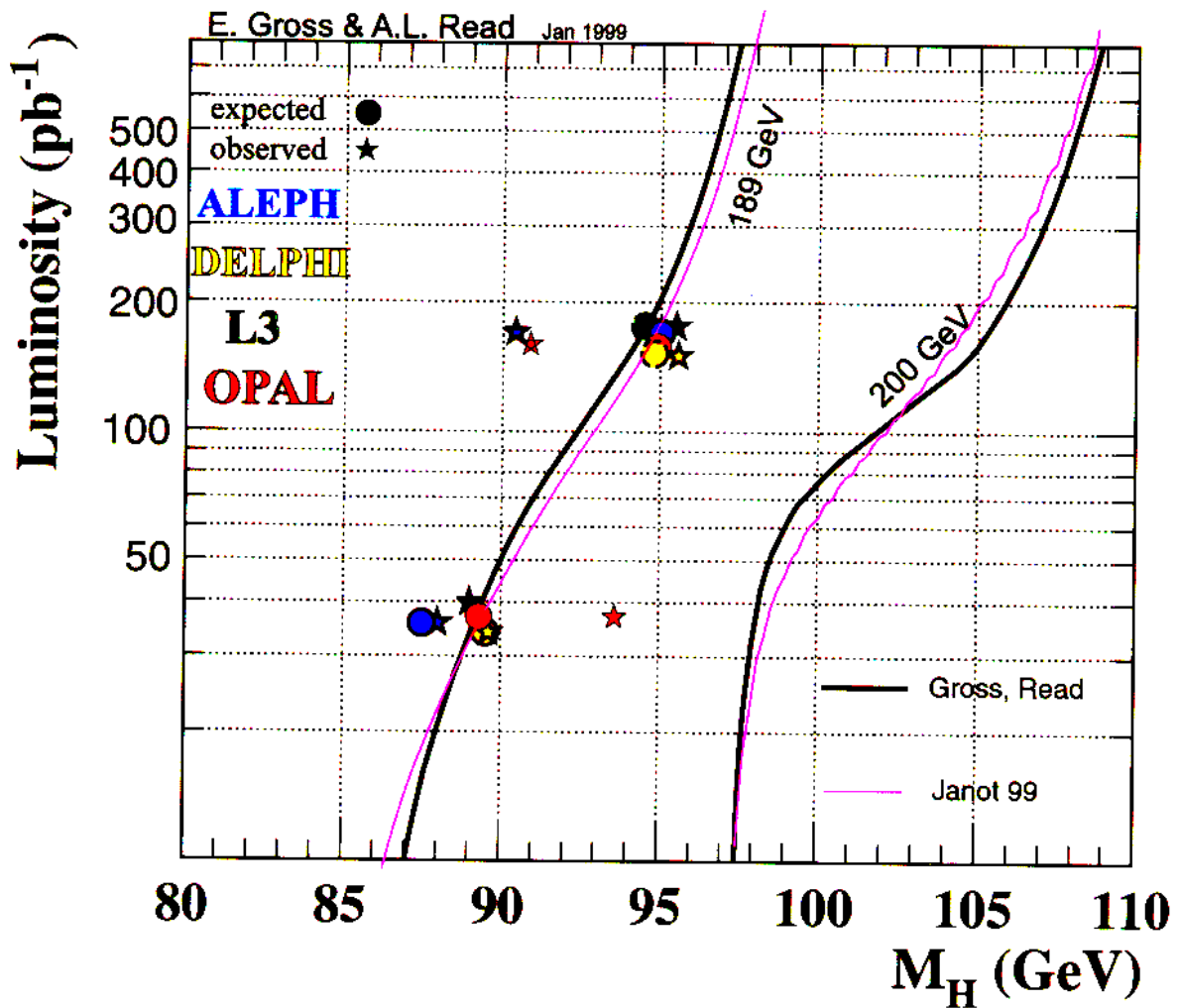
$$\sqrt{s} = 189 \text{ GeV} ; \int \mathcal{L} dt = 691 \text{ pb}^{-1}$$

$$\Rightarrow m_H > 95.2 \text{ GeV} @ 95\% \text{ CL}$$

(Sensitivität bis 97.2 GeV)

neu! LEP II bis 196 GeV $m_H > 102.5 \text{ GeV}$

SM-Higgs-Suche mit LEP in 1999/2000



bei $\sqrt{s} = 200 \text{ GeV}$ und $\int \mathcal{L} dt = 600 \text{ pb}^{-1}$ (alle Exp.)

⇒ Sensitivität auf Higgs-Boson bis

$$m_H \approx 108 \text{ GeV}$$

bedenke $m_H \approx 215 \text{ GeV}$ aus el. schwachem Fit

NB.: Höhere \sqrt{s} steigern Sensitivität mehr als
höhere $\int \mathcal{L} dt$ bei geringerem \sqrt{s}

SUSY

Über das SM hinaus: Supersymmetrie (SUSY)

Motivation für Erweiterungen des SM:

- Anzahl der freien Parameter im SM:

$\alpha_{em}, m_Z, m_W, m_H$	4	
m_f	9	(falls $m_\nu = 0$)
α_s	1	
CKM Matrix	$\frac{3+1}{}$	
	$\Sigma 18$	

+ möglicherweise weitere Parameter (Neutrinomassen, ~ Mischungsmatrix)

- und offene Fragen

- (1) Warum 6 Quarks und 6 Leptonen?
- (2) Ursprung der (Quark)-Flavourmischung und CP-Verletzung?
- (3) Vereinheitlichung der Wechselwirkungen und Gravitation?
- (4) Warum 3 Farben?

...

- SM ist nicht asymptotisch frei

$$\alpha_{em}(Q^2) = \frac{\alpha_{em}(\mu^2)}{1 - \frac{\alpha_{em}(\mu^2)}{3\pi} \ln \frac{Q^2}{\mu^2}}$$

hat Pol bei $Q = \mu \cdot \exp\left(\frac{3\pi}{\alpha_{em}}\right) \sim 10^{550} \text{ GeV}$

jenseits der Planckmasse $m_{Pl} = \sqrt{\frac{\hbar c}{G_N}} \simeq 10^{19} \text{ GeV}$

→ SM: Approximation einer fundamentalen Theorie bei kleinen Energien?

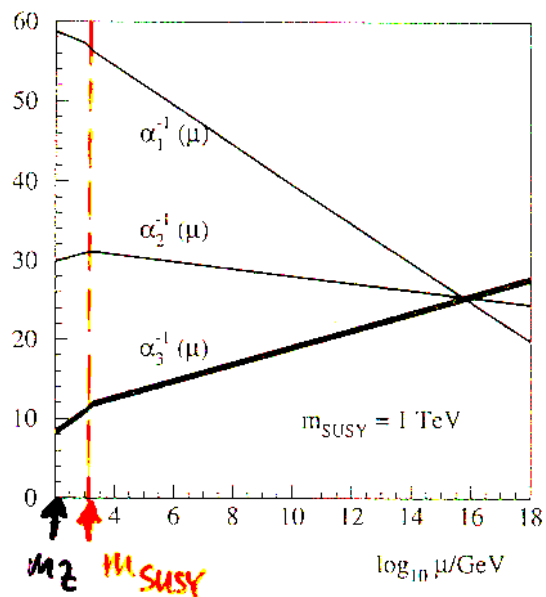
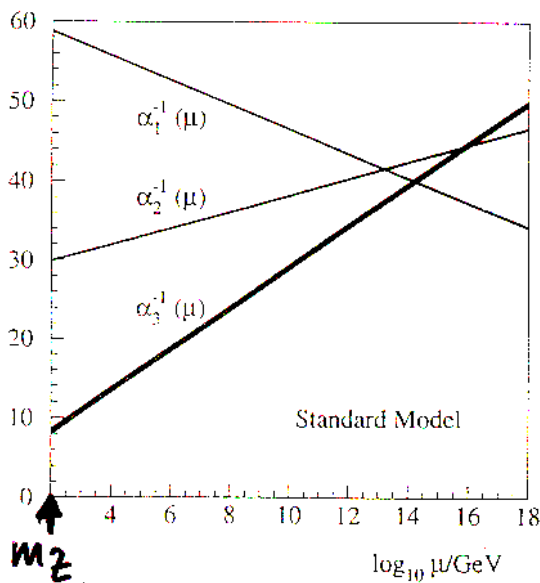
Vereinheitlichung der Kopplungen bei GUT-Skala

renormierte Kopplungen des SM sind energieabhängig,
berechenbar durch Renormierungsgruppen-Gleichung (RGE)

Parametrisierung der SM-Kopplungskonst. für eine
GUT (große vereinheitlichte Theorie):

$$\alpha_1 = \frac{5}{3} \frac{\alpha_{em}}{\cos^2 \theta_w} ; \quad \alpha_2 = \frac{\alpha_{em}}{\sin^2 \theta_w} ; \quad \alpha_3 = \alpha_s$$

J. Munch / Physics Reports 271 (1996) 181-266



Vereinigung der Kopplungen durch geeignete zusätzl. Schwelle

Anpassung: Vereinigung bei $10^{16 \pm 1} \text{ GeV}$

Schwelle bei $10^{3 \pm 1} \text{ GeV}$

Schwelle $\hat{=}$ Skala der neuen physikalischen Prozesse (\leadsto Teilchen)

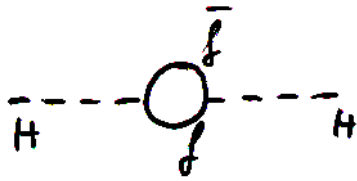
Hierarchie und Natürlichkeit

Neue Physik bei $\Lambda = m_{\text{GUT}} = 10^{16} \text{ GeV}$ oder bei $m_{\text{pl}} = 10^{19} \text{ GeV}$

Aber warum el. schwache Skala $m_W \ll m_{\text{GUT}}, m_{\text{pl}}$?

→ Hierarchie-Problem durch sehr unterschiedliche Massenskalen

Betrachte Fermionschleifenkorrekturen zum Higgs



$$\Rightarrow m_H^2(m_W) = m_H^2(\Lambda) + c g_W^2 \Lambda^2$$

Gilt generell in Modellen mit 1 fundamentalen Boson

Falls $m_H \ll \Lambda \Rightarrow$ Feinabstimmung der Parameter oder

$$c=0 \rightsquigarrow m_H(m_W) = m_H(\Lambda)$$

$$\Rightarrow \text{natürlicher Wert } m_H = \mathcal{O}(m_W)$$

Im SUSY ist $c=0$!

Fermionschleifen werden durch skalare Partner kompensiert

$$\text{und } \Lambda_{\text{susy}} \simeq 1 \text{ TeV}$$

SUSY

Vorteile:

- Sehr nah dem SM
- Löst das Hierarchie-Problem des SM
- Man kann die Theorie rechnen
- sagt viele neue Teilchen vorher
- ...


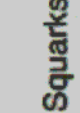

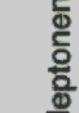

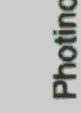



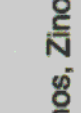


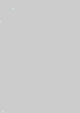

Struktur des minimal super-sym. SM (MSSM)

Teilchen:	Spin 0	Spin 1/2	Spin 1
	$\tilde{\ell}, \tilde{\nu}$ (skalare Leptonen)	ℓ, ν	
	\tilde{q} (skalare Quarks)	q	
		\tilde{g} (Gluino)	g
	H, h, A	$\tilde{\gamma}$ } mischen zu \tilde{H}, \tilde{Z} } Neutralinos \tilde{h} } $\tilde{\chi}^0_i$	γ Z
	H^\pm	\tilde{H}^\pm } mischen zu \tilde{W}^\pm } Charginos $\tilde{\chi}^\pm_j$	W^\pm

dabei $m(\tilde{\chi}_1^\pm) < m(\tilde{\chi}_2^\pm)$

und $m(\tilde{\chi}_1^0) < m(\tilde{\chi}_2^0) < m(\tilde{\chi}_3^0) < m(\tilde{\chi}_4^0)$

- mindestens zwei Higgs-Dubletts $\rightarrow 8-3=5$ Higgs-Teilchen
 H, h, A, H^+, H^-
- R-Parität ist erhalten $R = (-1)^{3B+L+2S}$
Baryon-, Leptonzahl, Spin
- \Rightarrow SUSY-Paarproduktion und leichtestes SUSY-Teilchen (LSP) stabil

<p>Quarks</p> 	<p>B $\frac{1}{3}$</p> <p>L 0</p> <p>S $\frac{1}{2}$</p> <p>R 2</p> <p>= 36 + L + 2S</p>	<p>Squarks</p>  <p>B $\frac{1}{3}$</p> <p>L 0</p> <p>S 0</p> <p>R 1</p>
<p>Leptonen</p> 	<p>B 0</p> <p>L 1</p> <p>S $\frac{1}{2}$</p> <p>R 2</p>	<p>Sleptonen</p>  <p>B 0</p> <p>L 1</p> <p>S 0</p> <p>R 1</p>
<p>Photon</p> 	<p>B 0</p> <p>L 0</p> <p>S 1</p> <p>R 2</p>	<p>Photino</p>  <p>B 0</p> <p>L 0</p> <p>S $\frac{1}{2}$</p> <p>R 1</p>
<p>Gluon</p> 	<p>B 0</p> <p>L 0</p> <p>S 1</p> <p>R 2</p>	<p>Gluino</p>  <p>B 0</p> <p>L 0</p> <p>S $\frac{1}{2}$</p> <p>R 1</p>
<p>W⁺-W⁻ und Z⁰-Teilchen</p> 	<p>B 0</p> <p>L 0</p> <p>S 1</p> <p>R 2</p>	<p>Winos, Zino</p>  <p>B 0</p> <p>L 0</p> <p>S $\frac{1}{2}$</p> <p>R 1</p>
<p>Graviton</p> 	<p>B 0</p> <p>L 0</p> <p>S 2</p> <p>R 4</p>	<p>Gravitino</p>  <p>B 0</p> <p>L 0</p> <p>S $\frac{3}{2}$</p> <p>R 3</p>
<p>Higgs-Teilchen</p> 	<p>B 0</p> <p>L 0</p> <p>S 0</p> <p>R 0</p>	<p>Higgsino</p>  <p>B 0</p> <p>L 0</p> <p>S $\frac{1}{2}$</p> <p>R 1</p>

MSSM - Parameter

beschreiben Massen, Wirkungsquerschnitte, Verzweigungs-
verhältnisse von Charginos und Neutralinos

- M_2 SU(2) Gauginomasse (\tilde{W}^\pm, \tilde{Z}) an el. schwachen Skala (m_w)
- $\tan\beta = \frac{v_2}{v_1}$ Verhältnis der Vakuumerwartungswerte der beiden Higgs-Dubletts
- μ Skala der Higgsino-Masse
- m_0 Massenskala der skalaren Fermionen $m_{\tilde{f}}(m_{\text{GUT}}) = m_0$
- A trilineare Kopplung

Parametersatz entspricht einem beschränkten SUSY-Modell (CMSSM), da Universalität der SUSY-Parameter an GUT (oder Supergravitations-) Skala angenommen wird

z.B. $m_{\tilde{f}}(m_{\text{GUT}}) = m_0$

Außerdem: R-Paritätserhaltung

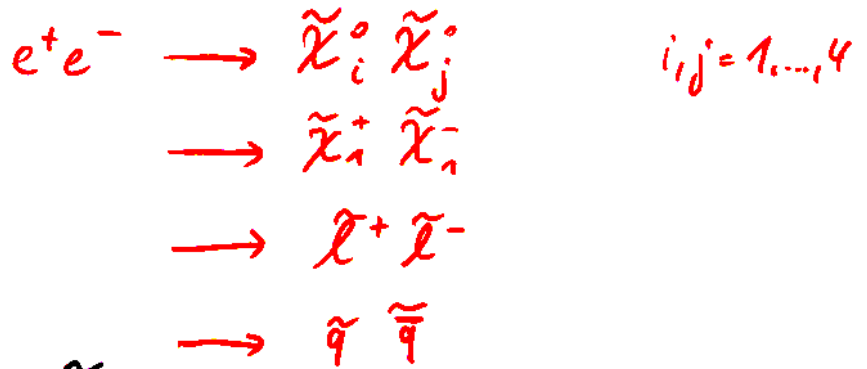
→ Leichtestes SUSY-Teilchen (LSP) ist stabil, neutral und trägt keine Farbe

→ LSP ist schwach wechselwirkend

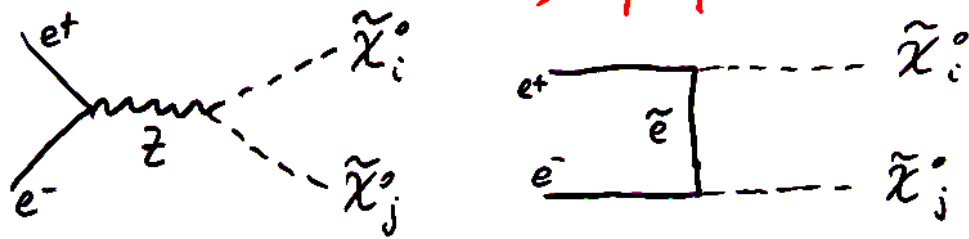
Kandidaten für LSP: $\tilde{\chi}_1^0$ oder $\tilde{\nu}$ oder Gravitino

Experimentelle Signaturen

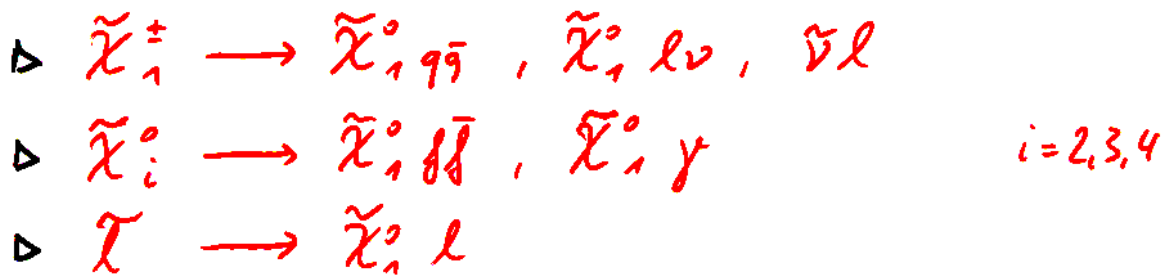
- SUSY-Produktion:



z.B.



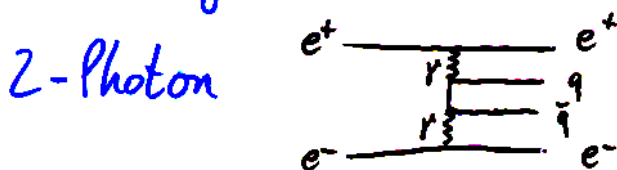
- Zerfall der SUSY-Teilchen:



wobei LSP ($\tilde{\chi}_1^0$) ähnlich wie Neutrinos ungesehen dem Detektor entkommt \rightarrow fehlende Energie & Impuls

- Signatur und Untergrund von $\Delta M = m_{\text{SUSY}} - m_{\text{LSP}}$ abhängig

- SM-Untergrund:



W-Paarproduktion, radiative 2-Fermion-Endzustände, ...

Resultat der SUSY-Suche

- keine Anzeichen für Produktion supersym. Teilchen bei LEP bis $\sqrt{s} = 196 \text{ GeV}$
- Anzahl der Kandidaten ist verträglich mit SM-Untergrund
- Grenzen auf Wirkungsquerschnitte und Massen
 - ▶ Obere Grenzen auf WQ für $e^+e^- \rightarrow \tilde{l}^+\tilde{l}^-, \tilde{\chi}^+\tilde{\chi}^-, \tilde{\chi}^0\tilde{\chi}^0, \dots$
braucht wenige Annahmen: Paarproduktion und Zerfall der supersym. Teilchen
 - ▶ Untere Grenzen auf Massen und Grenzen auf Modellparameter, d.i. Interpretation in einem Modell z.B. unter Nutzung der Beziehungen zwischen Massen, Modellparametern und Wirkungsquerschnitten

Prinzip: Scan des Parameterraumes

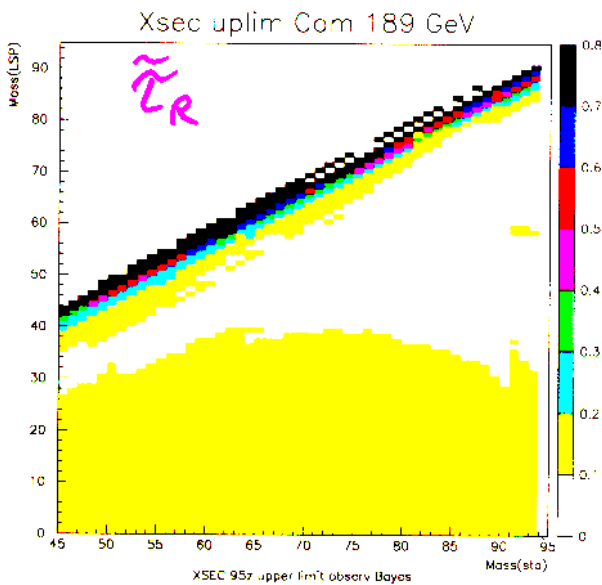
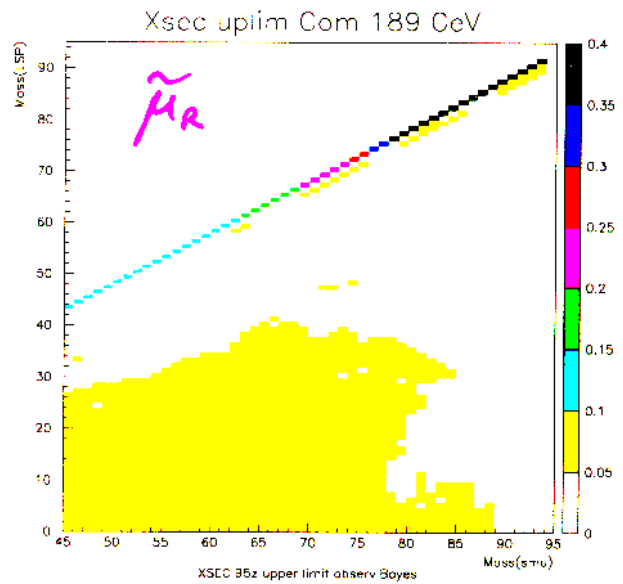
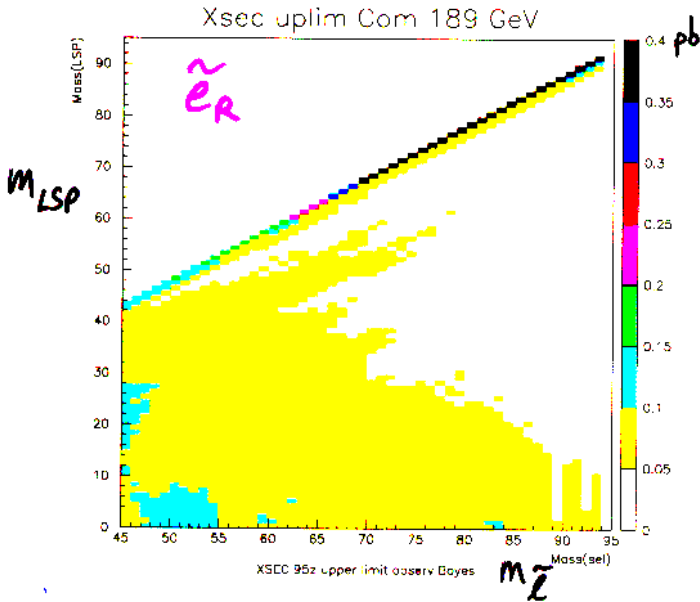
Wähle einen MSSM-Parametersatz, berechne Wirkungsquerschnitte und vergleiche mit experimentell ausgeschlossenen WQ

→ Ausschluss eines Punktes im Parameterraum wie z.B. einer Massenkombination

Obere Grenzen auf Wirkungsquerschnitt

$e^+e^- \rightarrow \tilde{\ell}^+ \tilde{\ell}^-$ bei $\sqrt{s} = 189$ GeV

Darstellung in $m_{\tilde{\ell}} - m_{LSP}$ - Ebene



i.a.

$\sigma(e^+e^- \rightarrow \tilde{\ell}_R^+ \tilde{\ell}_R^-) < \sigma(e^+e^- \rightarrow \tilde{\ell}_L^+ \tilde{\ell}_L^-)$

\Rightarrow wähle Produktion rechts =
 häufiger skalares Leptonen
 für Grenzen

Beste Grenzen im Bereich mittlerer ΔM und $m_{\tilde{\ell}}$

$\Delta M \rightarrow 0$ Effizienzverlust: sichtbare Energie sehr gering

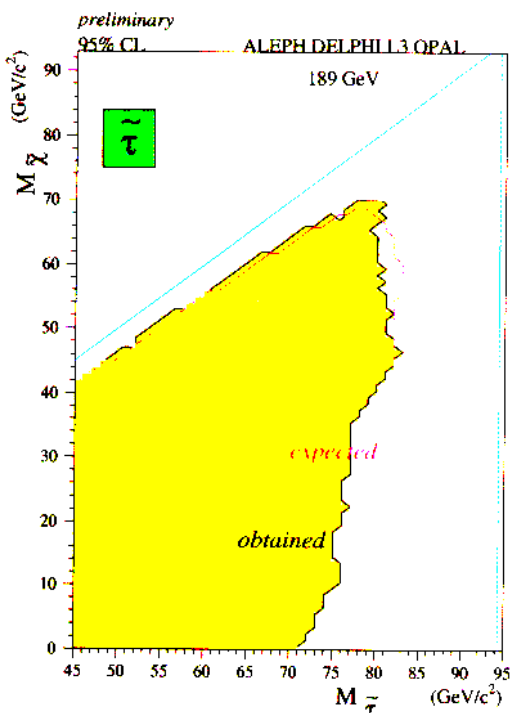
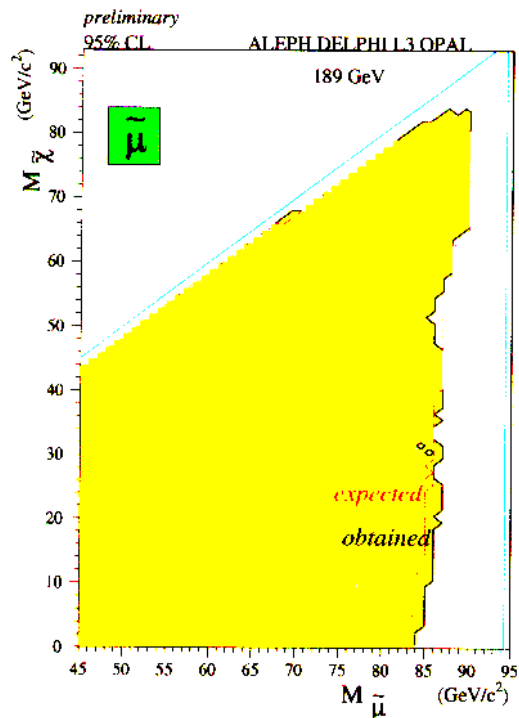
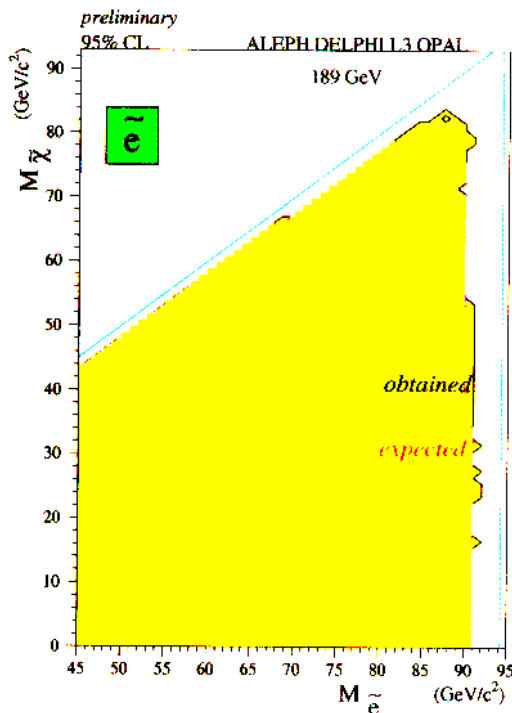
$\Delta M \rightarrow E_{beam}$ nahezu keine fehlende Energie \rightarrow Untergrund $e^+e^- \rightarrow \ell^+\ell^-$

Untere Grenzen auf Massen der skalaren Leptonen

in $m_{\tilde{\chi}_1^0} - m_{\tilde{e}}^2$ Ebene für feste Parameter $\mu = -200$ GeV

und $\tan\beta = 1.5$

(an diesem Punkt sind die Massengrenzen auf Neutralinos aus der Suche nach Neutralinos und Charginos am schwächsten)



Für $\Delta M > 156$ GeV bei $\sqrt{s} = 189$ GeV

$$m_{\tilde{e}_R} > 89 \text{ GeV}$$

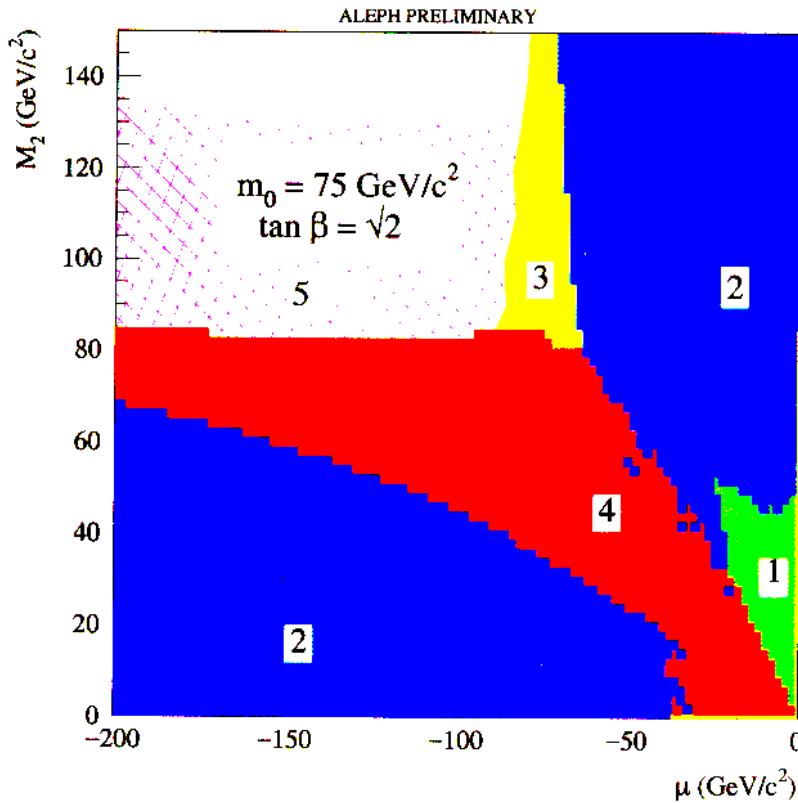
$$m_{\tilde{\mu}_R} > 84 \text{ GeV}$$

$$m_{\tilde{\tau}_R} > 71 \text{ GeV}$$

} @ 95% CL

Massengrenze auf das LSP

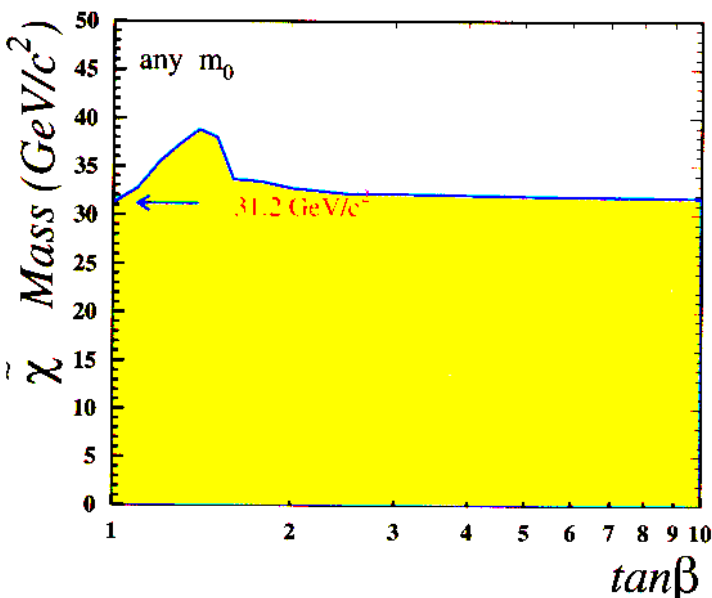
Aus Suche nach supersym. Teilchen kann der Parameter-
raum von (μ, M_2) eingeschränkt werden:



- 1 $\hat{=}$ LEP I
- 2 $\hat{=}$ $\tilde{\chi}^\pm$ (Charginos)
- 3 $\hat{=}$ $\tilde{\chi}^0$ (Neutralinos)
- 4 $\hat{=}$ $\tilde{\ell}$ (skalare Leptonen)
- 5 $\hat{=}$ Higgs-Suche

Jeder ausgeschlossene (μ, M_2) -Punkt schließt gewisse
 $m_{\tilde{\chi}_1^0}$ aus!

Preliminary DELPHI LSP limit at 189 GeV



\Downarrow

LEP: $m_{\tilde{\chi}_1^0} > 32$ GeV
für alle m_0 und $\tan \beta$
(Plot gilt auch für
 $\tan \beta \rightarrow 1/\tan \beta$)

Der MSSM-Higgs-Sektor

2 Higgs-Dubletts mit entgegengesetzter Hyperladung, um allen Materie-Fermionen Masse zu verleihen (außerdem Cancellation gewisser Dreiecks-Anomalien)

2 Dubletts \cong 8 Freiheitsgrade
- 3 Bosonmassen (W^\pm, Z)
 \Rightarrow 5 Higgsteilchen

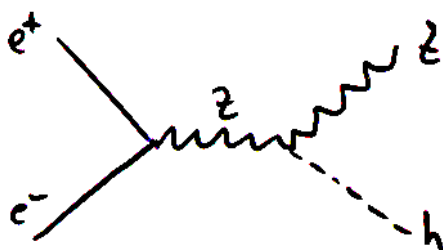
2 neutrale mit $CP = +1$: h, H ($m_h < m_H$)
1 neutrales mit $CP = -1$: A
2 geladene Higgs-Bosonen : H^\pm

Theoretische Vorhersagen

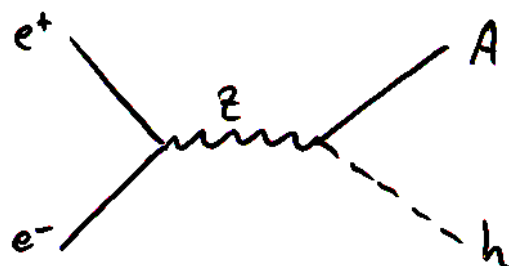
- in niedrigster Ordnung $m_h < m_Z, m_{H^\pm} > m_W$
- Strahlungskorrekturen ($m_{\text{top}}^4 \dots$) $m_h \lesssim 130 \text{ GeV}$

Produktion der neutralen MSSM Higgs-Bosonen bei LEP

hängt ab von $\alpha - \beta$ ($\tan \beta = \frac{v_2}{v_1}$, $\alpha =$ Higgsmischungswinkel)



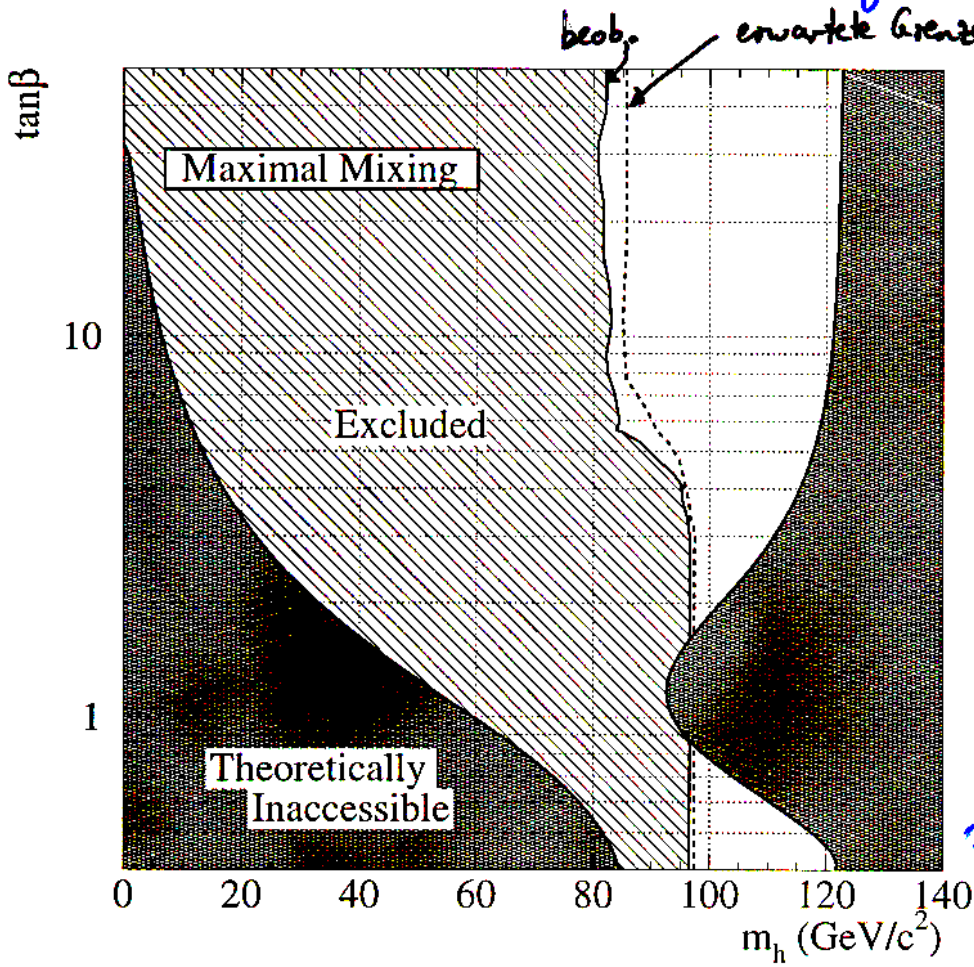
$$\sigma_{hZ} = \sigma_{HZ}^{\text{SM}} \cdot \sin^2(\alpha - \beta)$$



$$\sigma_{hA} = \sigma_{hZ}^{\text{SM}} \cdot \lambda \cdot \cos^2(\alpha - \beta)$$

(λ : kinemat. Faktor)

MSSM - Higgs - Massengrenzen

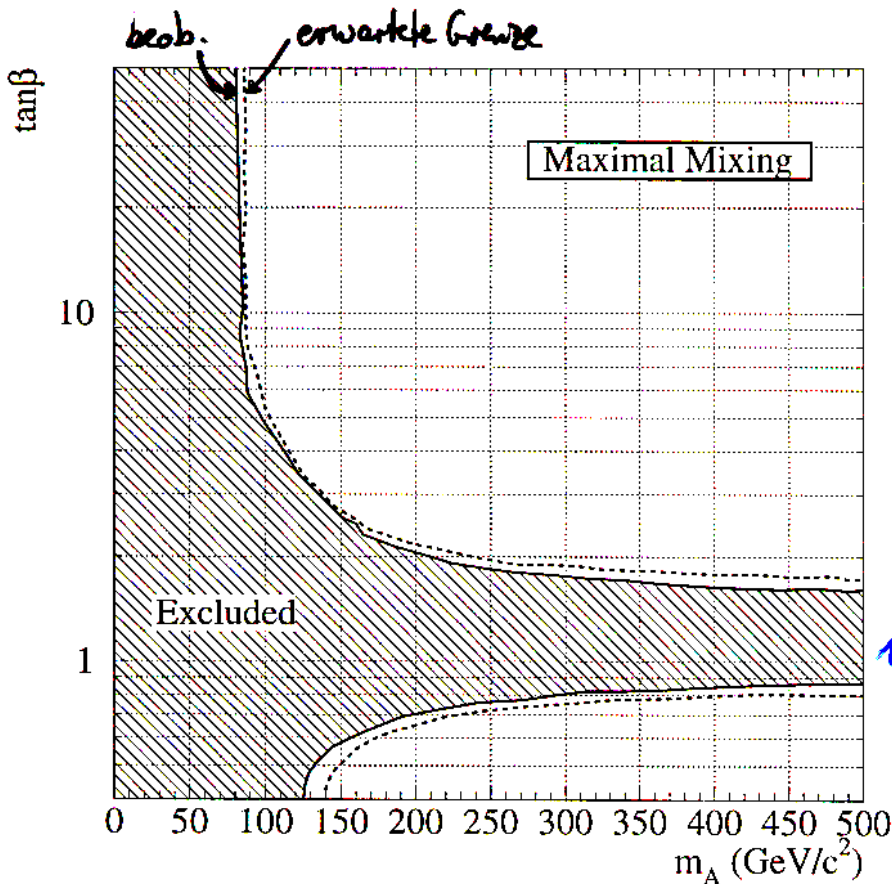


Ausschluss von $\tan\beta \approx 1$
abhängig von s-top-
Mischung

$$\tilde{t}_1 = \tilde{t}_L \cos\theta_{LR} + \tilde{t}_R \sin\theta_{LR}$$

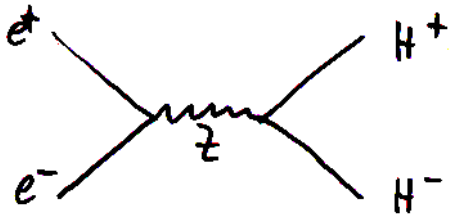
LEP
189 GeV $\Rightarrow m_h > 80.7$ GeV

@ 95% CL



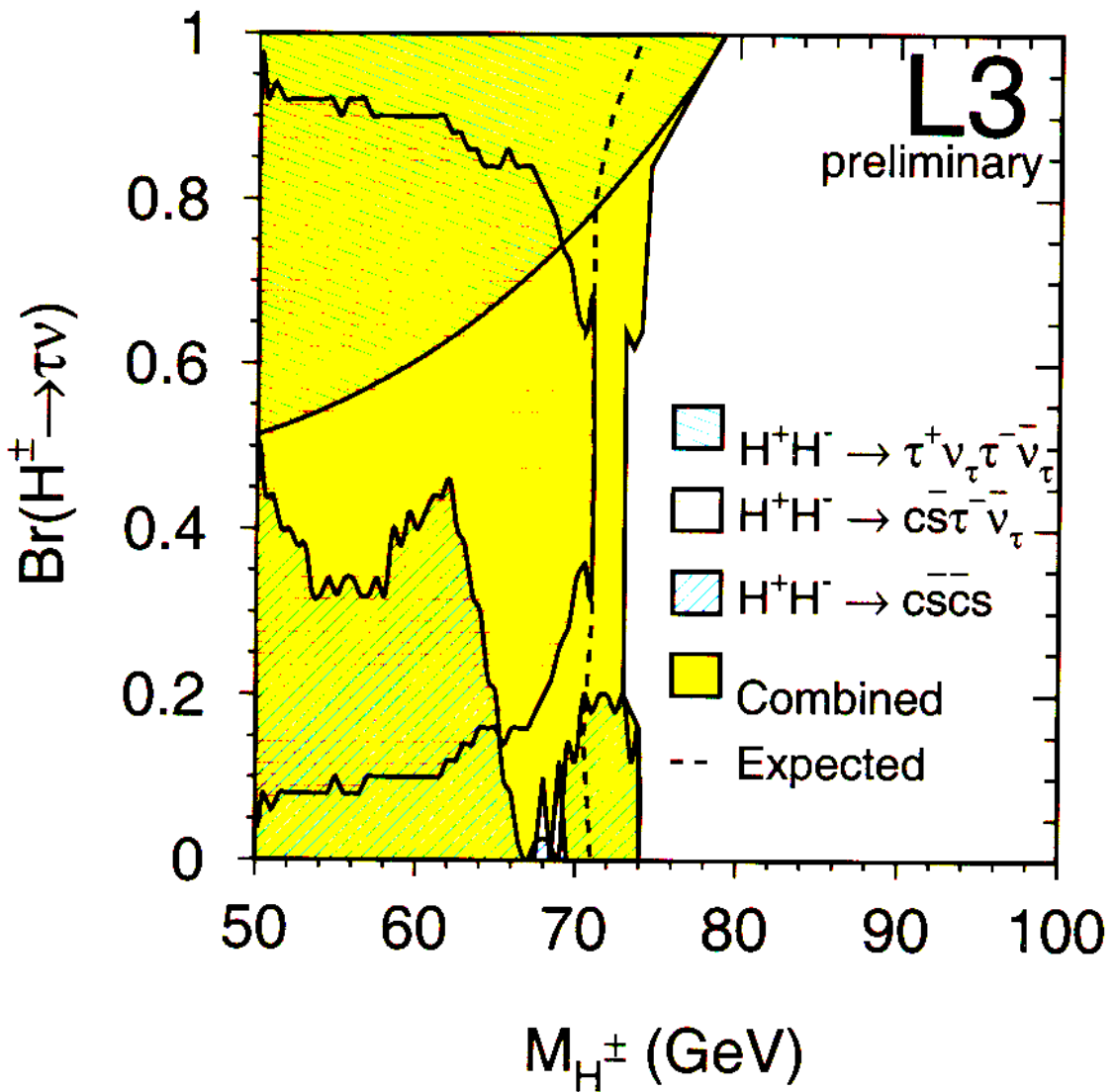
LEP
189 GeV $\Rightarrow m_A > 80.9$ GeV
@ 95% CL

Geladene MSSM-Higgs Bosonen



und $H^+ \rightarrow c\bar{s}, \tau^+\nu_\tau$

Analyse mit SC-Fit ($\Sigma(\vec{p}, E) = (\vec{0}, \sqrt{s})$, $m_1^{rec} = m_2^{rec}$)



LEP bis $\sqrt{s} = 189 \text{ GeV}$



$m_{H^\pm} > 77.3 \text{ GeV @ 95\% CL}$

Weitere Modelle über das SM hinaus

viele weitere Optionen, z.B.

• SUSY

- ▶ Gravitino mediated supersymmetry breaking (GMSB)
→ Gravitino (Spin $\frac{3}{2}$) ist LSP
S-Lepton $\tilde{\ell}$ oder Chargino $\tilde{\chi}^\pm$ ist nächst-leichtestes (NLSP)
- ▶ SUSY ohne R-Paritätserhaltung
 \nexists LSP, da alle schweren SUSY-Teilchen in die üblichen Bosonen & Fermionen zerfallen können

• Techni-Colour Modelle

Anstelle des Higgs treten "Technipionen", die aus "Techniquarks" zusammengesetzt sind; Eichstruktur ist $SU(N)$ (z.B. $N=3$) wie bei QCD, doch Techni-Colour-Kopplungskonst. $\Rightarrow \alpha_s$

• Compositeness Modelle

$W, Z, (H)$ u.a. sind aus noch elementareren Teilchen (z.B. Präonen) zusammengesetzt

- Leptoquarks (z.B. in Form einer Kontakt- W gesucht)
vermitteln W zwischen Leptonen und Quarks \rightarrow Protonen-Zerfall
treten in GUT zwangsläufig auf und müssen sehr schwer sein,
um experimentelle Proton-Lebensdauer zu garantieren

• zusätzliche Eichbosonen Z'

• zusätzliche Dimensionen

Gravitation ist so schwach, weil sie in weiteren Dimensionen existiert und wir nur die 3+1 dimensionale Projektion sehen
 n zusätzliche Dimensionen sind "aufgerollt" und haben Radius r
 $m_{Pl}^2 \sim r^n \cdot m_{eff}^{2+n}$ und $m_{eff} \approx m_{el. schwach} \Rightarrow r \sim 10^{\frac{30}{n}-19} m$

QCD

QCD

QCD ist eine Quantentheorie zur Beschreibung der starken Wechselwirkung

Kleine Historie der starken Wechselwirkung

1932 Entdeckung des Neutrons (Chadwick)
→ Kernkraft hält Atomkern zusammen

1933 anomales magn. Moment des Protons
 $\mu_p \approx 2.5 \cdot \frac{e}{2m_p}$ → Substruktur des Protons

1947 Entdeckung der π -Mesonen und langlebiger sog. V-Teilchen (K^0, Λ) in kosmischer Strahlung

1953 V-Teilchen mit Beschleunigern erzeugt
Neue Quantenzahl "Strangeness" aufgrund der langen Lebensdauer der V-Teilchen ($\approx 10^{-8} \dots 10^{-10}$ sec)

1964 Murray Gell-Mann, George Zweig
statisches Quark-Modell mit Quantenzahl: Farbe (-Ladung)

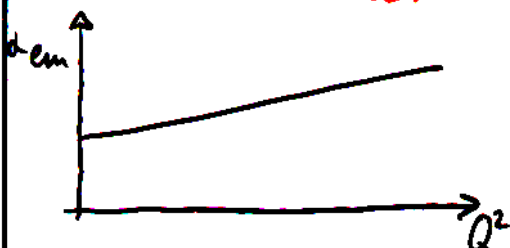
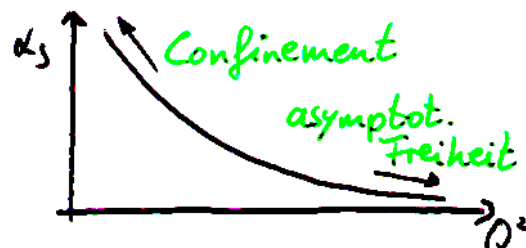
1969 dynamisches Quarkmodell

1973 Konzept der asymptotischen Freiheit:
nicht-abelsche Eichstruktur: QCD


1975 2-Jet-Struktur in e^+e^- -Vernichtung
Bestätigung des Quark-Parton-Modells (SPEAR-Beschl.)

1979 Entdeckung des Gluons durch 3-Jet-Endzustände
in e^+e^- -Vernichtung (PETRA-Beschleuniger)

QED und QCD im Vergleich

	QED	QCD
Fermionen	Leptonen (e, μ , τ)	Quarks (u, d, s, c, b, t)
Kraft koppelt an	elektr. Ladung	3 Farbladungen
Austauschboson	Photon γ (elektr. neutral)	8 Gluonen g (zweifach farbgeladen) d.h. $g \rightarrow g g$ ist möglich
Kopplungskonst.	$\alpha_{em}(Q^2 \approx 0) \approx \frac{1}{137}$ 	$\alpha_s(Q^2 = m_Z^2) = 0.12$ 
freie Teilchen	Leptonen	Hadronen (farbneutrale Bindungszustände aus q und \bar{q})
Theorie	Störungstheorie bis $\mathcal{O}(\alpha_{em}^4)$	Störungstheorie bis $\mathcal{O}(\alpha_s^2)$ teilweise $\mathcal{O}(\alpha_s^3)$ sowie Näherungen mit den dominierenden Logarithmen (leading log approx. LLA)
Genauigkeit	$10^{-6} \dots 10^{-7}$	$\sim 5\% - 20\%$

Renormierung der QCD

Wie QED muß auch QCD renormiert werden,
Beseitigung der Divergenzen von Schleifendiagrammen 

Renormierungsvorschrift (z.B. minimal modified subtraction scheme = \overline{MS} -Schema) bringt willkürliche Massenskala μ ins Spiel

Jede physikalische Meßgröße R muß unabhängig von μ sein

$$\mu^2 \frac{d}{d\mu^2} R = 0$$

$$\begin{aligned} \Rightarrow \mu^2 \frac{d}{d\mu^2} &= \mu^2 \frac{\partial}{\partial \mu^2} + \mu^2 \frac{\partial \alpha_s}{\partial \mu^2} \frac{\partial}{\partial \alpha_s} + \mu^2 \frac{\partial m}{\partial \mu^2} \frac{\partial}{\partial m} \\ &=: \mu^2 \frac{\partial}{\partial \mu^2} + \beta(\alpha_s, \mu^2) \frac{\partial}{\partial \alpha_s} - \gamma_m(\mu^2) m \frac{\partial}{\partial m} \end{aligned}$$

$$\Rightarrow \beta(\alpha_s, \mu^2) = \mu^2 \frac{\partial \alpha_s}{\partial \mu^2} = -\beta_0 \alpha_s^2 - \beta_1 \alpha_s^3 - \dots$$

$$\text{mit } \beta_0 = \frac{1}{12\pi} (11 \cdot N_c - 2 \cdot n_f)$$

$$\left[\begin{array}{l} N_c = C_A = 3 \text{ Farber} \\ n_f = \# \text{ Quarks} \\ C_F = \frac{4}{3} \text{ Farbfaktor} \\ T_F = \frac{1}{2} \text{ Casimirfaktor} \end{array} \right.$$

$$\text{Lösung: } \alpha_s(Q^2) = \frac{1}{\beta_0 \ln(Q^2 / \Lambda_{\overline{MS}}^2)}$$

"laufende Kopplung"

← Integrationskonst. nur experimentell bestimmbar

Außerdem:

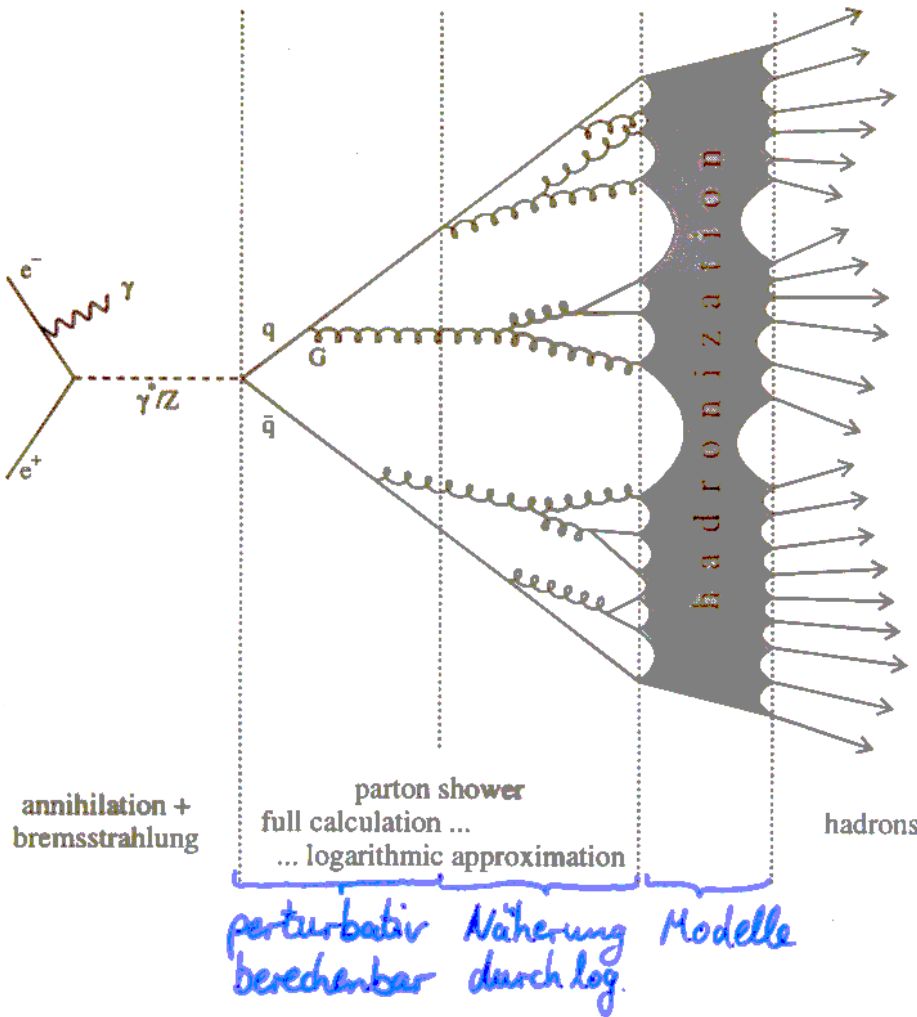
$$-\gamma_m(\mu^2) = \mu^2 \frac{1}{m} \frac{\partial m}{\partial \mu^2} = -\gamma_{m,0} \alpha_s - \gamma_{m,1} \alpha_s^2 - \dots$$

mit

$$\gamma_{m,0} = 1/\pi$$

$$\text{Lösung: } m(Q^2) = m(\mu^2) \exp \left[- \int_{\alpha_s(\mu^2)}^{\alpha_s(Q^2)} \gamma_m(\alpha_s) \frac{d\alpha_s}{\beta(\alpha_s)} \right] \text{ "laufende Masse"}$$

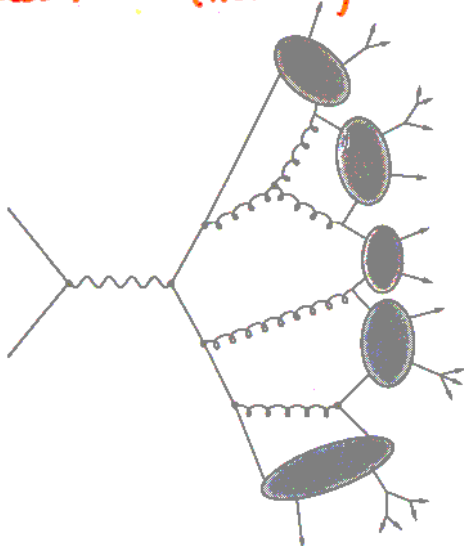
Phänomenologie der QCD in e^+e^- -Vernichtung



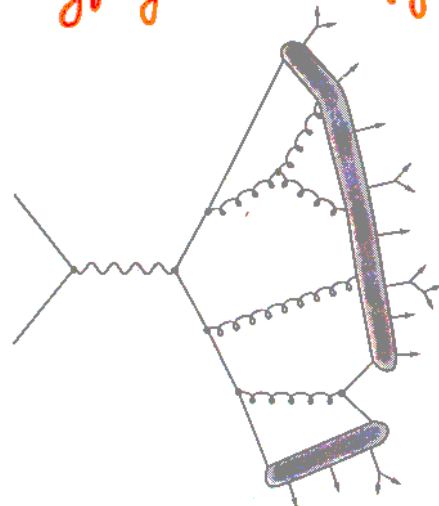
Hadronisierung kann derzeit nur durch phänomenologische Modell im Detail beschrieben werden.

Verbreitete Modelle

Cluster- (HERWIG)



Stringfragmentation (JETSET, PYTHIA, ARIADNE)



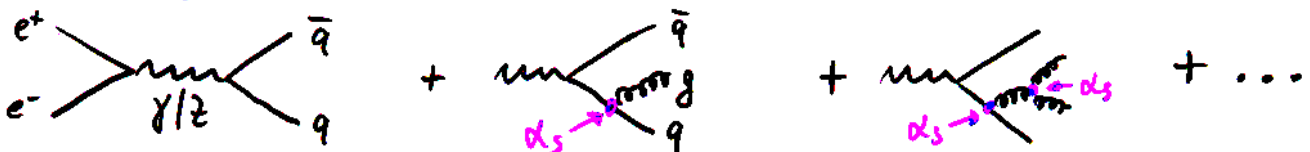
Bestimmung von $\alpha_s(Q^2)$ bei LEP

- $R_Z = \frac{\Gamma(Z \rightarrow \text{Hadronen})}{\Gamma(Z \rightarrow \text{Leptonen})} = R_0^{\text{el. schwach}} \cdot \left(1 + 1.06 \frac{\alpha_s}{\pi} + 0.9 \left(\frac{\alpha_s}{\pi}\right)^2 \dots\right)$
 - ⊕ liefert α_s -Wert, der nicht von Hadronisierungsunsicherheiten belastet
 - ⊕ bis $\mathcal{O}(\alpha_s^3)$ bekannt (\rightarrow kleine Unsicherheiten durch Wahl der Renormierungsskala μ)
 - ⊖ ist nur kleine Korrektur ($\sim 4\%$) auf $R_0^{\text{el. schwach}}$

- $R_\tau = \frac{\mathcal{B}(\tau \rightarrow \text{Hadronen} + \nu_\tau)}{\mathcal{B}(\tau \rightarrow e \nu_e \nu_\tau)} = 3.058 \cdot (1.001 + \delta_{\text{pert}} + \delta_{\text{non-pert}})$
 $\delta_{\text{pert}} = \frac{\alpha_s}{\pi} + \dots$

- ⊕ bis $\mathcal{O}(\alpha_s^3)$ bekannt
- ⊕ R_τ sehr präzise meßbar \rightarrow präzise $\alpha_s(m_\tau^2)$ -Bestimmung
- ⊖ nicht-perturbative Korrekturen nicht vernachlässigbar

- Form des hadronischen Endzustands: event shapes, Jetraten, Energie-Korrelation zwischen Hadronen

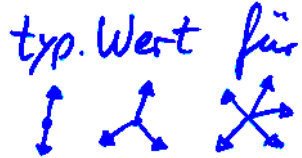


in $\mathcal{O}(\alpha_s^2)$: $\frac{1}{\sigma_0} \frac{d\sigma}{d\text{Obs}} = C_0(\text{Obs}) + C_1(\text{Obs})\alpha_s + C_2(\text{Obs})\alpha_s^2$

für einige Observablen konnten Logarithmen $\ln \frac{1}{\text{Obs}}$ und $\alpha_s \ln \frac{1}{\text{Obs}}$ für alle Ordnungen resummiert werden

- ⊕ große Sensitivität auf α_s -Wert
- ⊖ Hadronisierungsunsicherheiten bedeutend
- ⊖ nur $\mathcal{O}(\alpha_s^2)$ \rightarrow große Unsicherheiten durch Wahl von μ

Bei LEP häufig benutzte Observablen

Observable	Definition	typ. Wert für 	Theorie
Thrust	$T = \max_{\vec{n}} \frac{\sum \vec{p}_i \cdot \vec{n} }{\sum \vec{p}_i }$ Thrustachse $\vec{n}_T \equiv \vec{n}$	1 $\geq \frac{2}{3}$ $\geq \frac{1}{2}$	$O(d_s^2)$ und resummiert
Jet (Hemisphären) Masse	$M_{1,2}^2 = \left(\sum_{i \in H_{1,2}} E_i \right)^2 - \left(\sum_{i \in H_{1,2}} \vec{p}_i \right)^2$ Hemisphäre $H_{1,2} \perp \vec{n}_T$		$O(d_s^2)$ und resummiert
	$M_H^2 = \max(M_1^2, M_2^2)$	0 $\leq \frac{1}{3}$ $\leq \frac{1}{2}$	
Jet broadening	$B_{1,2} = \frac{\sum_{i \in H_{1,2}} \vec{p}_i \times \vec{n}_T }{2 \sum \vec{p}_i }$		
	$B_T = B_1 + B_2$	0 $\leq \frac{1}{2\sqrt{3}}$ $\leq \frac{1}{2\sqrt{2}}$	$O(d_s^2)$ und resummiert
	$B_W = \max(B_1, B_2)$	0 $\leq \frac{1}{2\sqrt{3}}$ $\leq \frac{1}{2\sqrt{2}}$	resummiert
C-Parameter	$C = \frac{3}{2} \frac{\sum \vec{p}_i \vec{p}_j - (\vec{p}_i \cdot \vec{p}_j) / \vec{p}_i \vec{p}_j }{\sum (\vec{p}_i \vec{p}_j)^2}$	0 $\leq \frac{3}{4}$ ≤ 1	$O(d_s^2)$ und resummiert
γ_{23}	Wert des Jetauflöseparameters beim Übergang von 2- zu 3 rekonstruierten Jets (Durham Algorithmus)		$O(d_s^2)$ und resummiert

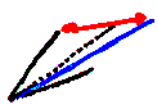
Jet-Algorithmen

Häufig benutzter Algorithmus zur Rekonstruktion von Jets:

JADE-Algorithmus



Für jedes Paar von Teilchen i, j
 berechne den Wert des Jetauflöseparameters y_{ij}



Ist $y_{ij} < y_{cut}$, bei beliebig aber fest gewähltem y_{cut} ,
 dann kombiniere Teilchen i, j zu einem Pseudo-
 Teilchen k und wiederhole Prozedur damit

Wenn alle Pseudo-Teilchenpaare $y_{ij} \geq y_{cut}$ erfüllen,
 dann sind dies die rekonstruierten Jets

Es gibt viele Varianten, die sich im Auflösekriterium y_{ij}
 und in Kombinationsvorschrift unterscheiden, z.B.

Algorithmus	Auflöseparameter	Kombination	Anmerkungen
JADE	$y_{ij} = \frac{2E_i E_j (1 - \cos\theta_{ij})}{s}$	$p_k = \begin{pmatrix} E_k \\ \vec{p}_k \end{pmatrix} = p_i + p_j$	$\sum E, \sum \vec{p}$ erhalten nicht resummierbar
E0	$y_{ij} = \frac{(p_i + p_j)^2}{s}$	$E_k = E_i + E_j$ $\vec{p}_k = E_k \frac{\vec{p}_i + \vec{p}_j}{ \vec{p}_i + \vec{p}_j }$	$\sum E$ erhalten $\sum \vec{p}$ nicht
Durham oder k_T	$y_{ij} = \frac{2 \min(E_i^2, E_j^2) (1 - \cos\theta_{ij})}{s}$	$p_k = p_i + p_j$	$\sum E, \sum \vec{p}$ erhalten resummierbar!

Experimentelle Prozedur

typische Fehler bei LEP II

$$\left. \frac{\Delta \alpha_s}{\alpha_s} \right|_{\text{stat}} \approx \text{einige \%}$$

$$\left. \frac{\Delta \alpha_s}{\alpha_s} \right|_{\text{exp}} \approx 1 \dots 3 \%$$

$$\left. \frac{\Delta \alpha_s}{\alpha_s} \right|_{\text{had}} \approx 2 \dots 10 \%$$

$$\left. \frac{\Delta \alpha_s}{\alpha_s} \right|_{\text{th}} \approx 5 \dots 20 \%$$

Differentielle Verteilungen
der Observablen $\left(\frac{1}{N} \frac{dN}{d\text{Obs}} \right)$

Korrektur auf endliche
Detektorakzeptanz & -auflösung

Korrektur auf
Hadronisierung

Anpassung der analytischen $\mathcal{O}(\alpha_s^2)$
oder resummierten oder beide
Rechnungen kombiniert;
Fitparameter: α_s oder $\Delta \mu_s, \mu$

Abschätzung theoretischer
Unsicherheiten

Unsicherheiten durch unbekannt höhere Ordnungen
üblicherweise untersucht durch

- Variation der Renormierungsskala μ

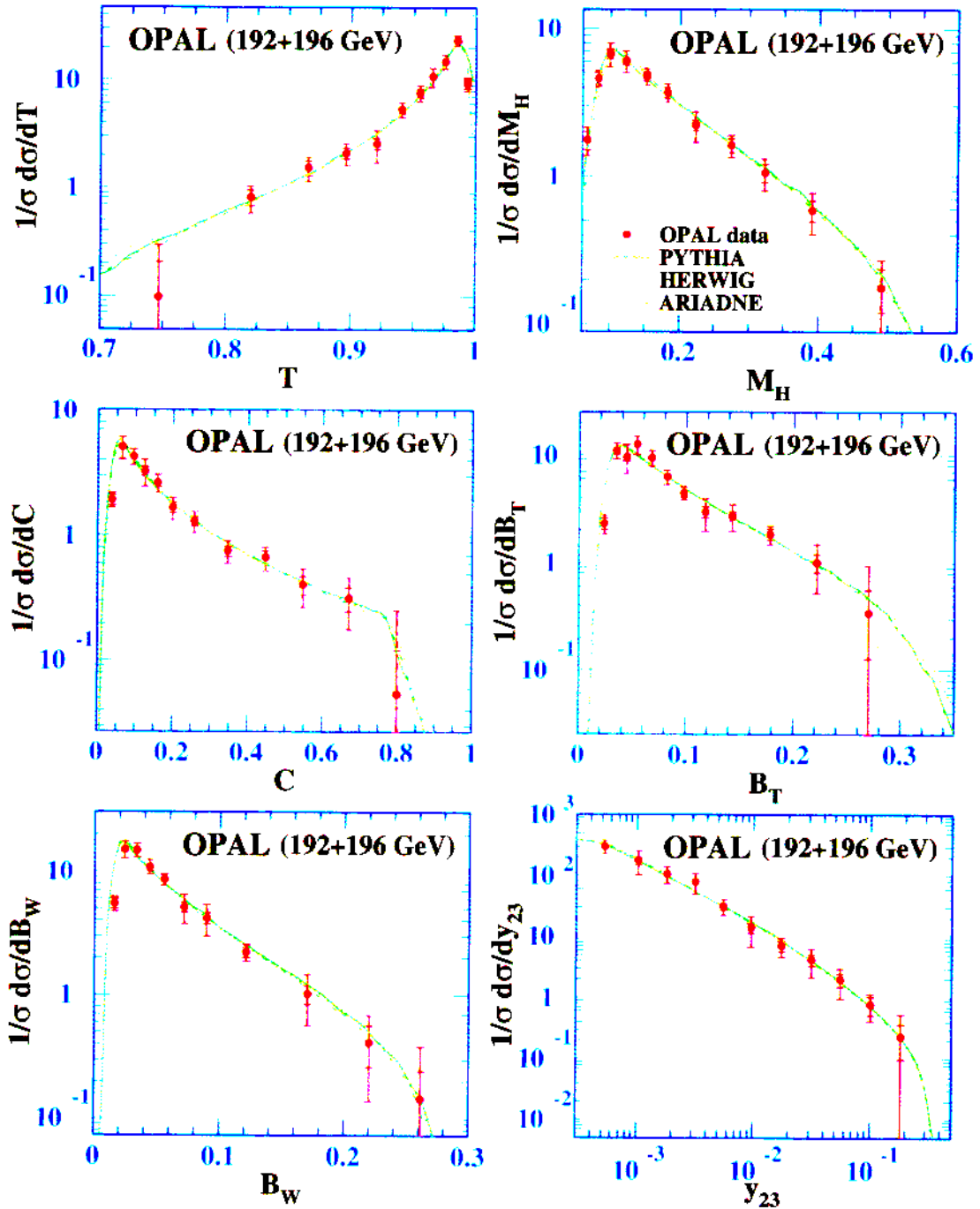
$$\frac{1}{\sigma} \frac{d\sigma}{d\text{Obs}} = C_0 + C_1 \cdot \alpha_s(\mu^2) + \left[C_2 + C_1 \cdot \beta_0 \ln \frac{\mu^2}{Q^2} \right] \cdot \alpha_s^2(\mu^2)$$

und Transformation $\alpha_s(\mu^2) \rightarrow \alpha_s(Q^2)$

- Parton-(q,g)-Virtualität Q_0 , auf die die Daten korrigiert wurden
(Parton-Schauer endet bei Q_0)

Differentielle Event-shape-Verteilungen

OPAL preliminary

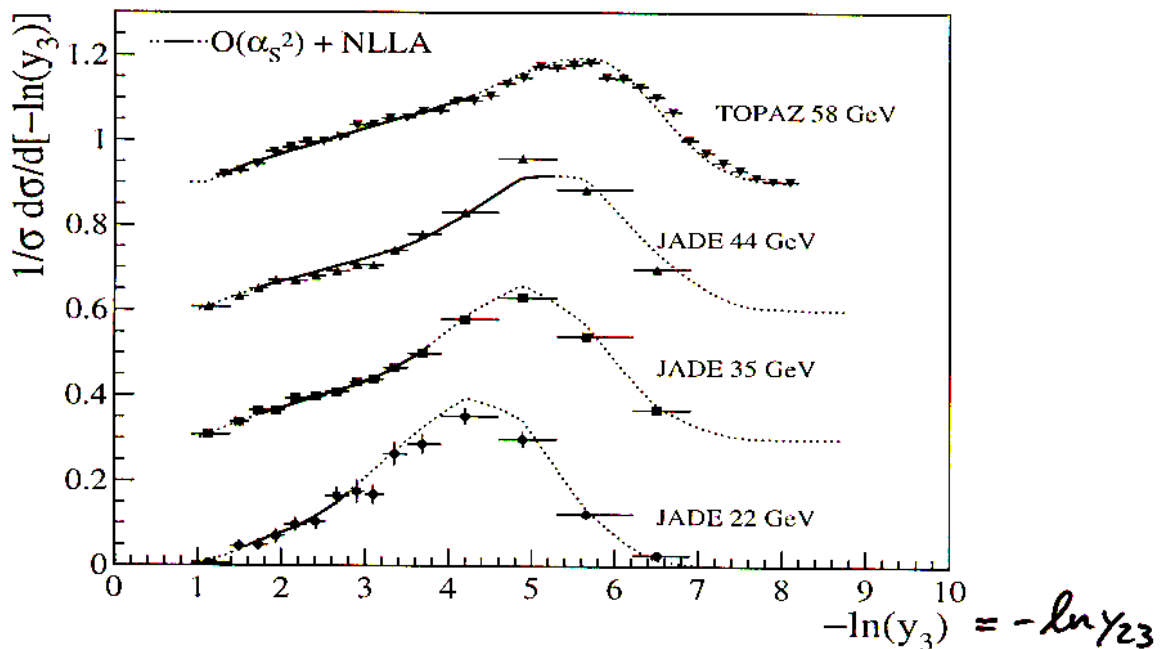
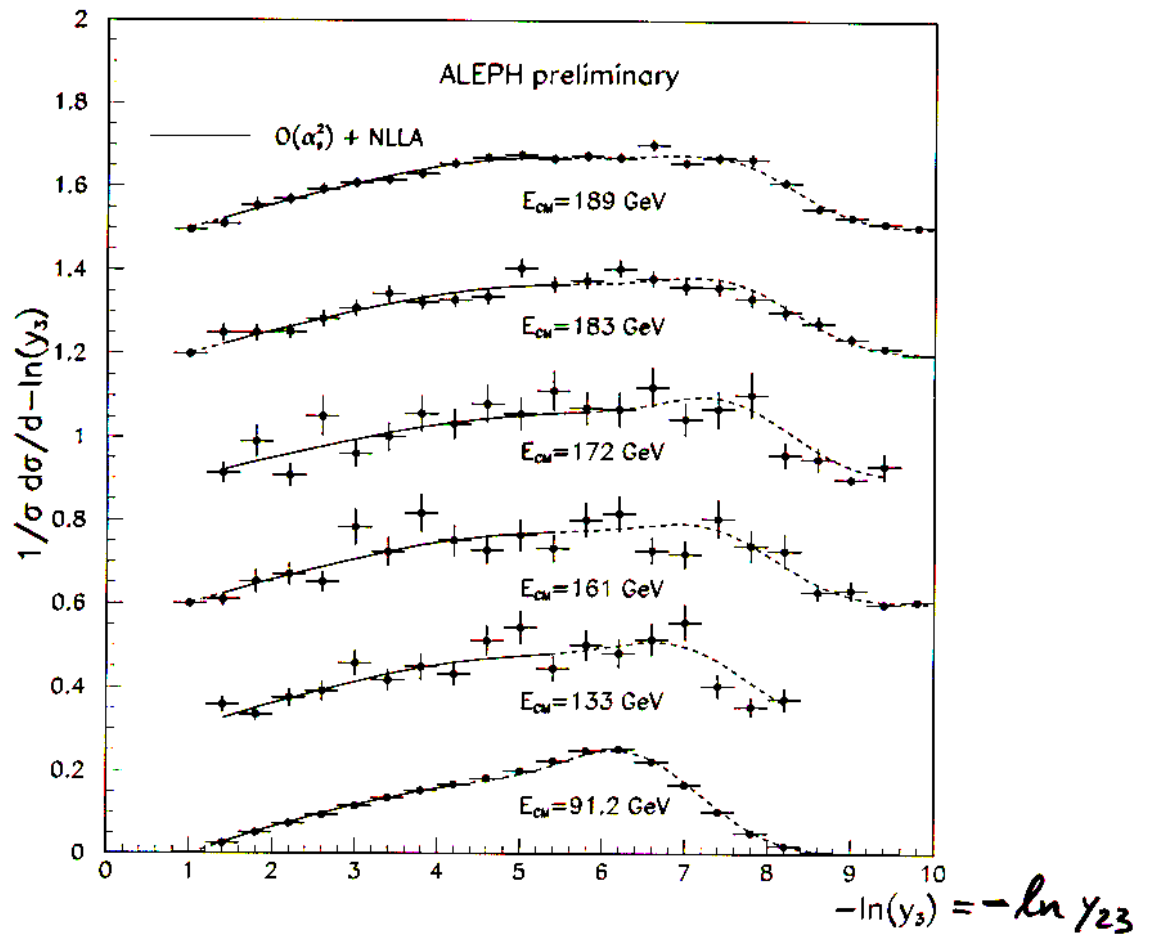


$$\Rightarrow \alpha_s(192 \text{ GeV}) = 0.1025 \pm 0.0038 \pm 0.0054$$

stat. syst.

$$\Rightarrow \alpha_s(m_Z) = 0.1136 \pm 0.0082$$

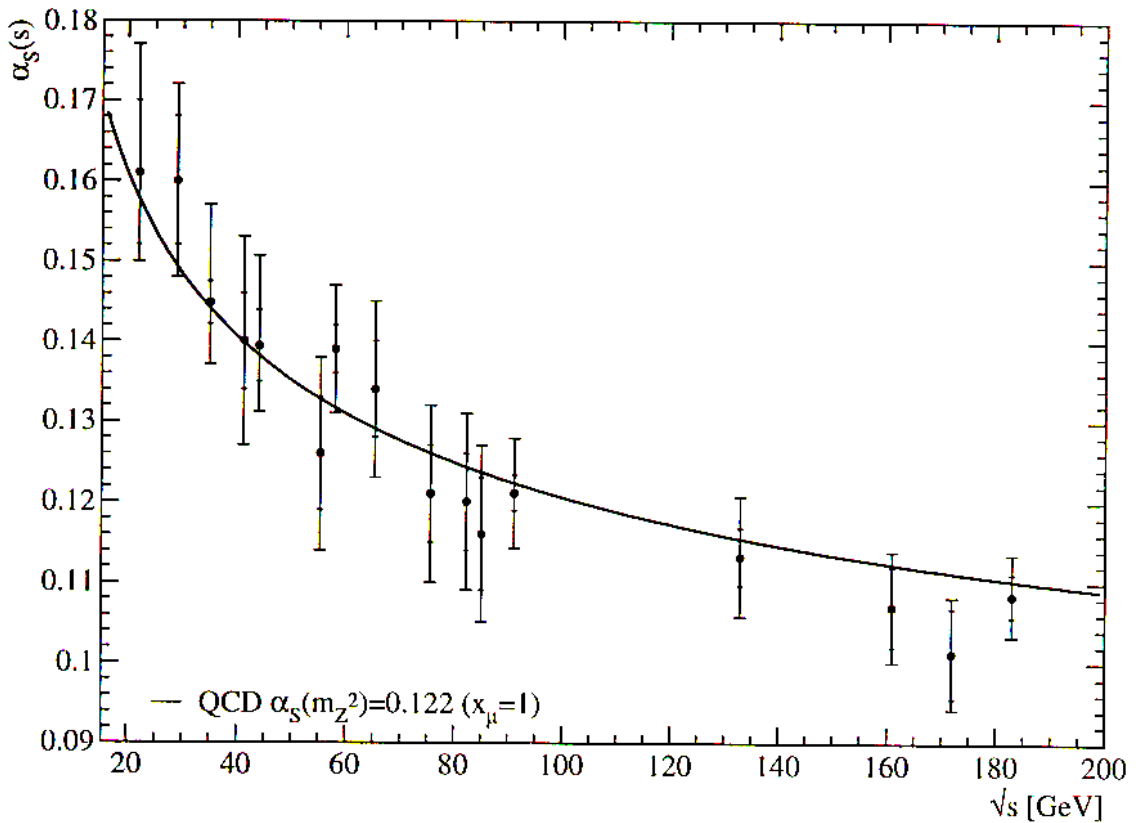
γ_{23} und \sqrt{s}



⇒ Skalenerletzung sichtbar:
 Verteilung ändert Form mit \sqrt{s} , weil α_s läuft
 ($\alpha_s = \text{const.} \Rightarrow$ Verteilung bei allen \sqrt{s} gleich)

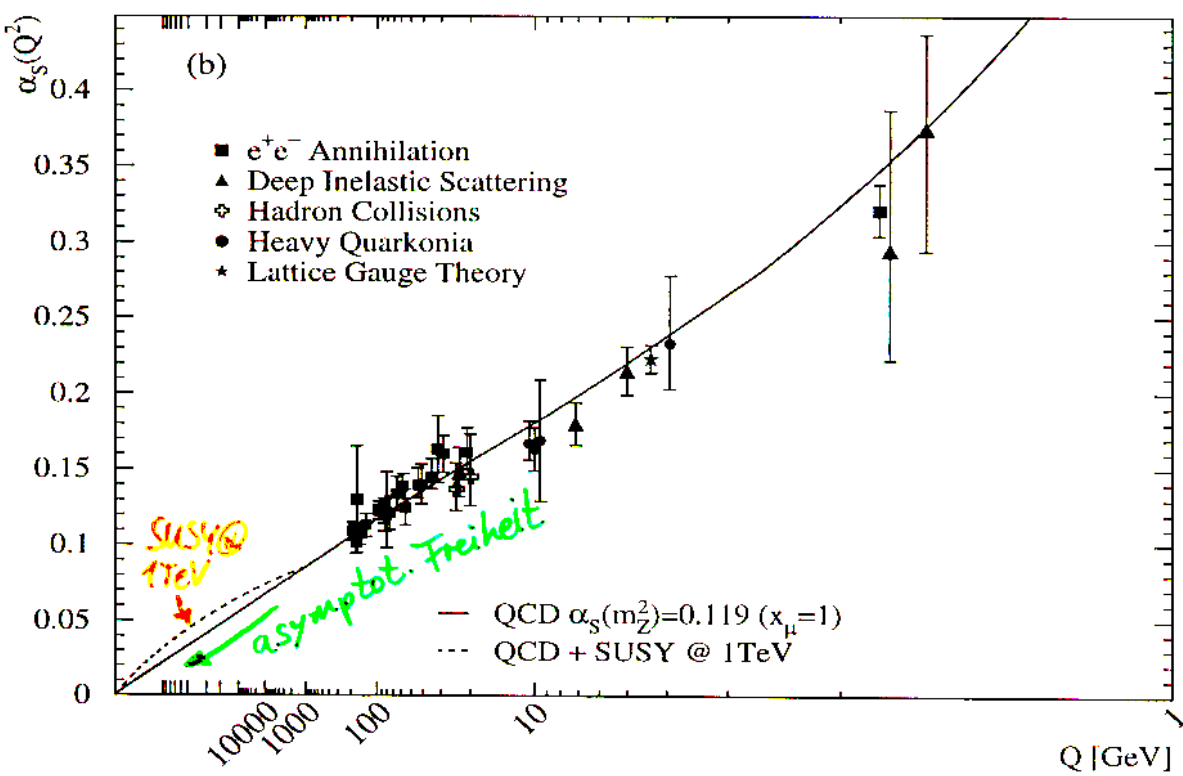
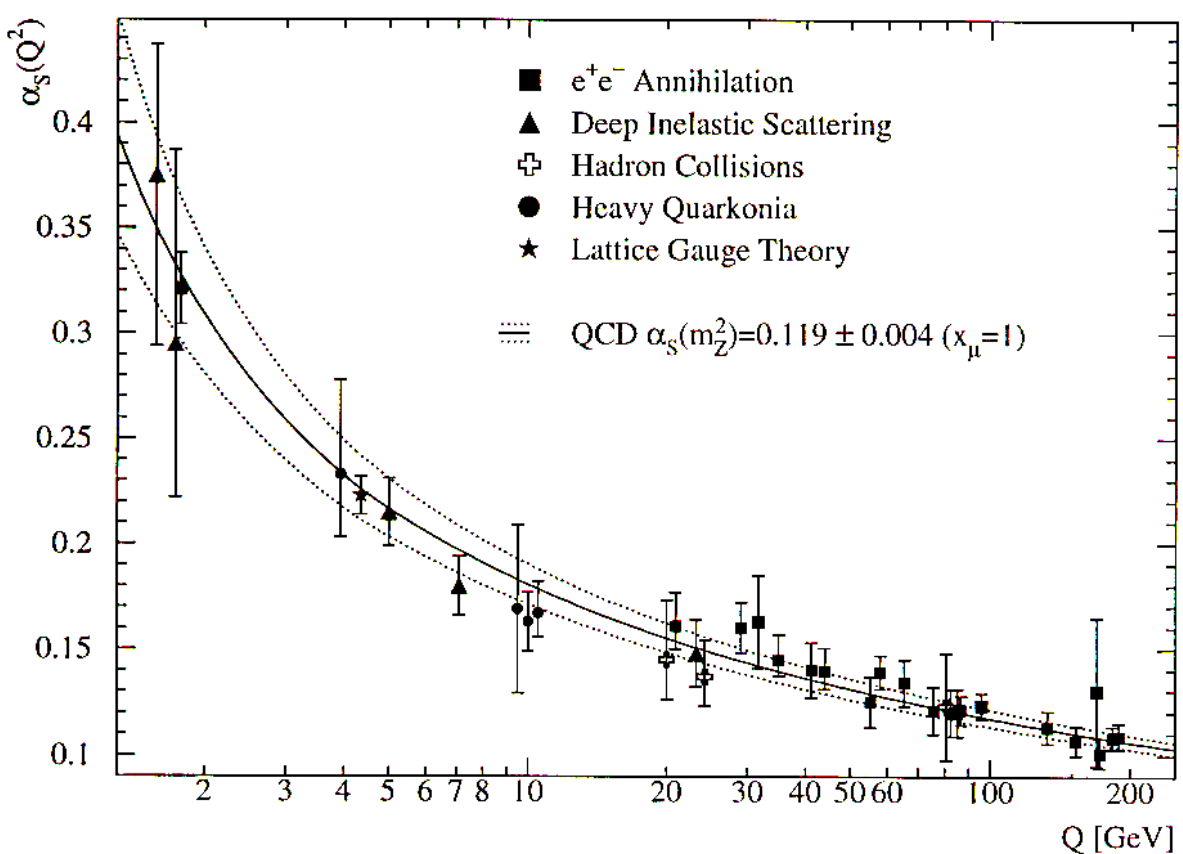
$\alpha_s(\sqrt{s})$

Zusammenstellung der α_s -Bestimmungen mittels
Event-Shape-Variablen:



⇒ Laufen der Kopplung klar sichtbar!

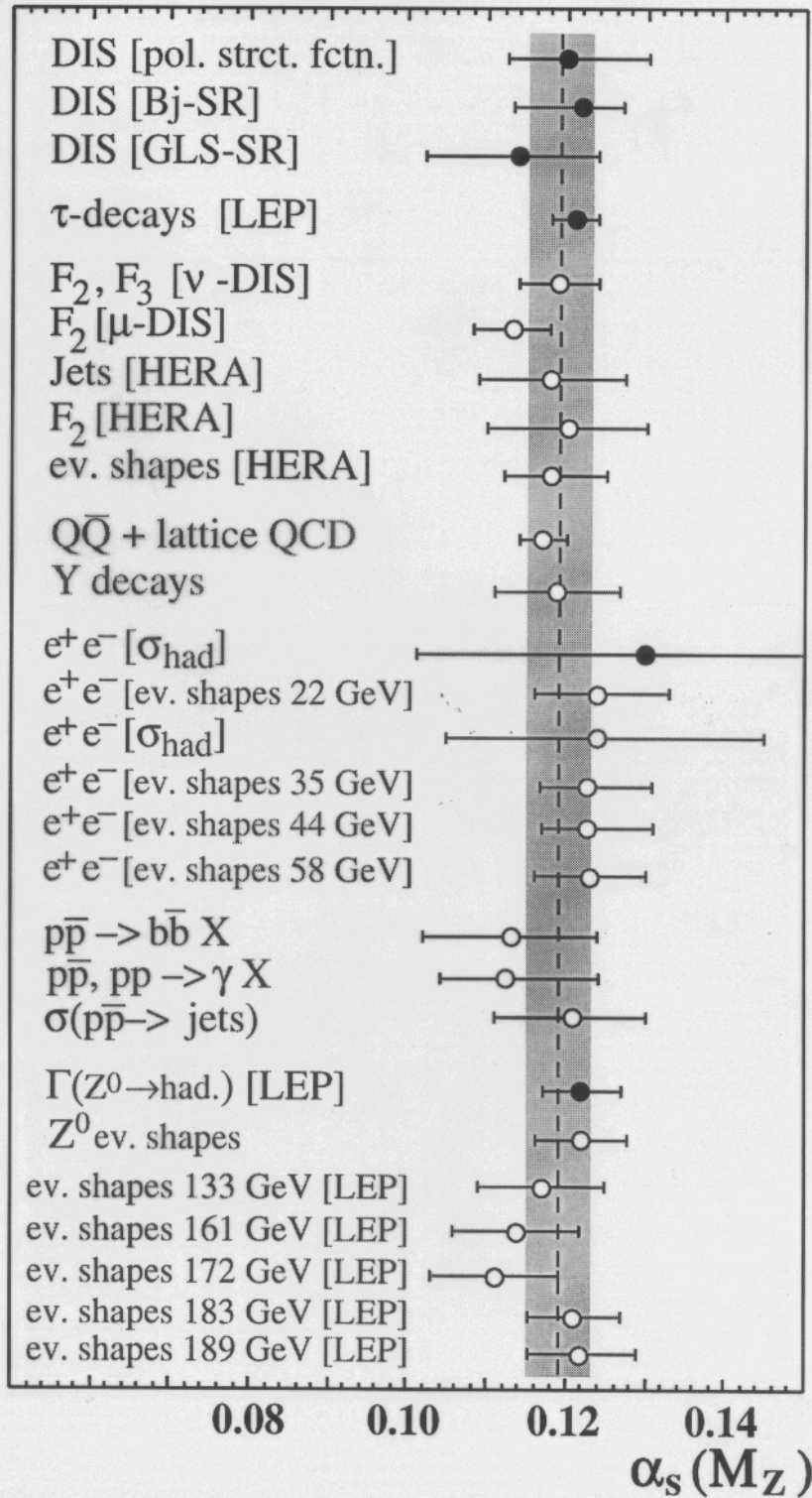
Zusammenstellung aller α_s -Bestimmungen



\Rightarrow Laufen der Kopplung \checkmark asymptotische Freiheit \checkmark

$\alpha_S(M_Z)$ WORLD AVERAGE

From S. Bethke, hep-ex/9812026



Using measurements with $\Delta\alpha_S < 0.008$ only:

$$\alpha_S(M_Z) = 0.119 \pm 0.004$$

If Lattice is left out $\rightarrow \alpha_S(M_Z) = 0.120 \pm 0.005$

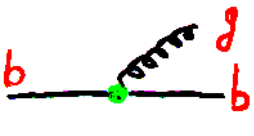

S. Bethke hep-ex/9812026

Table 2: World summary of measurements of α_s . Underlined entries are new or updated since summer 1997 (DIS = deep inelastic scattering; GLS-SR = Gross-Llewellyn-Smith sum rules; Bj-SR = Bjorken sum rules; (N)NLO = (next-)next-to-leading order perturbation theory; LGT = lattice gauge theory; resum. = resummed next-to-leading order).

Process	Q [GeV]	$\alpha_s(Q)$	$\alpha_s(M_{Z^0})$	$\Delta\alpha_s(M_{Z^0})$		Theory
				exp.	theor.	
DIS [pol. struct. fctn.]	0.7 - 8		0.120 $\begin{smallmatrix} + 0.010 \\ - 0.006 \end{smallmatrix}$	+0.004 -0.005	+0.009 -0.006	NLO
DIS [Bj-SR]	1.58	0.375 $\begin{smallmatrix} + 0.062 \\ - 0.081 \end{smallmatrix}$	0.121 $\begin{smallmatrix} + 0.005 \\ - 0.009 \end{smallmatrix}$	-	-	NNLO
DIS [GLS-SR]	1.73	0.295 $\begin{smallmatrix} + 0.092 \\ - 0.073 \end{smallmatrix}$	0.114 $\begin{smallmatrix} + 0.010 \\ - 0.012 \end{smallmatrix}$	+0.005 -0.006	+0.009 -0.010	NNLO
<u>r-decays</u>	1.78	0.339 \pm 0.021	0.121 \pm 0.003	0.001	0.003	NNLO
DIS [ν ; F_2 and F_3]	5.0	0.215 \pm 0.016	0.119 \pm 0.006	0.002	0.004	NLO
DIS [μ ; F_2]	7.1	0.180 \pm 0.014	0.113 \pm 0.005	0.003	0.004	NLO
DIS [HERA; F_2]	2 - 10		0.120 \pm 0.010	0.005	0.009	NLO
DIS [HERA; jets]	10 - 100		0.118 \pm 0.009	0.003	0.008	NLO
DIS [HERA; ev.shps.]	7 - 100		0.118 $\begin{smallmatrix} + 0.007 \\ - 0.006 \end{smallmatrix}$	0.001	+0.007 -0.006	NLO
$Q\bar{Q}$ states	4.1	0.223 \pm 0.009	0.117 \pm 0.003	0.000	0.003	LGT
<u>T decays</u>	4.13	0.220 \pm 0.027	0.119 \pm 0.008	0.001	0.008	NLO
<u>e^+e^- [σ_{had}]</u>	10.52	0.20 \pm 0.06	0.130 $\begin{smallmatrix} + 0.021 \\ - 0.029 \end{smallmatrix}$	+0.021 -0.029	-	NNLO
e^+e^- [ev. shapes]	22.0	0.161 $\begin{smallmatrix} + 0.016 \\ - 0.011 \end{smallmatrix}$	0.124 $\begin{smallmatrix} + 0.009 \\ - 0.006 \end{smallmatrix}$	0.005	+0.008 -0.003	resum
e^+e^- [σ_{had}]	34.0	0.146 $\begin{smallmatrix} + 0.031 \\ - 0.028 \end{smallmatrix}$	0.123 $\begin{smallmatrix} + 0.021 \\ - 0.019 \end{smallmatrix}$	+0.021 -0.019	-	NLO
<u>e^+e^- [ev. shapes]</u>	35.0	0.145 $\begin{smallmatrix} + 0.012 \\ - 0.007 \end{smallmatrix}$	0.123 $\begin{smallmatrix} + 0.008 \\ - 0.006 \end{smallmatrix}$	0.002	+0.008 -0.005	resum
<u>e^+e^- [ev. shapes]</u>	44.0	0.139 $\begin{smallmatrix} + 0.010 \\ - 0.007 \end{smallmatrix}$	0.123 $\begin{smallmatrix} + 0.008 \\ - 0.006 \end{smallmatrix}$	0.003	+0.007 -0.005	resum
e^+e^- [ev. shapes]	58.0	0.132 \pm 0.008	0.123 \pm 0.007	0.003	0.007	resum
$p\bar{p} \rightarrow b\bar{b}X$	20.0	0.145 $\begin{smallmatrix} + 0.018 \\ - 0.019 \end{smallmatrix}$	0.113 \pm 0.011	+0.007 -0.006	+0.008 -0.009	NLO
$p\bar{p}, pp \rightarrow \gamma X$	24.2	0.137 $\begin{smallmatrix} + 0.017 \\ - 0.014 \end{smallmatrix}$	0.111 $\begin{smallmatrix} + 0.012 \\ - 0.008 \end{smallmatrix}$	0.006	+0.010 -0.005	NLO
$\sigma(p\bar{p}' \rightarrow jets)$	30 - 500		0.121 \pm 0.009	0.001	0.009	NLO
<u>e^+e^- [$\Gamma(Z^0 \rightarrow had.)$]</u>	91.2	0.122 \pm 0.005	0.122 \pm 0.005	0.004	0.003	NNLO
e^+e^- [ev. shapes]	91.2	0.122 \pm 0.006	0.122 \pm 0.006	0.001	0.006	resum
e^+e^- [ev. shapes]	133.0	0.111 \pm 0.008	0.117 \pm 0.008	0.004	0.007	resum
e^+e^- [ev. shapes]	161.0	0.105 \pm 0.007	0.114 \pm 0.008	0.004	0.007	resum
e^+e^- [ev. shapes]	172.0	0.102 \pm 0.007	0.111 \pm 0.008	0.004	0.007	resum
<u>e^+e^- [ev. shapes]</u>	183.0	0.109 \pm 0.005	0.121 \pm 0.006	0.002	0.006	resum
<u>e^+e^- [ev. shapes]</u>	189.0	0.109 \pm 0.006	0.122 \pm 0.007	0.003	0.006	resum


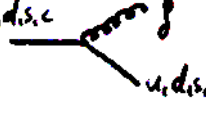
Laufende Quarkmassen

Masseneffekte für QCD (Störungsrechnungen erst kürzlich abgeschlossen)

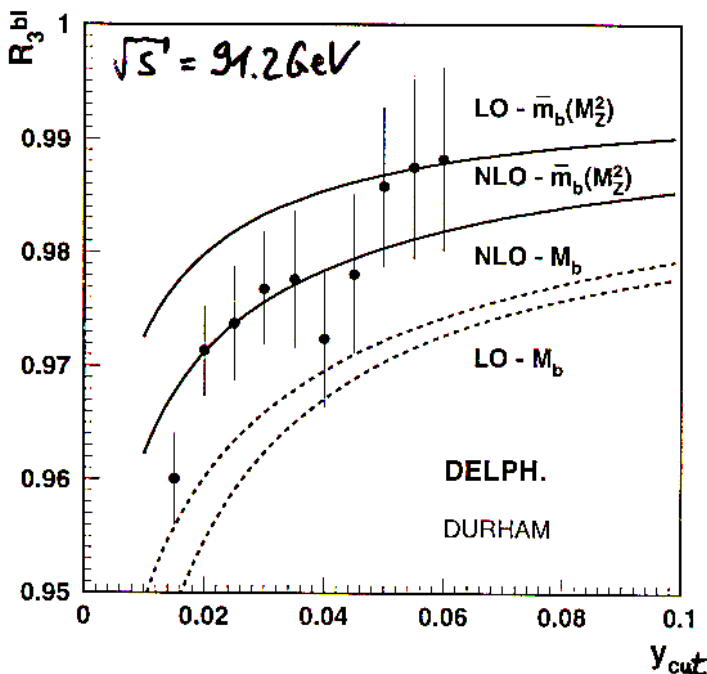
Ansatz: Vergleiche  mit 

denn Gluonabstrahlung wird durch Quarkmasse beeinflusst:

- kinematisch, da ein schweres/leichtes Quark zusätzlich zum Gluon übrig bleibt
- physikalisch durch Massenterme, die nur im Matrixelement der Gluonabstrahlung erscheinen

Meßmethode: $R_3^{bl} = \frac{\# \text{  }{\# \text{  }} = \frac{\text{3-Jetrate für b-Quarks}}{\text{3-Jetrate für u,d,s,c-Quarks}}$

$= c_0 + c_2 \cdot m_b^2$



⇒ Reduzierte Gluonabstrahlung von b-Quarks gegenüber leichten Quarks

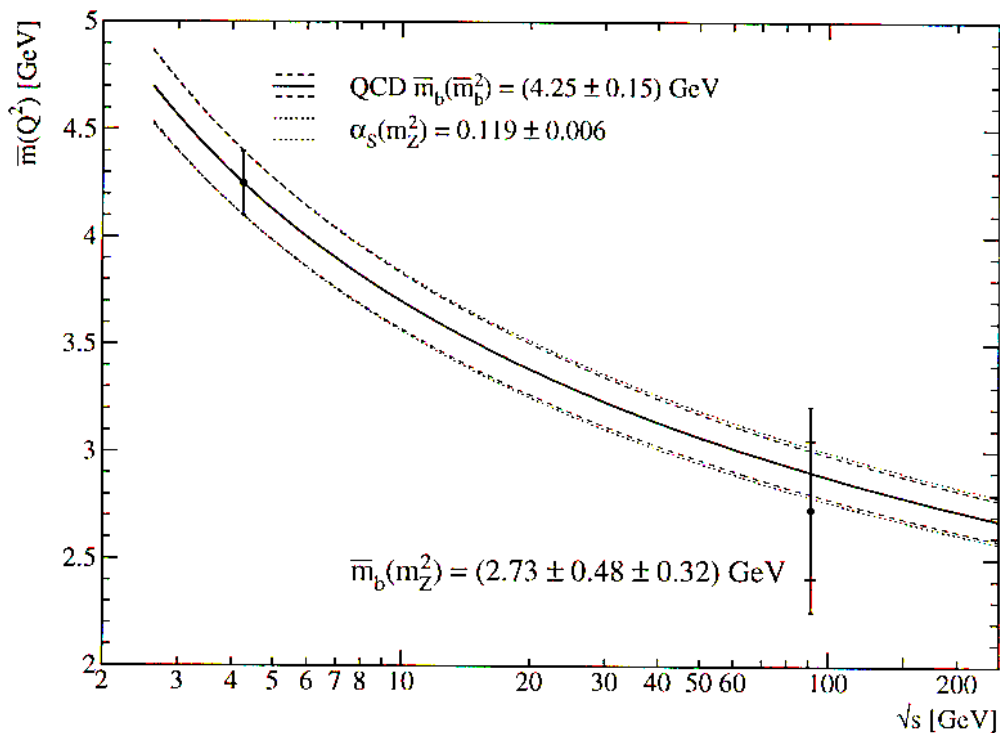
$$\underline{\underline{m_b(m_z) \leftrightarrow m_b(m_b)}}$$

Messungen von LEP & SLC ergaben (im \overline{MS} -Schema)

$$m_b(m_z) = 2.7 \pm 0.6 \text{ GeV}$$

wobei

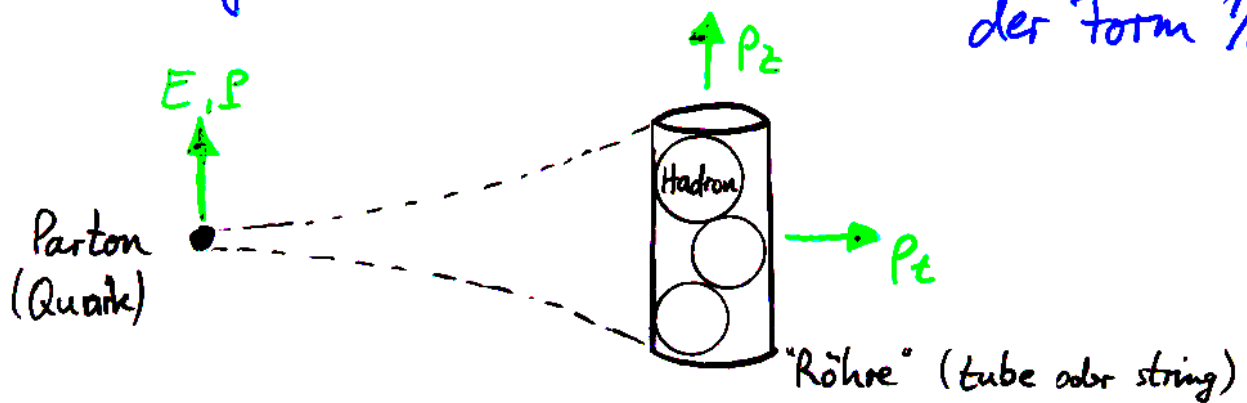
$$m_b(m_b) = 4.25 \pm 0.15 \text{ GeV}$$



\Rightarrow renormierte Quarkmassen scheinen tatsächlich von \sqrt{s} abhängig

Energiepotenzkorrekturen durch Hadronisierung

Hadronisierung \rightarrow nicht-perturbativ berechenbare Korrekturen der Form $1/\sqrt{s}$



Die Rapidität eines Hadrons in der Röhre: $y := \frac{1}{2} \ln \frac{E+P_z}{E-P_z}$

$$\Rightarrow \cosh y = \frac{E_{\text{Hadron}}}{m_{\text{Hadron}}} \quad ; \quad \sinh y = \frac{P_{\text{Hadron}}}{m_{\text{Hadron}}}$$

Hadronendichte in Röhre: $s(p_t)$

$$\Rightarrow \lambda := \int d^2 p_t s(p_t) \cdot p_t \quad \text{ist Hadronisierungsskala}$$

Energie & Impuls der gesamten Röhre mit Rapidität Y

$$E = \int_0^Y dy \, 2 \cosh y = 2 \sinh Y$$

$$P = \int_0^Y dy \, 2 \sinh y = \lambda (\cosh Y - 1) \stackrel{Y \gg 1}{\approx} E - \lambda$$

Auswirkung auf Thrust bei 2-Jet Konfiguration
(Gesamtenergie \sqrt{s} und $E = \sqrt{s}/2$ je Parton)

$$\Rightarrow T_{\text{parton}} = \frac{2E}{\sqrt{s}} = 1, \quad \text{aber} \quad T_{\text{Röhre}} = \frac{2P}{\sqrt{s}} = 1 - \frac{2\lambda}{\sqrt{s}}$$

Energiepotenzkorrektur durch
Hadronisierung

Energiepotenzkorrekturen

- Zunächst für Mittelwerte von Event-shape-Observablen vorgeschlagen (Dokshitzer et al.)

$$\langle \text{Obs} \rangle = \langle \text{Obs}_{\text{PT}} \rangle + \langle \text{Obs}_{\text{nicht-PT}} \rangle$$

wobei $\langle \text{Obs}_{\text{nicht-PT}} \rangle = c_{\text{obs}} \cdot \mathcal{P}$ und c_{obs} observablenabhängig

$$\mathcal{P} = \frac{4G_F}{\pi^2} \cdot \mathcal{M} \cdot \frac{\mu_I}{\sqrt{s}} \left[\alpha_0(\mu_I) - \alpha_s(\sqrt{s}) + \mathcal{O}(\alpha_s^2) \right]$$

mit "Milan-Faktor" $\mathcal{M} = 1.795$ (aus Zweischleifen-Korrektur)

- Später auch für differentielle Verteilungen

$$\frac{d\sigma}{d\text{Obs}}(\text{Obs}) = \frac{d\sigma^{\text{PT}}}{d\text{Obs}}(\text{Obs} - \mathcal{P} \cdot D_{\text{obs}})$$

wobei i.a. $D_{\text{obs}} \equiv c_{\text{obs}}$ bis auf Jetbroadening, wo $D_{\text{obs}} = D_{\text{obs}}(\text{Obs})$

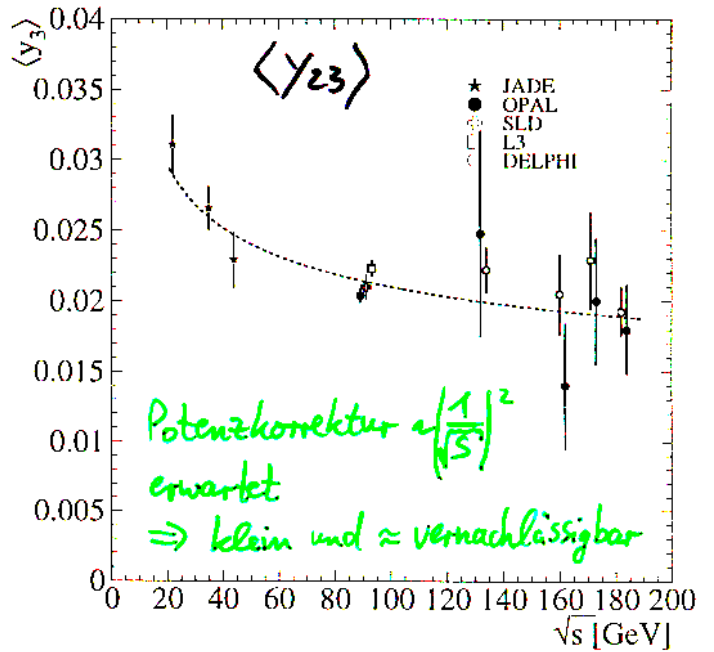
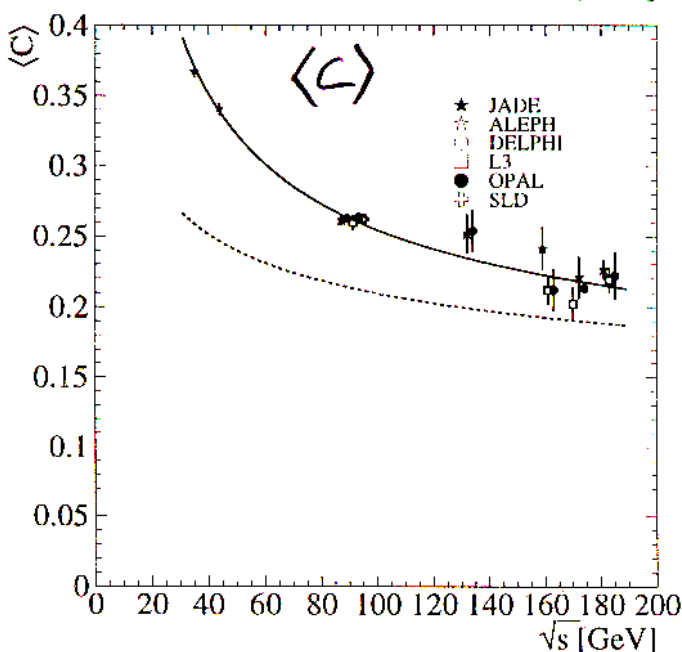
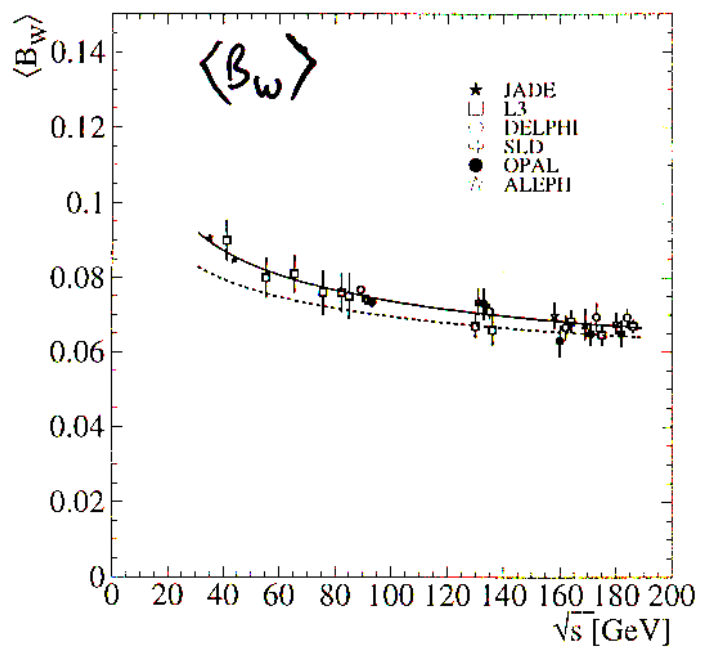
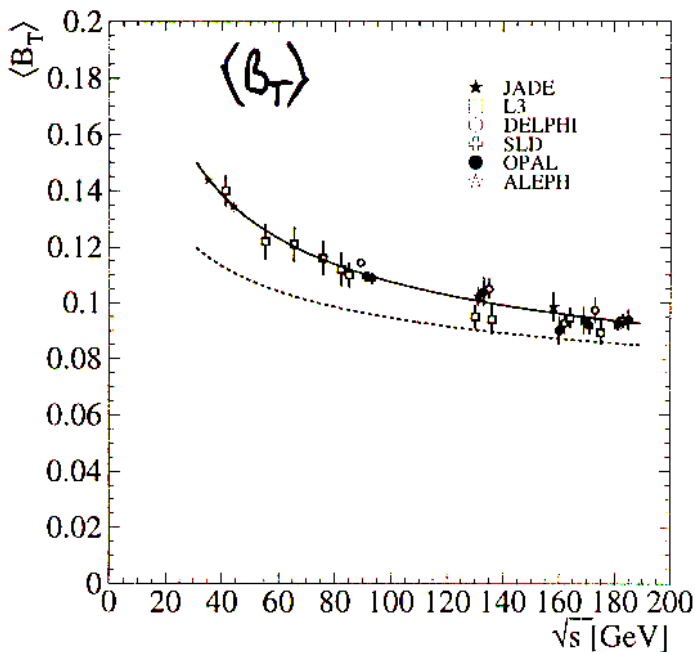
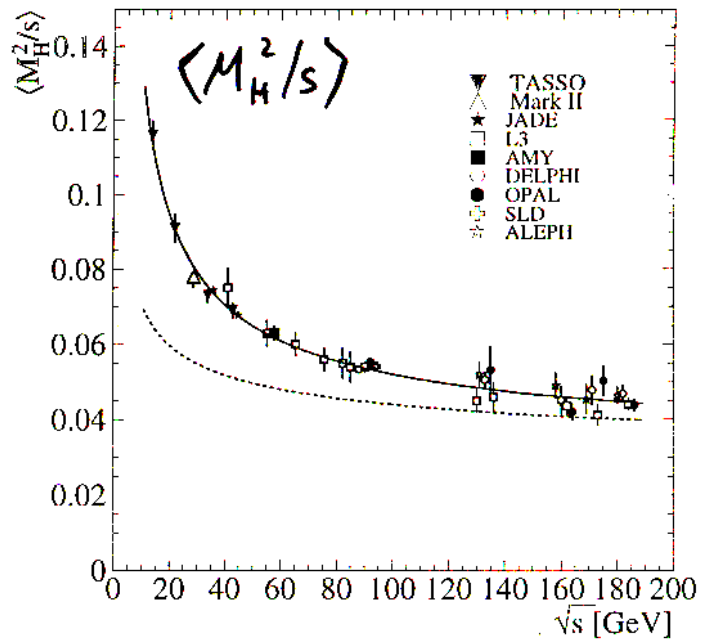
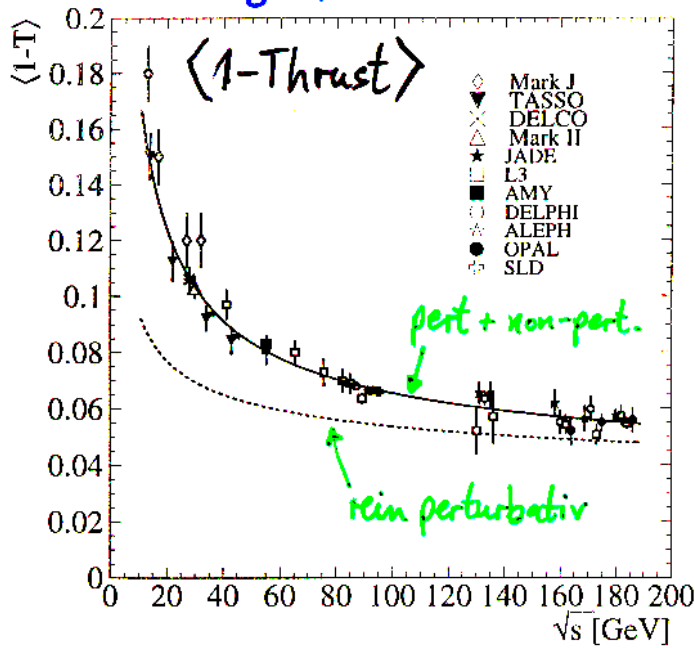
- Nicht-perturbative Korrektur durch einen einzigen Parameter kontrolliert (typisch: $\mu_I = 2\text{GeV} \hat{=} \text{pert} \leftrightarrow \text{nicht-pert. zone}$)

$$\alpha_0(\mu_I) = \frac{1}{\mu_I} \int_0^{\mu_I} dq \alpha_s(q)$$

α_0 ist "Mittelwert" von α_s im Bereich kleiner q , dort wo perturbativer Ausdruck von $\alpha_s(Q) = \frac{1}{\beta_0 \ln(\frac{Q^2}{\Lambda^2})}$ einen Landau-Pol hat

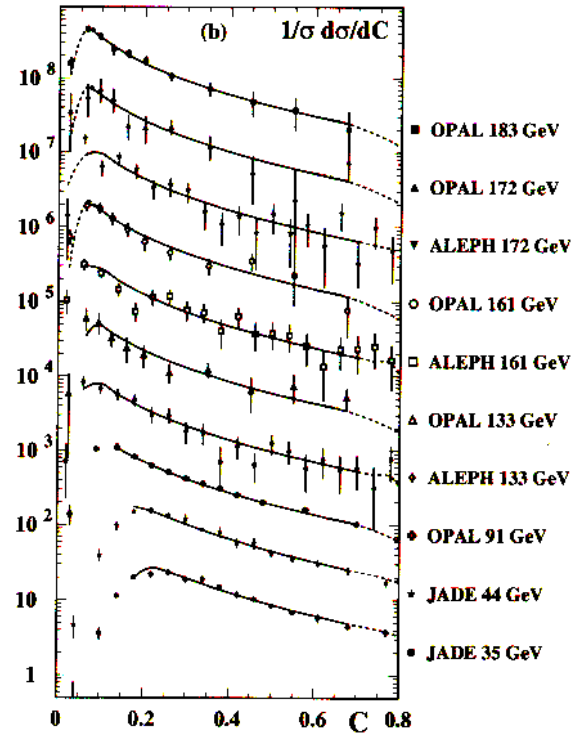
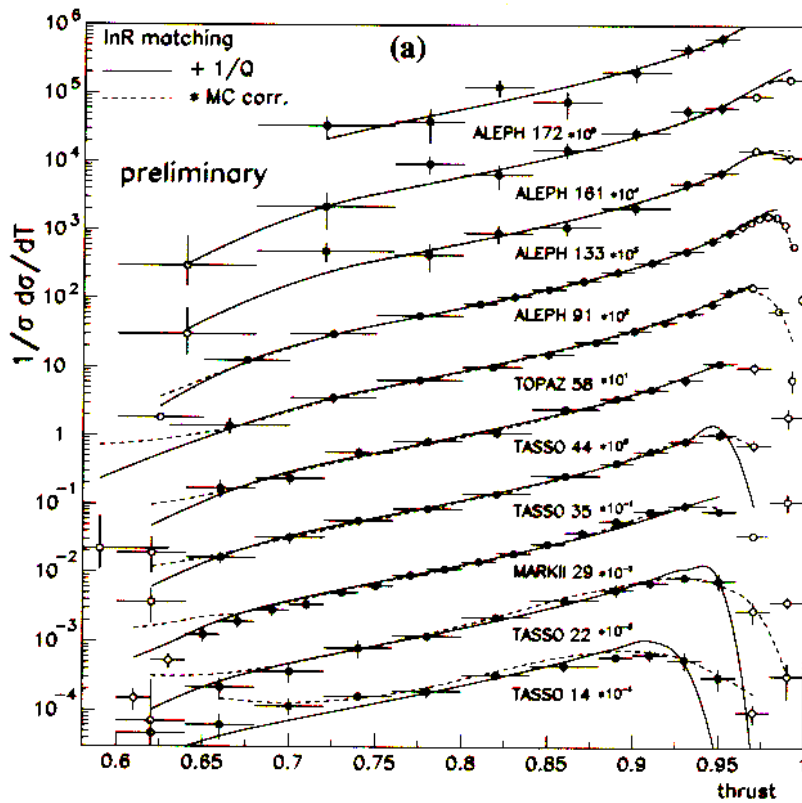
$\Rightarrow \alpha_0$ ist universell (unabhängig von Obs, auch für e^+e^- , p_p , ...)
 α_0 muß experimentell bestimmt werden

Energiepotenzkorrekturen auf Mittelwerte



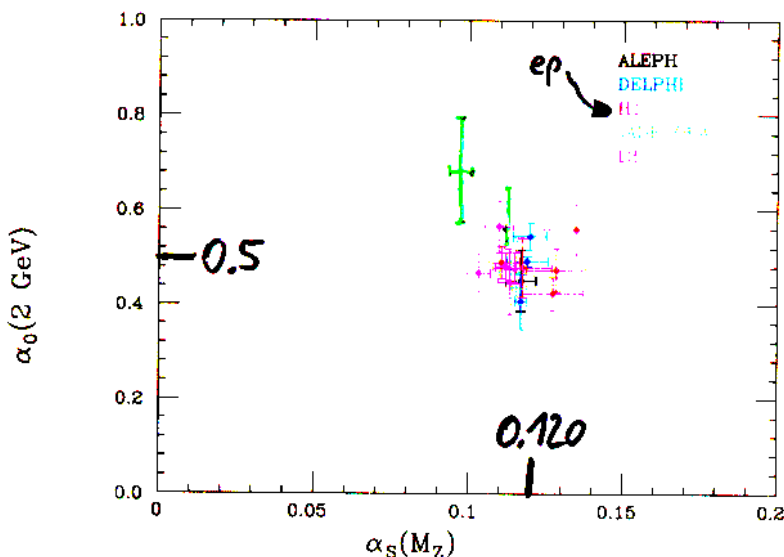
liefert $\alpha_s(m_Z) = 0.118 \pm 0.004$; $\alpha_0(2\text{GeV}) = 0.47 \pm 0.05$

Energiepotenzkorrekturen auf diff. Verteilungen



liefert $\alpha_s(m_Z) = 0.114 \pm 0.006$
 $\alpha_0(2\text{GeV}) = 0.50 \pm 0.08$

Alle Resultate zu Energiepotenzkorrekturen zusammengefasst:



$\Rightarrow \alpha_0(\mu_I) \approx 0.5$
 für $\mu_I = 2\text{GeV}$

Status QCD

- Weltmittelwert $\alpha_s(m_Z) = 0.119 \pm 0.004$
- Laufen der Kopplung* ✓
- Laufen der Masse* ... noch besser zu bestätigen
(* = renormiert)
- Limitierung der Meßgenauigkeit von α_s durch fehlende höhere Ordnungen der Störungsreihe
→ viele Gruppen arbeiten an $\mathcal{O}(\alpha_s^3)$,
v.a. an neuen Berechnungsmethoden!
- Hadronisierungseffekte durch Energiepotenzkorrekturen überraschend gut beschrieben

Nicht diskutiert: (vieleles!)

- Bestimmung der Farbfaktoren (→ Status: okay)
- Unterschiede zw. Quarks und Gluonen
- mittlere Teilchenmultiplizitäten, Teilchenhäufigkeiten
- Fragmentationsfunktionen, Skalenverletzung, longitudinale und transversale Wirkungsquerschnitte
- differentielle Teilchenmultiplizitäten, "hump-back"-Plateau und Entwicklung dessen Maximums mit \sqrt{s} (→ MLLA)
- ...

Zusammenfassung & Ausblick

- Eigenschaften des W-Bosons präzise untersucht
Masse $\Delta m_W \approx 40 \text{ MeV}$, Breite, Verzweigungsverhältnisse,
Drei-Eichboson-Kopplung,
 - Higgs-Bosonmasse stark eingegrenzt
 $102 \text{ GeV} \leq m_H \leq 215 \text{ GeV}$
 - keine Anzeichen für Prozesse \notin Standard Modell
SUSY, Kontakt-WW, Compositeness, ...
 - starke Wechselwirkung \cong QCD
laufende renorm. Kopplung und Massen,
Energiepotenzkorrektur
- ∞ LEP endet im Herbst 2000
- ∞ Schwerpunktsenergie bis 202 ... 204 GeV
- ∞ integrierte Luminosität je Exp. $+ 100 - 200 \text{ pb}^{-1}$
- ∞ weitere Verbesserung der Präzision von m_W , m_H , ...
- reichhaltiges Analyseprogramm
W-Physik, ZZ-Prozesse, Higgs, SUSY et al.,
QCD, 2-Fermion-Endzustände, n-Photon-End-
zustände, $\gamma\gamma$ -Prozesse, Photon-Strukturfunktion,
usw. usf.